

**PENDUGAAN POLA ALIRAN SUNGAI BAWAH TANAH
PADA KAWASAN KARST MAROS DENGAN METODE
GEOLISTRIK KONFIGURASI WENNER-SCHLUMBERGER**



SKRIPSI

Diajukan untuk Memenuhi Salah Satu Syarat Meraih Gelar Sarjana Sains (S1)
pada Jurusan Fisika Fakultas Sains dan Teknologi
UIN Alauddin Makassar

Oleh :

Zainudin
NIM. 60400114047

**FAKULTAS SAINS DAN TEKNOLOGI
UIN ALAUDDIN MAKASSAR
2018**

PERNYATAAN KEASLIAN SKRIPSI

Saya yang bertandatangan di bawah ini:

Nama : Zainudin

NIM : 60400114045

Judul Skripsi : **“Pendugaan Pola Aliran Sungai Bawah Tanah Pada Kawasan Karst Maros Dengan Metode geolistrik Konfigurasi Wenner-Schlumberger”**

Menyatakan dengan sebenarnya bahwa penulisan skripsi ini berdasarkan hasil penelitian, pemikiran dan pemaparan asli dari saya sendiri. Jika terdapat karya orang lain, saya akan mencantumkan sumber secara jelas.

Demikian pernyataan ini saya buat dengan sesungguhnya dan apabila dikemudian hari terdapat penyimpangan dan ketidakbenaran dalam pernyataan ini, maka saya bersedia menerima sanksi akademik berupa pencabutan gelar yang telah diperoleh karena karya tulis ini dan sanksi lain sesuai dengan peraturan yang berlaku di Universitas Islam Negeri (UIN) Alauddin Makassar .

Demikian pernyataan ini saya buat dalam keadaan sadar dan tanpa paksaan dari pihak manapun.

Makassar, 15 Oktober 2018

Yang membuat pernyataan,

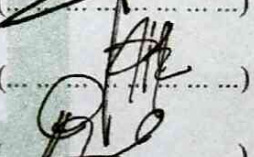
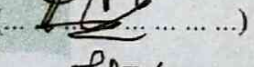
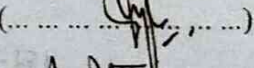
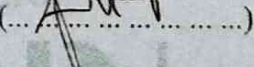
Zainudin
NIM.60400114047

PENGESAHAN SKRIPSI

Skripsi yang berjudul "**Pendugaan Pola Aliran Sungai Bawah Tanah pada Kawasan Karst Maros dengan Metode Geolistrik Konfigurasi Wenner-Schlumberger**", yang di susun oleh saudara **Zainudin**, Nim: 60400114047, Mahasiswa jurusan Fisika pada Fakultas Sains dan Teknologi UIN Alauddin Makassar, telah diuji dan dipertahankan dalam sidang *munaqasyah* yang diselenggarakan pada hari **jumat**, tanggal **16 November 2018**, bertepatan dengan **8 Rabiul Awal 1440 H**, dinyatakan telah dapat diterima sebagai salah satu syarat untuk memperoleh gelar Sarjana dalam Ilmu Sains dan Teknologi Jurusan Fisika.

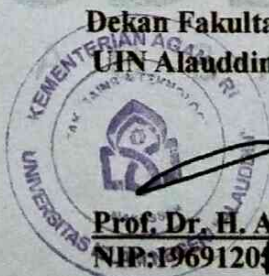
Gowa, 16 November 2018 M
8 Rabiul Awal 1440 H

DEWAN PENGUJI

Ketua	: Prof. Dr. H. Arifuddin, M.Ag	(
Sekertaris	: Ihsan, S.Pd., M.Si	(
Munaqisy I	: Ria Rezki Hamzah, S.Pd., M.Pd.	(
Munaqisy II	: Dr. Sohrah, M.Ag.	(
Pembimbing I	: Sahara, S.Si., M.Sc., Ph.D.	(
Pembimbing II	: Rahmaniah, S.Si., M.Si.	(

Diketahui oleh:

**Dekan Fakultas Sains dan Teknologi
UIN Alauddin Makassar**



Prof. Dr. H. Arifuddin, M.Ag
NIP: 19691205 199303 1 001

KATA PENGANTAR

Bismillahirrahmanirrahiim

Alhamdulillah, puji syukur atas kehadiran Allah swt karena berkat rahmat dan karunia-Nya sehingga penulis dapat menyelesaikan laporan tugas akhir yang berjudul “**Pendugaan Pola Aliran Sungai Bawah Tanah Pada Kawasan Karst Maros Dengan Metode Geolistrik Konfigurasi Wenner-Schlumberger**” Tak lupa shalawat dan salam tercurahkan pada Baginda Nabi Muhammad saw beserta keluarga dan para sahabat, yang menuntun kita dalam kebaikan, semoga senantiasa mengikuti ajarannya. Aamiin

Penulisan laporan tugas akhir ini bertujuan sebagai syarat untuk memperoleh gelar Sarjana Sains bidang studi Fisika di Jurusan Fisika Fakultas Sains dan Teknologi Universitas Islam Negeri Alauddin Makassar. Penelitian tugas akhir ini difokuskan pada bidang ilmu geofisika yang penelitiannya dilaksanakan di Dusun Samanggi Desa Samangki Kecamatan Simbang Kabupaten Maros dan pengolahan data dilakukan di Laboratorium Fisika Dasar Jurusan Fisika Fakultas Sains dan Teknologi UIN Alauddin Makassar.

Penulis mengucapkan terima kasih kepada pihak-pihak yang telah banyak membantu penulis yaitu kedua orangtua penulis **Ibunda Indorappe** dan **Ayahanda Antong Dg. Mangepe** serta semua keluarga penulis atas segala do'a dan dukungan yang tiada henti diberikan kepada penulis, serta kepada dosen pembimbing I **Ibu Sahara, S.Si., M.Sc., Ph.D** sekaligus ketua jurusan Fisika Fakultas Sains dan Teknologi yang telah memberikan baik masukan atau pun saran yang membangun dalam menyelesaikan tugas akhir dan pembimbing II **Ibu**

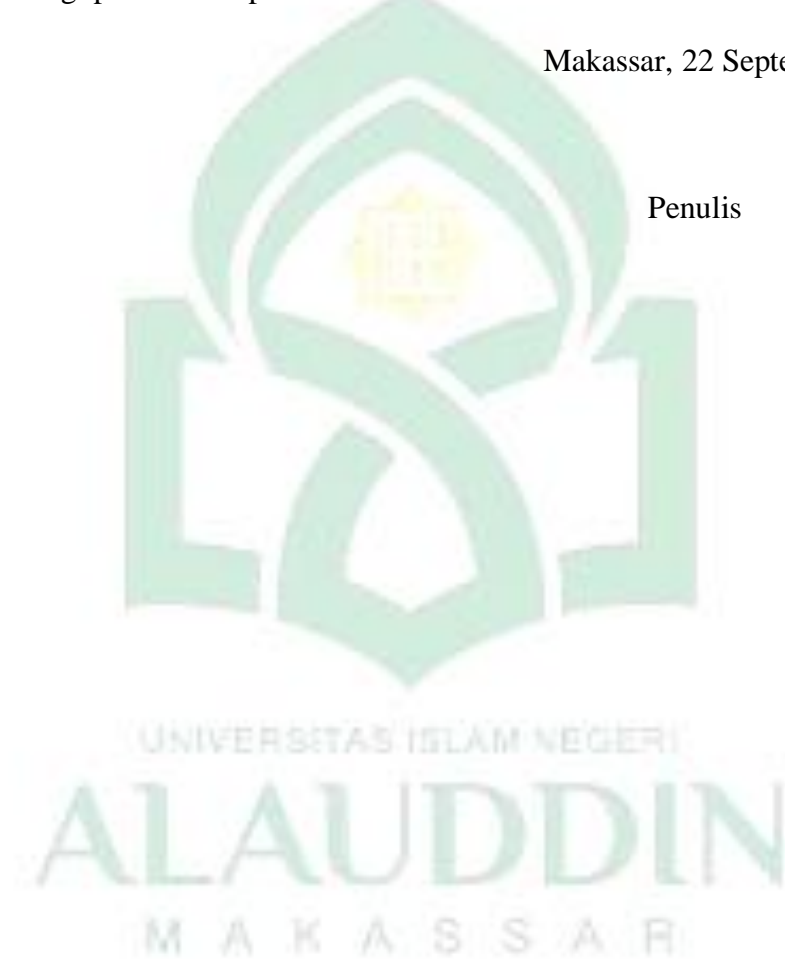
Rahmaniah, S.Si., M.Si, selaku pembimbing II yang telah memberikan saran dan masukan kepada penulis dalam proses penyusunan skripsi.. Selain itu penulis juga mengucapkan terima kasih kepada pihak-pihak yang telah banyak memberikan bantuan, bimbingan, dukungan, saran dan kritikannya, diantaranya :

1. **Bapak Prof. Dr. Musafir, M.Si**, selaku Rektor Universitas Islam Negeri Alauddin Makassar.
2. **Bapak Prof. Dr. Arifuddin, M.Ag**, selaku Dekan Fakultas Sains dan Teknologi.
3. **Bapak Ihsan, S.Pd., M.Si**, selaku sekretaris jurusan Fisika Fakultas Sains dan Teknologi.
4. **Ibu Ria Reski Hamzah, S.Pd., M.Pd**, selaku penguji I yang telah memberikan saran dan masukan kepada penulis dalam proses penyusunan skripsi.
5. **Ibu Dr. Sohrah, M.Ag**, selaku penguji II yang telah memberikan saran dan masukan kepada penulis dalam proses penyusunan skripsi.
6. Seluruh dosen-dosen serta staf laboran Jurusan Fisika UIN Alauddin Makassar yang telah memberikan masukan yang membangun kepada penulis.
7. Kakanda **Dayat** selaku asisten yang telah membantu dalam pengambilan data dan pengolahan data.
8. Teman-teman, **Ismail Yudi R, Muh. Binsar Hasyim, Muh. Asrianto T, Muh, Ikram B, Riska Oktaviani dan Sri Titi Wardani** yang telah membantu dalam pengambilan data di lokasi penelitian.
9. Seluruh rekan seperjuangan **Fisika Angkatan 2014 Iners14** terima kasih atas segala dukungannya selama ini.

Penulis menyadari bahwa dalam penyusunan laporan tugas akhir ini masih banyak terdapat kekurangan disebabkan oleh keterbatasan pengetahuan yang dimiliki penulis. Oleh karena itu, penulis mengharapkan tanggapan baik saran ataupun kritik yang sifatnya membantu dan membangun dalam penyempurnaan laporan tugas akhir ini, penulis berharap semoga laporan tugas akhir ini dapat bermanfaat bagi penulis dan pembaca. Terima kasih.

Makassar, 22 September 2018

Penulis



DAFTAR ISI

HALAMAN JUDUL	i
PERNYATAAN KEASLIAN SKRIPSI.....	ii
PENGESAHAN SKRIPSI.....	iii
KATA PENGANTAR.....	iv
DAFTAR ISI	vii
DAFTAR TABEL	viii
DAFTAR SIMBOL.....	ix
DAFTAR GAMBAR.....	x
DAFTAR GRAFIK	xi
DAFTAR LAMPIRAN	xii
ABSTRAK.....	xiii
ABSTRACT	xiv
BAB I PENDAHULUAN	1
1.1 Latar belakang	1
1.2 Rumusan Masalah	3
1.3 Tujuan Penelitian	3
1.4 Ruang Lingkup.....	3
1.5 Manfaat Penelitian.....	4
BAB II TINJAUAN TEORETIS	5
2.1 Regional Geologi	5
2.2 Karakteristik Batuan <i>Karst</i>	10
2.3 Hidrologi <i>Karst</i>	12
2.4 Pola Aliran Sungai	17

2.5 Metode Geolistrik.....	21
2.6 Tinjauan Integrasi Keilmuan dengan Al-Qur'an.....	26
BAB III METODE PENELITIAN.....	30
3.1 Waktu dan Tempat Pelaksanaan	30
3.2 Alat dan Bahan.....	30
3.3 Prosedur Kerja.....	31
3.4 Tabel pengamatan Penelitian	33
3.5 Diagram Alir	34
BAB IV HASIL DAN PEMBAHASAN.....	35
4.1 Hasil Penelitian	35
4.2 Pembahasan	46
BAB V PENUTUP	54
5.1 Kesimpulan	54
5.2 Saran	54
DAFTAR PUSTAKA.....	55
LAMPIRAN – LAMPIRAN	L1
RIWAYAT HIDUP	

DAFTAR TABEL

No Keterangan	Halaman
2.1 Nilai resistivitas berbagai jenis batuan.....	8
2.2 Resistivitas dari beberapa batuan yang umum, mineral dan bahan kimia.....	9
2.3 Pola Pengaliran dan Karakteristiknya	19
2.4 Pola Pengaliran Modifikasi	20
3.1 Tabel Pengamatan Penelitian.....	33
4.1 Nilai Resistivitas Lintasan 1	37
4.2 Nilai Resistivitas Lintasan 2	39
4.3 Nilai Resistivitas Lintasan 3	40
4.4 Nilai Resistivitas Lintasan 4	42
4.5 Nilai Resistivitas Lintasan 5	43
4.6 Dugaan keberadaan dan pola aliran sungai bawah tanah berdasarkan karakteristik dari nilai resistivitas dan struktur batuan tiap lintasan	45

DAFTAR GAMBAR

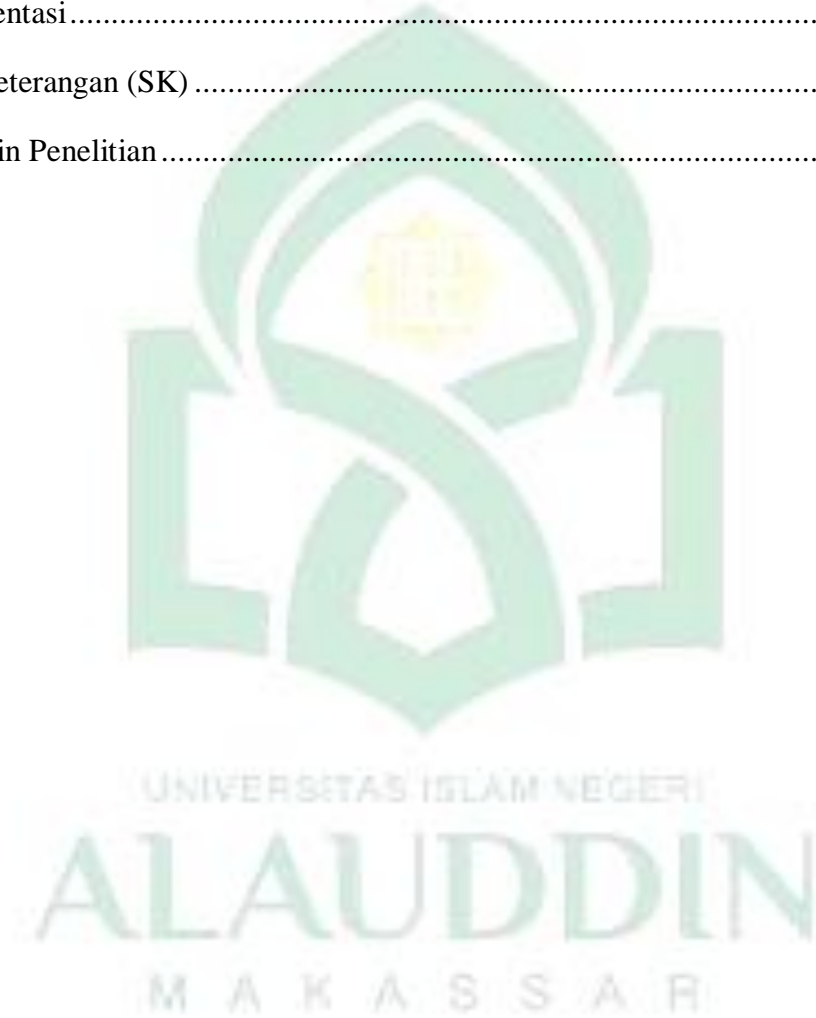
No Keterangan Gambar	Halaman
2.1 Peta geologi daerah penelitian berdasarkan lembar Ujungpandang, Bantaeng Dan Sinjai.....	7
2.2 Drainase bawah permukaan di daerah <i>karst</i>	12
2.3 Siklus air tanah.....	15
2.4 Aliran Sungai Bawah Tanah.....	15
2.5 Sistem <i>conduit</i> , <i>diffuse</i> dan campuran pada formasi <i>karst</i>	17
2.6 Susunan elektroda konfigurasi <i>Schlumberger</i>	23
2.7 Susunan elektroda konfigurasi <i>Wenner</i>	24
2.8 Konfigurasi <i>Wenner – Schlumberger</i>	25
3.1 Peta Lintasan pengukuran geolistrik	30
4.1 Penampang Hasil Inversi Tanpa Topografi Lintasan I	36
4.2 Penampang Hasil Inversi Dengan Topografi Lintasan I	37
4.3 Penampang Hasil Inversi Tanpa Topografi Lintasan II	38
4.4 Penampang Hasil Inversi Dengan Topografi Lintasan II.....	38
4.5 Penampang Hasil Inversi Tanpa Topografi Lintasan III	39
4.6 Penampang Hasil Inversi Dengan Topografi Lintasan III.....	40
4.7 Penampang Hasil Inversi Tanpa Topografi Lintasan IV	41
4.8 Penampang Hasil Inversi Dengan Topografi Lintasan IV.....	42
4.9 Penampang Hasil Inversi Tanpa Topografi Lintasan V	43
4.10 Penampang Hasil Inversi Dengan Topografi Lintasan V	43
4.11 Dugaan pola aliran sungai bawah tanah.....	44

DAFTAR SIMBOL

Simbol	Keterangan	Satuan
V	Tegangan.....	Volt
I	Kuat Arus Listrik	Ampere
R	Resistansi	Ω
ρ	Tahanan Jenis	Ωm
ρ_a	Resistivitas semu	Ωm
K	Faktor Geometri	m
a	Jarak Spasi Elektroda	m
K_w	Faktor geometri konfigurasi Wenner	m
n	Datum Level	

DAFTAR LAMPIRAN

No Lampiran	Halaman
1 Jadwal kegiatan.....	L1
2 Data Hasil Penelitian.....	L3
3 Peta.....	L49
4 Dokumentasi.....	L53
5 Surat Keterangan (SK)	L57
6 Surat Izin Penelitian	L62



ABSTRAK

Nama : Zainudin

Nim : 60400114047

Judul : Pendugaan Pola Aliran Sungai Bawah Tanah Pada Kawasan

Karst Maros Dengan Metode Geolistrik Konfigurasi

Wenner-Schlumberger

Telah dilakukan penelitian mengenai pendugaan pola aliran sungai pada kawasan *karst* Maros dengan Metode geolistrik konfigurasi Wenner-Schlumberger di Dusun Samanggi Desa Samangki Kecamatan Simbang Kabupaten Maros yang bertujuan untuk mengetahui pola aliran sungai bawah tanah pada kawasan *karst* Maros dengan metode geolistrik konfigurasi Wenner-Schlumberger. Pengukuran dilakukan dengan menggunakan alat tahanan jenis tipe *Geomativ 10 Advance* dengan jumlah lintasan yaitu 5 lintasan dengan masing-masing lintasan memiliki panjang 150 meter. Tiap elektroda menggunakan spasi 5 meter dengan jumlah elektroda yaitu 30 elektroda.

Struktur batuan yang didapatkan dari hasil pengolahan data pada *software Res2Dinv ver. 3.54* yaitu Alluvium jenuh air dan batu gamping. Pola aliran sungai bawah tanah yang terbentuk dari hasil penggabungan penampang 2D menjadi bentuk lintasan Pengukuran 3D yaitu membentuk pola percabangan atau *dendritik*. Dimana aliran air bawah tanah mengalir pada celah batuan terlihat pada lintasan 1,2,3,4 dan pada lintasan 5 air diduga mengalir pada sebuah lorong yang berada dibawah permukaan tanah. Aliran air atau sungai bawah tanah pada daerah teliti mengalir dari arah timur menuju barat dan utara yang diduga berasal dari salah satu gua yang berada diatas ketinggian daerah teliti yang keluar sebagai mata air.

Kata kunci : sungai bawah tanah, *karst*, geolistrik, konfigurasi wenner-schlumberger.

ABSTRACT

Name : Zainudin

Nim : 60400114047

Title : Estimation Of River Flow Underground Water Pattern In The Karst Maros Region The Geoelectric Method Configuring Wenner-Schlumberger

Research has been conducted on estimating river flow patterns in the Maros *karst* region with geoelectric methods Wenner-Schlumberger configuration in Samanggi Hamlet, Samangki Village, Simbang Subdistrict, Maros Regency which aims to determine the underground river flow pattern in the Maros *karst* area by geoelectric methods Wenner-Schlumberger configuration. Measurements are made using *Geomativ 10 Advance type* detainees with a number of trajectories, namely 5 tracks with each track having a length of 150 meters. Each electrode uses a 5 meter spacing with an electrode number of 30 electrodes.

The rock structure obtained from the results of data processing in the *Res2Dinv software ver. 3.54* that is Alluvium saturated with water and limestone. Subterranean river flow patterns that are formed from the results of combining 2D cross sections into 3D measurement trajectory form forming a branching or *dendritic* pattern. Where the flow of underground water flows in the rock gap seen in the trajectory 1,2,3,4 and on the track 5 water is thought to flow in an alley that is below the ground surface. Subterranean streams or rivers in the meticulous area flow from east to west and north which are thought to come from one of the caves that are above the altitude of the meticulous area that comes out as a spring.

Keywords: underground river, karst, geoelectric, wenner-schlumberger configuration.

BAB I

PENDAHULUAN

1.1 Latar Belakang

Air tanah merupakan salah satu sumber akan kebutuhan air bagi kehidupan makhluk di muka bumi. Air tanah berada di bawah permukaan tanah di dalam zona jenuh, yang mana kandungan air tanah dipengaruhi oleh beberapa faktor seperti iklim dan kondisi geologi. Kebutuhan air sangat diperlukan guna mempertahankan keberlangsungan hidup. Akan tetapi, terkadang orang lupa bahwa daya dukung alam ada batasnya sehingga untuk mempertahankan kelangsungan hidup perlu mengkonsumsi atau mempergunakan air secukupnya sebab daerah yang memiliki struktur geologi di kawasan *karst* sering mengalami kekeringan dan kesulitan air dikarenakan ketersediaan air pada musim kemarau semakin berkurang. Struktur geologi kawasan *karst* memiliki sistem sungai bawah tanah. Artinya sistem sungai bawah tanah memiliki arah aliran tertentu dan melewati beragam struktur batuan khas *karst* yang dapat dimanfaatkan.

Pemanfaatan sumber daya air tanah cenderung terus meningkat dari waktu ke waktu, seiring dengan pertambahan jumlah penduduk dan pembangunan disegala bidang. Pada kawasan *karst*, sungai bawah tanah dapat dimanfaatkan sebagai penampungan air dan pembangkit listrik tenaga mikrohidro dikarenakan pada musim hujan kandungan air pada akuifer semakin meningkat dan menurun pada musim kemarau.

Menurut (Haryono, 2001), Kemampuan kawasan *karst* pada umumnya dapat menyimpan tiga hingga empat bulan setelah berakhirnya musim penghujan

sehingga sebagian besar sungai bawah tanah dan mata air mengalir sepanjang tahun dengan kualitas air yang baik.

Kabupaten Maros secara geografis terletak antara $119^{\circ}30'00'' - 120^{\circ}0'0''$ Bujur Timur dan $4^{\circ}50'0'' - 5^{\circ}10'0''$ Lintang Selatan. Daerah ini memiliki potensi *karst* yang begitu luas. Potensi *karst* yang ada di daerah ini memiliki keunikan tersendiri. Sebab kawasan *karst* pada daerah ini memiliki morfologi atau bentuk fisik yang berbeda dengan kawasan *karst* pada daerah lain. Morfologi dari *karst* Maros dicirikan sebagai bentuk menara sehingga salah satu potensi yang berkembang di kawasan *karst* Maros adalah sungai bawah tanah yang mengalir melalui lapisan yang kompak.

Salah satu survey pendahuluan untuk mengetahui aliran sungai bawah tanah yaitu dengan melakukan survey geofisika. Geofisika merupakan suatu bidang ilmu yang mengimplementasikan prinsip-prinsip fisik dalam mempelajari bumi untuk memperoleh permodelan keadaan bumi. Dalam eksplorasi geofisika menggunakan beberapa metode yang salah satunya adalah metode geolistrik yang digunakan untuk mengetahui perubahan tahanan jenis lapisan batuan di bawah permukaan tanah dengan cara mengalirkan arus listrik DC (*Direct Current*) yang mempunyai tegangan tinggi ke dalam tanah.

Beberapa penelitian sebelumnya tentang identifikasi pola aliran sungai bawah tanah di Mudal, Pracimantoro dengan metode geolistrik oleh Dimas Noer Karunia dkk menduga bahwa potensi akuifer berdasarkan nilai rentang resistivitas dari hasil pengolahan data berada pada rentang $50-299 \Omega\text{m}$ diduga batuan karbonat dalam keadaan basah dan berisi air sehingga dapat mensuplai sungai bawah tanah Luweng Sapan.

Metode geolistrik merupakan salah satu metode geofisika yang digunakan dalam eksplorasi dangkal pada permukaan tanah seperti penentuan kedalaman batuan dasar dan pencarian reservoir air tanah. Metode ini juga sering digunakan untuk mengevaluasi kondisi hidrologi akuifer *karst*. Menurut (Ford and Williams, 1992), Metode resistivity telah terbukti untuk dapat mendeskripsikan variasi vertikal dari akuifer *karst* karena metode ini dapat membedakan adanya batuan karbonat yang kompak, yang jenuh air, maupun yang tidak. Dengan menggunakan konfigurasi Wenner-Schlumberger, Metode ini dapat menunjukkan kontras nilai resistivitas batuan untuk mengidentifikasi akuifer bawah tanah berdasarkan tipe dan lapisan batuan dibawah permukaan tanah.

Dari uraian diatas, Penulis melakukan penelitian dengan judul **Pendugaan Pola Aliran Sungai Bawah Tanah Pada Kawasan Karst Maros Dengan Metode Geolistrik Konfigurasi Wenner-Schlumberger** untuk mengetahui pola aliran sungai bawah tanah dengan harapan dapat dimanfaatkan oleh masyarakat sekitar sebagai kebutuhan air untuk berbagai keperluan.

1.2 Rumusan Masalah

Rumusan masalah yang dikaji pada penelitian ini adalah bagaimana pola aliran sungai bawah tanah pada kawasan *karst* Maros dengan metode geolistrik konfigurasi Wenner-Schlumberger?

1.3 Tujuan Penelitian

Tujuan dilakukannya penelitian ini adalah untuk mengetahui pola aliran sungai bawah tanah pada kawasan *karst* Maros dengan metode geolistrik konfigurasi Wenner-Schlumberger.

1.4 Ruang Lingkup Penelitian

Guna menghasilkan kapasitas Penelitian yang baik, maka lingkup pembahasan yang diteliti adalah :

1. Penelitian ini menitik beratkan pada pola aliran sungai bawah tanah pada kawasan *karst* Maros.
2. Pola aliran sungai bawah tanah yang dimaksud adalah bentuk dan arah aliran air yang mengalir di dalam suatu rongga atau celah batuan..
3. Penelitian ini menggunakan metode geolistrik konfigurasi Wenner-Schlumberger.
4. Penelitian ini menggunakan 5 lintasan dengan berjarak 150 meter tiap lintasan.
5. *Software* pengolahan data yang digunakan adalah Ms.excel, Notepad, Res2dinv dan *Design grafis* untuk dapat menggambarkan penampang Lintasan pengukuran 2D dan lintasan pengukuran 3D.
6. Hasil pengukuran dan pengolahan data diinterpretasi dengan membandingkan antara nilai resistivitas yang diperoleh di lapangan dan nilai resistivitas batuan menurut M.H Loke (2004) dan Telford (1990).

1.5 Manfaat Penelitian

Manfaat dari penelitian yang dilakukan ini adalah sebagai berikut:

1. Menambah wawasan tentang keberadaan sungai bawah tanah pada kawasan *karst* menggunakan metode geolistrik konfigurasi Wenner-Schlumberger.
2. Memberikan informasi dan kontribusi yang signifikan kepada masyarakat tentang perkiraan pola aliran sungai bawah tanah pada daerah yang diteliti.
3. Memberikan pemahaman kepada peneliti lain sebagai bahan masukan tentang air tanah dalam pada daerah *karst*.

BAB II

TINJAUAN TEORITIS

2.1 Regional Geologi

Ilmu Geologi adalah ilmu dasar dari bumi yang mempelajari planet bumi, struktur dalam, material penyusun, proses-proses yang terjadi di permukaan dan di dalam bumi, baik secara kimia, fisik atau proses fisika dan biologi.

Menurut (Djauhari,2009:1), Geologi merupakan suatu bidang ilmu pengetahuan kebumian yang mempelajari segala sesuatu mengenai planet Bumi beserta isinya yang pernah ada. Geologi merupakan ilmu yang mempelajari tentang struktur, proses-proses yang bekerja baik di dalam bumi maupun di atas permukaan bumi.

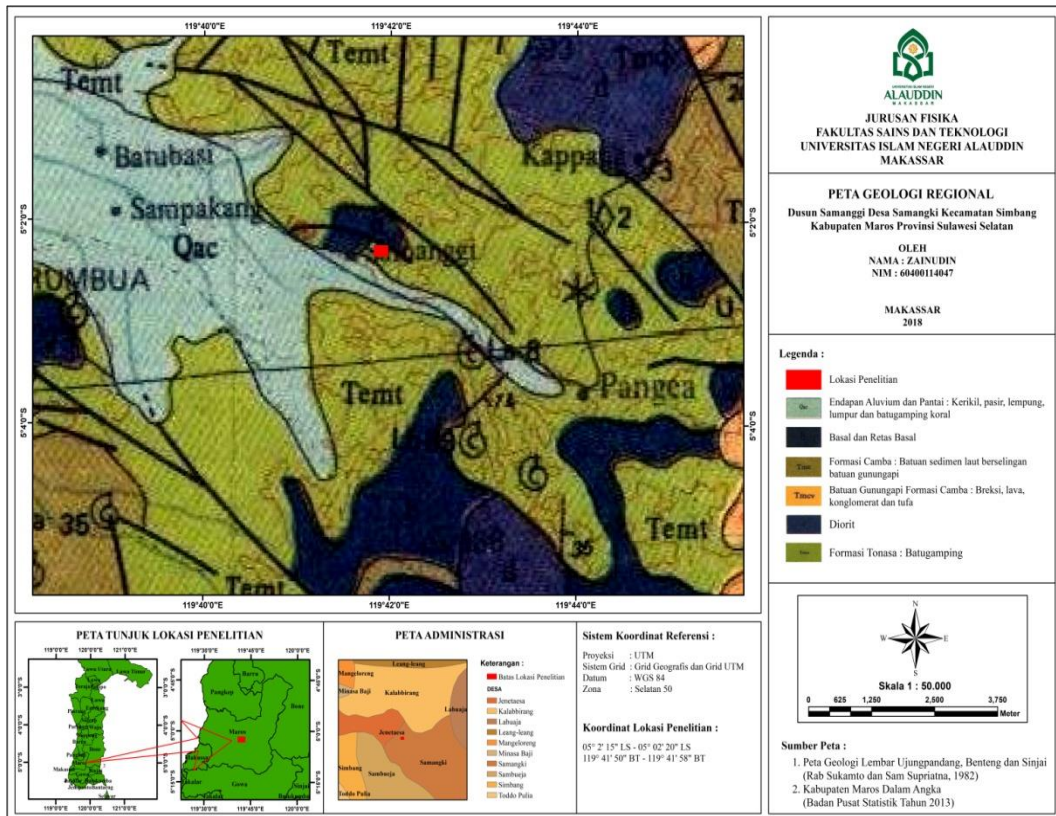
Geologi memiliki cakupan yang begitu luas sehingga secara lazim geologi dibagi menjadi 2 (dua) yaitu geologi fisik dan geologi dinamis. Geologi fisik atau *Physical Geology* adalah suatu studi yang menghususkan mempelajari sifat-sifat fisis bumi seperti susunan dan komposisi dari pada bahan-bahan yang membentuk bumi, selaput udara yang mengintari bumi, khususnya bagian yang melekat dan berinteraksi dengan bumi, kemudian selaput air atau hidrosfir, serta proses-proses yang bekerja di atas permukaan bumi yang dipicu oleh energi matahari dan tarikan gaya berat bumi. Proses-proses yang dimaksud dapat dijabarkan sebagai pelapukan, pengikisan, pemindahan dan pengendapan (Djauhari, 2009 :1)

Di sisi lain, geologi dinamis adalah bagian dari ilmu bumi yang mempelajari dan membahas tentang sifat-sifat dinamika bumi. Sisi ini berhubungan dengan perubahan-perubahan pada bagian bumi yang diakibatkan oleh gaya-gaya yang dipicu oleh energi yang bersumber dari dalam bumi seperti kegiatan magma yang menghasilkan vulkanisme, gerak-gerak litosfi akibat adanya arus konveksi, gempa bumi, dan gerak-gerak pembentukan cekungan pengendapan dan pegunungan (Djauhari, 2009:1).

Secara regional, daerah penelitian termasuk dalam Peta Geologi Lembar Ujungpandang, Bantaeng dan Sinjai, skala 1:250.000 yang diterbitkan oleh Pusat Penelitian dan Pengembangan Geologi Bandung (Sukamto, 1982). Di daerah pada Peta lembar Ujungpandang, Bantaeng dan Sinjai (Sukamto, 1982) terdapat dua baris pegunungan yang memanjang hampir sejajar pada arah utara barat laut dan terpisahkan oleh lembah Sungai Walanae. Pegunungan yang barat menempati hampir setengah luas daerah, melebar di bagian selatan (50 km) dan menyempit di bagian utara (22 km) (Lampiran 3)

Di lereng barat dan di beberapa tempat di lereng timur terdapat topografi *karst*, pencerminan adanya batu camping. Diantara topografi *karst* di lereng barat terdapat daerah perbukitan yang dibentuk oleh batuan Pra-Tersier. Pegunungan di barat daya dibatasi oleh dataran Pangkajene-Maros yang luas sebagai lanjutan dari daratan di selatannya. Puncak tertingginya 1694 m, sedangkan ketinggian rata-ratanya 1500 m. Pembentuknya sebagian besar batuan gunungapi (Sukamto, 1982). Daerah yang menjadi lokasi penelitian ini jika melihat dari peta regional Ujungpandang, Bantaeng dan Sinjai, daerah ini didominasi oleh batuan beku dan

batuan karbonat (gamping). Pada daerah yang menjadi titik pengukuran memiliki luasan 600 m² seperti pada gambar peta 2.1 berikut ini:



Gambar 2.1 Peta geologi daerah penelitian berdasarkan lembar Ujung pandang, Bantaeng dan Sinjai (Sumber: Dokumen Pribadi).

Proses geologi adalah semua aktivitas yang terjadi di bumi akibat gaya yang bekerja baik dari dalam bumi (endogen) maupun yang berasal dari luar bumi (eksogen). Gaya endogen adalah gaya yang berasal dari dalam bumi seperti tektonik, magmatisme dan aktivitas volkanisme, sedangkan gaya eksogen adalah gaya yang bekerja di permukaan bumi yang dapat mengakibatkan pelapukan, erosi dan *mass-wasting* serta sedimentasi. Gaya endogen maupun eksogen merupakan gaya-gaya yang berpengaruh terhadap perubahan bentuk bentang alam (*landscape*) yang ada dipermukaan bumi (Djauhari, 2009: 99).

Berikut Nilai Resistivitas Dari Berbagai Tipe Batuan seperti pada tabel berikut ini:

Tabel 2.1 Nilai resistivitas berbagai jenis batuan

Jenis Batuan/Tanah/Air	Tingkat Resistivitas (Ωm)
Clay	1 – 100
Silt/lanau	10 – 200
Marls/batulumpur	2 – 70
Kuarsa	$10^{-2} \times 10^8$
Sandstone/batupasir	50 – 500
Limestone/batukapur	100-500
Lava	$100^{-5} \times 10^4$
Alluvium	10 – 800
Air tanah	0,5 – 300
Air laut	0,2
Breksi	75 – 200
Andesit	100 – 200
Tufa vulkanik	20 – 100
Konglomerat	$2 \times 10^3 – 10^4$

(Telford, W.M. 1990)

Nilai resistivity yang dihitung bukan resistivity sebenarnya dari bawah permukaan, tapi nilai "semu" yang merupakan resistivitas tanah homogen yang akan memberikan nilai resistansi yang sama untuk susunan elektroda yang sama. Hubungan antara resistivitas "semu" dan resistivitas "benar" adalah hubungan yang kompleks. Untuk menentukan resistivitas bawah permukaan sebenarnya, harus dilakukan inversi nilai resistivitas semu yang diukur menggunakan program komputer (Loke, 2000).

Resistivitas batuan ini sangat tergantung pada derajat rekahan, dan persentasi rekahan yang terisi dengan air tanah. batuan sedimen, yang biasanya lebih berpori dan memiliki kadar air yang lebih tinggi, biasanya memiliki nilai resistivitas rendah. Tanah basah dan air tanah segar memiliki nilai resistivitas bahkan lebih rendah. Tanah liat biasanya memiliki nilai resistivitas rendah dari tanah berpasir. Namun, perhatikan tumpang tindih dalam nilai-nilai resistivitas dari kelas yang berbeda dari batu dan tanah. Hal ini karena resistivitas batuan atau tanah sampel tertentu tergantung pada sejumlah faktor seperti porositas, derajat kejemuhan air dan konsentrasi garam terlarut.

Tabel 2.2 Resistivitas dari beberapa batuan yang umum, mineral dan bahan kimia

Material	Resistivity (Ωm)	Conductivity (Siemen/m)
Igneous and Metamorphic Rock		
Granite	$5 \times 10^3 - 10^6$	$10^{-6} - 2 \times 10^{-4}$
Basalt	$10^3 - 10^6$	$10^{-6} - 10^{-3}$
Slate	$6 \times 10^2 - 4 \times 10^7$	$2.5 \times 10^{-8} - 1.7 \times 10^{-3}$
Marble	$10^2 - 2.5 \times 10^8$	$4 \times 10^{-9} - 10^{-2}$
Quartzite	$10^2 - 2 \times 10^8$	$5 \times 10^{-9} - 10^{-2}$
Sedimentary Rocks		
Sandstone	$8 - 4 \times 10^3$	$2.5 \times 10^{-4} - 0.125$
Shale	$20 - 2 \times 10^3$	$5 \times 10^{-4} - 0.05$
Limestone	$50 - 4 \times 10^2$	$2.5 \times 10^{-3} - 0.02$
Soils and Waters		
Clay	$1 - 100$	$0.01 - 1$
Alluvium	$10 - 800$	$1.25 \times 10^{-3} - 0.1$

Groundwater (fresh)	10 – 100	0.01 – 0.1
Sea water	0.2	5
Chemicals		
Iron	9.074x10 ⁻⁸	1.102x10 ⁷
0.01 M Potassium chloride	0.708	1.413
0.01 M Sodium chloride	0.843	1.185
0.01 M acetic acid	6.13	0.163
Xilene	6.998x10 ¹⁶	1.429x10 ⁻¹⁷

(Loke, 2004)

2.2 Karakteristik batuan *karst*

Karst merupakan suatu istilah yang diadaptasi dari bahasa slovenia yang berarti lahan gersang berbatu. Beberapa penelitian mengatakan bahwa *karst* merupakan suatu lahan yang memiliki karakteristik medan lahan yang khas, hal ini dikarenakan kawasan *karst* memiliki kondisi hidrologi yang terbentuk akibat dari batuan yang mudah larut dan memiliki porositas sekunder yang berkembang dengan baik (Ford and William, 1992).

Menurut (Ford and William, 1992), Batuan *karst* memiliki karakteristik sebagai berikut :

1. Terdapatnya cekungan tertutup dan atau lembah kering dalam berbagai ukuran dan bentuk.
2. Langkanya atau tidak terdapatnya drainase/sungai permukaan.
3. Terdapatnya gua dari sistem drainase bawah tanah.

Karst tidak hanya terjadi di daerah berbatuan karbonat, tetapi terjadi juga di batuan lain yang mudah larut dan mempunyai porositas sekunder (kekakar dan

sesar intensif), seperti batuan gypsum dan batugaram. Namun demikian, karena batuan karbonat mempunyai sebaran yang paling luas, *karst* yang banyak dijumpai adalah *karst* yang berkembang di batuan karbonat. Kawasan *karst* yang berkembang dibatuan karbonat berdasarkan proses pembentukannya didominasi oleh pelarutan batuan dimana batu kapur (gamping) diawali oleh larutnya CO_2 di dalam air membentuk H_2CO_3 . Larutan H_2CO_3 tidak stabil terurai menjadi H^- dan HCO_3^{2-} . Ion H^- inilah yang selanjutnya menguraikan $CaCO_3$ menjadi Ca^{2+} dan HCO_3^{2-} (Haryono dan Adji, 2004).

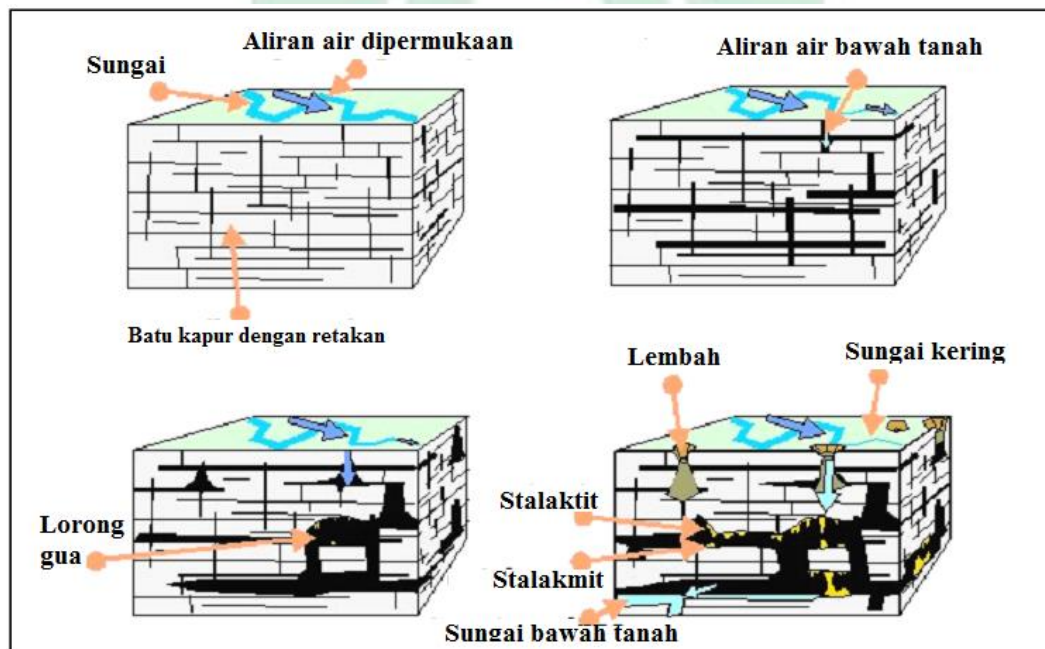
Proses pelarutan batuan diatas diakibatkan dua faktor, yang terdiri dari faktor pendorong dan faktor pengontrol. Keduanya memegang peranan penting pada proses pelarutan dan pembentukan *karst*, sehingga tanpa kedua faktor tersebut lahan *karst* tidak dapat terbentuk. Faktor pengontrol merupakan faktor yang menetukan dapat tidaknya proses *karstifikasi* berlangsung (proses pembentukan lahan *karst*). Faktor pengontrol antara lain:

1. Batuan mudah larut, kompak, tebal dan mempunyai banyak rekahan
2. Curah hujan yang cukup (>250 mm/tahun)
3. Batuan terekspose diketinggian yang memungkinkan perkembangan sirkulasi air/drainase secara vertikal.

Selanjutnya, faktor pendorong merupakan faktor yang mempengaruhi kecepatan dan kesempurnaan proses *karstifikasi*. Pada faktor ini terdiri dari temperatur dan penutupan hutan.

2.3 Hidrologi Karst

Pada awalnya, berbicara mengenai hidrologi *karst* tentunya mempunyai konsekuensi logis yang dapat terbagi menjadi dua topik pembicaraan utama yaitu hidrologi dan *karst*. Hidrologi, menurut Linsley et. al. (1975) adalah cabang dari ilmu geografi fisik yang berurusan dengan air di muka bumi dengan sorotan khusus pada sifat, fenomena dan distribusi air di daratan. Hidrologi dikategorikan secara khusus mempelajari kejadian air di daratan/bumi, deskripsi pengaruh sifat daratan terhadap air, pengaruh fisik air terhadap daratan dan mempelajari hubungan air dengan kehidupan. Pada sisi yang lain, *karst* dikenal sebagai suatu kawasan yang unik dan dicirikan oleh topografi *eksokarst* seperti lembah *karst*, *doline*, *uvula*, *polje*, *karren*, kerucut *karst* dan berkembangnya sistem drainase bawah permukaan yang jauh lebih dominan dibandingkan dengan sistem aliran bawah permukaannya (Adji dkk, 1999).



Gambar 2.2 Drainase bawah permukaan di daerah *karst* (Anonim, 2001).

Dari Gambar 2.2 terlihat bahwa karena sifat batuan karbonat yang mempunyai banyak rongga percelahan dan mudah larut dalam air, maka sistem drainase permukaan tidak berkembang dan lebih didominasi oleh sistem drainase bawah permukaan. Sebagai contoh adalah sistem perguaan yang kadang-kadang berair dan dikenal sebagai sungai bawah tanah. Selanjutnya, dalam bahasan ini akan lebih banyak dideskripsikan hidrologi *karst* bawah permukaan yang selanjutnya akan kita sebut sebagai air tanah *karst*. Secara definitif, air pada sungai bawah tanah di daerah *karst* boleh disebut sebagai air tanah merujuk definisi air tanah oleh Todd (1980) bahwa air tanah merupakan air yang mengisi celah atau pori-pori/rongga antar batuan dan bersifat dinamis. Sedangkan, air bawah tanah *karst* juga merupakan air yang mengisi batuan/percelahan yang banyak terdapat pada kawasan ini, walaupun karakteristiknya sangat berbeda dibandingkan dengan karakteristik air tanah pada kawasan lain.

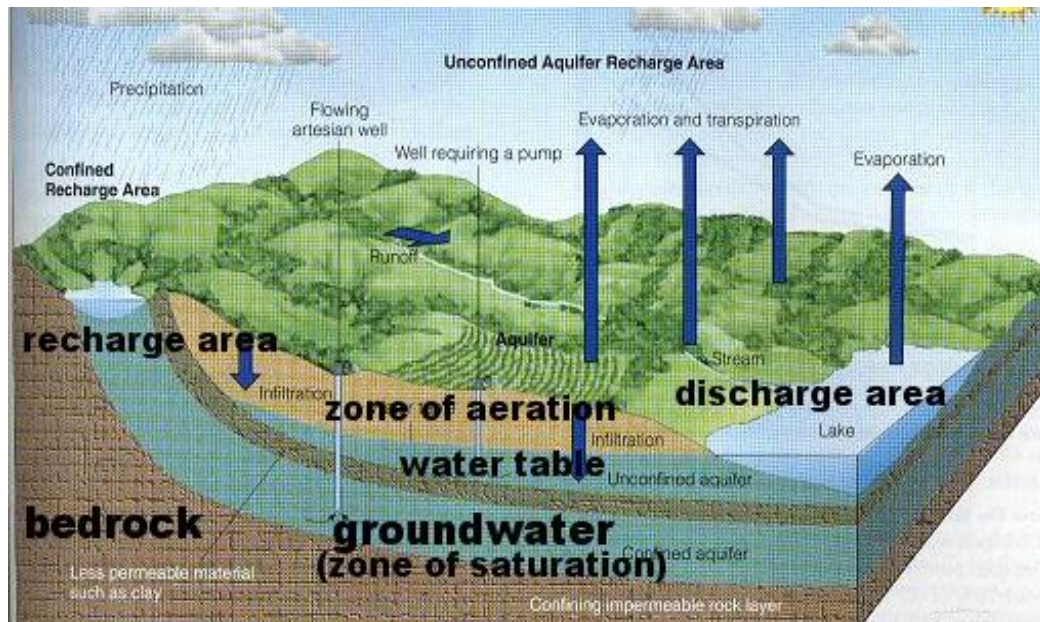
Jankowski (2001) mengatakan bahwa terdapat tiga komponen utama pada sistem hidrologi *karst*, yaitu : akuifer, sistem hidrologi permukaan, dan sistem hidrologi bawah permukaan. Di *karst*, cekungan bawah permukaan dapat diidentifikasi dengan mencari hubungan antara sungai yang tertelan (*swallow holes*) dan mata air. Cekungan bawah permukaan ini dapat berkorelasi dengan cekungan aliran permukaan (DAS) jika jalur-jalur lorong solusional pada bawah permukaan utamanya bersumber pada sungai permukaan yang masuk melalui ponor. Tapi, secara umum batas antara DAS permukaan dan bawah permukaan adalah tidak sama. Sistem bawah permukaan, terutama yang memiliki kemiringan muka air tanah yang rendah dapat mempunyai banyak jalur dan outlet (mata air).

Selanjutnya, karena terus berkembangnya proses pelarutan, muka air tanah, mata air dan jalur sungai bawah tanah di akuifer *karst* dapat berubah-ubah menurut waktu.

2.3.1 Muka Air Tanah

Air yang berada di wilayah jenuh di bawah permukaan tanah disebut air tanah. Secara global, dari keseluruhan air tawar yang berada di planet bumi ini lebih dari 97% terdiri atas air tanah. Air tanah dapat dijumpai dihampir semua tempat dibumi dapat ditemukan di bawah gurun pasir yang kering, demikian juga bawah tanah yang membeku karena tertutup lapisan salju atau es. Adapun faktor yang mempengaruhi terbentuknya air tanah, faktor tersebut adalah formasi geologi. Formasi geologi adalah formasi batuan atau material lain yang berfungsi menyimpan air tanah dalam jumlah besar. Proses pembentukan air tanah formasi geologi tersebut dikenal sebagai akuifer (*aquifer*) (Asdak, 2002).

Didalam pengertian air tanah, ada yang dinamakan sebagai muka air tanah yang merupakan batas antara zone jenuh dan zone tak jenuh. Secara sederhana muka air tanah adalah air yang kita temukan pertama kali ketika kita menggali sebuah sumur. Secara regional, notasi air tanah sering kali dinyatakan dengan suatu istilah yang dikenal sebagai *hydraulic head* atau jumlah antara tekanan hidrostatis air tanah dan ketinggian tempat. Lebih mudahnya, nilai *hydraulic head* adalah nilai ketinggian tempat dikurangi ketinggian muka air tanah dari permukaan bumi. Berikut adalah gambar 2.3 siklus air tanah:



Gambar 2.3 Siklus air tanah (Ray L.K.J.R. dkk, 1989).

Formasi geologi yang mengandung air dan memindahkannya dari satu titik ke titik yang lain dalam jumlah yang mencukupi untuk pengembangan ekonomi disebut suatu lapisan akuifer (Ray L.K.J.R. dkk, 1989). Lapisan akuifer ini, jika dilihat dari sifat fisisnya, merupakan lapisan batuan yang memiliki celah-celah atau rongga sehingga bisa diisi oleh air, serta air dapat bergerak melalui celah-celah atau rongga dalam lapisan batuan. Rongga-rongga dan celah pada batuan aquifer dapat disebut pori-pori. Porositas adalah perbandingan antara seluruh pori-pori dengan volume total batuan (Antonius, 2001).

2.3.2 Akuifer Karst

Akuifer dapat diartikan sebagai suatu formasi geologi yang mampu menyimpan dan mengalirkan air tanah dalam jumlah yang cukup pada kondisi hidraulik gradien tertentu (Acworth, 2001), yang diartikan mampu mensuplai suatu sumur ataupun mata air pada suatu periode tertentu. Jika formasi *karst* dapat menyimpan dan mengalirkannya sehingga sebuah sumur atau mata air

mempunyai debit air yang cukup signifikan, maka dapat dikatakan jika formasi *karst* tersebut disebut sebagai suatu akuifer.

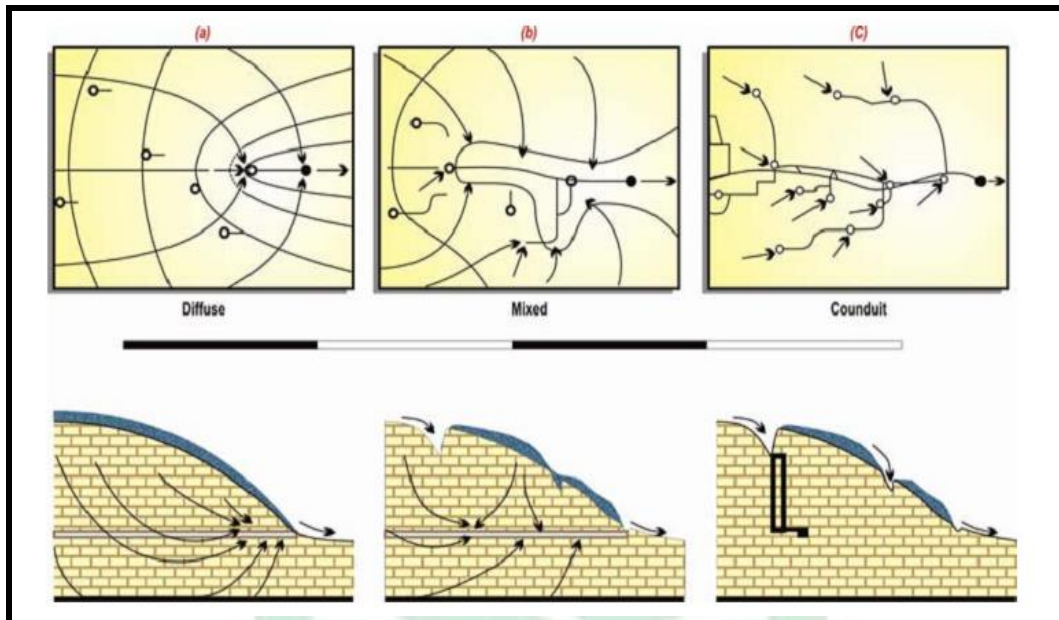
Lebih jauh lagi, Ford and Williams (1992), secara prinsip membagi sifat aliran pada akuifer *karst* menjadi tiga komponen yaitu: aliran saluran/orong (*conduit*), celah (*fissure*), dan rembesan (*diffuse*). Sementara itu, oleh Domenico and Schwarts (1990), komponen aliran di akuifer *karst* hanya dibedakan menjadi dua yaitu komponen aliran rembesan dan saluran. Komponen aliran diffuse diimbuh oleh air infiltrasi yang tersimpan pada bukit-bukit *karst* dan mengisi sungai bawah tanah *karst* sebagai tetesan dan rembesan pada ornamen gua.



Gambar 2.4 Aliran Sungai Bawah Tanah (sumber : dokumen pribadi)

Komponen aliran ini bersifat laminar dan karakterisasinya dapat mengikuti hukum Darcy (White, 1988). Sementara itu, komponen aliran *conduit* mendominasi sungai bawah tanah terutama pada saat banjir dan responnya terhadap hujan hampir menyerupai sungai bawah tanah karena diimbuh oleh aliran permukaan yang masuk ke akuifer *karst* melalui poros atau sinkhole. Sifat aliran ini adalah turbulent dan hukum Darcy tidak dapat diterapkan untuk

mengkarakterisasinya (Jankowski, 2001). Berikut gambar 2.5 sistem *conduit*, *diffuse* dan campuran pada formasi *karst*.



Gambar 2.5 Sistem *conduit*, *diffuse* dan campuran pada formasi *karst*
(Domenico and Schwartz, 1990).

2.4 Pola Aliran Sungai

Kegiatan erosi dan tektonik yang menghasilkan bentuk-bentuk lembah sebagai sebagai tempat pengaliran air, selanjutnya akan membentuk pola-pola tertentu yang disebut sebagai pola aliran. Pola aliran ini sangat berhubungan dengan jenis batuan, struktur geologi kondisi erosi dan sejarah bentuk bumi. Sistem pengaliran yang berkembang pada permukaan bumi secara regional dikontrol oleh kemiringan lereng, jenis dan ketebalan lapisan batuan, struktur geologi, dan jenis dan kerapatan vegetasi serta kondisi iklim (Van Zuidam, 1985).

Pola pengaliran sangat mudah dikenal dari peta topografi yang berskala besar. Percabangan-percabangan dan erosi yang kecil pada permukaan bumi akan tampak dengan jelas. Sedangkan pada skala menegah akan menunjukkan pola

menyeluruh sebagai cerminan jenis batuan, struktur geologi dan erosi. Pola pengaliran pada batuan yang berlapis sangat tergantung pada jenis sebaran, ketebalan dan bidang pelapisan batuan serta geologi struktur seperti sesar, kekar arah dan bentuk perlipatan (Van Zuidam,1985).

Menurut (Howard,1967), membedakan pola pengaliran menjadi pola pengaliran dasar dan pola pengaliran modifikasi. Definisi pola pengaliran yang digunakan adalah sebagai berikut:

1. Pola pengaliran adalah kumpulan dari suatu jaringan pengaliran di suatu daerah yang dipengaruhi atau tidak dipengaruhi oleh curah hujan, alur pengaliran tetap pengali. Biasanya pola pengaliran yang demikian disebut sebagai pola pengaliran permanen (tetap).
2. Pola dasar adalah salah satu sifat yang terbaca dan dapat dipisahkan dari pola dasar lainnya.
3. Perubahan (modifikasi) pola dasar adalah salah satu perbedaan yang dibuat dari pola dasar setempat.

Hubungan pola dasar dan pola perubahan (modifikasi) dengan jenis batuan dan struktur geologi sangat erat, tetapi tidak menutup kemungkinan dapat ditambah atau dikurangi. Menurut (Van der Weg, 1968), pola pengaliran di klasifikasikan menjadi pola erosional, pola pengendapan dan pola khusus. Pola denditik (sub dendritik), radial, angular (sub angular) tralis dan rektangular termasuk pola erosional, sedangkan pola lurus, menganyam, berkelok, rektikular dan pola dikhotomik termasuk pola pengendapan. Klasifikasi pola khusus dibagi

menjadi pola pengaliran internal seperti “sinkhole” pada bentuk lahan *karst* (*gamping*) dan pola “palimpsest” untuk daerah yang dianggap khusus.

Tabel 2.3 Pola pengaliran dan karakteristiknya

POLA PENGALIRAN DASAR	KARAKTERISTIK
Dendritik	Perlapisan batuan sedimen relatif datar atau paket batuan kristalin yang tidak seragam dan memiliki ketahanan terhadap pelapukan. Secara regional daerah aliran memiliki kemiringan landai, jenis pola pengaliran membentuk percabangan menyebar seperti pohon rindang.
Paralel	Pada umumnya menunjukkan daerah yang berlereng sedang sampai agak curam dan ditemukan pula pada daerah bentuk lahan perbukitan yang memanjang. Sering terjadi pola peralihan antara dendritik dengan pola paralel atau tralis. Bentuk lahan perbukitan yang memanjang dengan pola pengaliran paralel mencerminkan perbukitan tersebut dipengaruhi oleh perlipatan.
Trallis	Batuan sedimen yang memiliki kemiringan perlapisan (dip) atau terlipat, batuan vulkanik atau batuan meta sedimen derajat rendah dengan perbedaan pelapukan yang jelas. Jenis pola pengaliran biasanya berhadapan pada sisi sepanjang aliran subsekuen.
Rektangular	Kekar dan atau sesar yang memiliki sudut kemiringan, tidak memiliki perulangan

	lapisan batuan dan sering memperlihatkan pola pengaliran yang tidak menerus
Radial	Daerah vulkanik, kerucut (kubah) intrusi dan sisa-sisa erosi. Pola pengaliran radial pada daerah vulkanik disebut sebagai pola pengaliran multi radial
Anular	Struktur kubah/kerucut. Cekungan dan kemungkinan retas (stocks)
Multibasinal	Endapan berupa gumuk hasil longsoran dengan perbedaan penggerusan atau peralatan batuan dasar, merupakan daerah gerakan tanah, vulkanisme, pelarutan gamping dan lelehan salju.

(Van Zuidam, 1985)

Tabel 2.4 Pola pengaliran modifikasi (Van Zuidam, 1985)

POLA PENGALIRAN	KARAKTERISTIK
Sub Dendritik	Umumnya struktural
Pinnate	Tekstur batuan halus
Anastomatik	Dataran banjir, delta atau rawa
Menganyam (dikhotomik)	Kipas aluvium dan delta
Sub paralel	Lereng memanjang atau dikontrol oleh bentuk lahan perbukitan memanjang
Koliner	Kelurusan bentuk lahan bermaterial halus
Sub trallis	Bentuk lahan memanjang dan sejajar
Direksional Trallis	Homoklin landai seperti beting gisik
Trallis Berbelok	Perlipatan memanjang
Trallis Sesar	Percabangan menyatu atau berpencar, sesar paraler

Angulate	Kekar dan/atau sesar pada daerah miring
Karst	Batu gamping

(Van Zuidam,1985)

2.5 Metode Geolistrik

Metode geolistrik (tahanan jenis) merupakan salah satu metode geofisika yang digunakan untuk penyelidikan bawah permukaan dengan memanfaatkan sifat aliran listrik didalam permukaan bumi dan cara mendeteksinya di permukaan bumi. Metode ini meliputi pengukuran beda potensial dan arus listrik yang terjadi akibat injeksi arus listrik ke dalam bumi melalui sepasang elektroda arus. Perbedaan potensial diukur melalui sepasang elektroda potensial. Harga tahanan jenis batuan tergantung macam-macam materialnya, densitas, porositas, ukuran dan bentuk pori-pori batuan, kandungan air, kualitas dan suhu, dengan demikian tidak ada kepastian harga tahanan. Jenis untuk setiap macam batuan pada akuifer yang terdiri atas material lepas mempunyai harga tahanan jenis yang berkurang apabila makin besar kandungan air tanahnya atau makin besar kandungan garamnya (misalnya air asin). Mineral lempung bersifat menghantarkan arus listrik sehingga harga tahanan jenis akan kecil (Khoirun, 2014:9).

Metode geolistrik tahanan jenis memiliki beberapa konfigurasi, yaitu konfigurasi Schlumberger, konfigurasi Wenner, konfigurasi dipole-dipole dan konfigurasi Square.Konfigurasi yang umumnya digunakan yaitu konfigurasi Schlumberger dan konfigurasi Wenner. Setiap konfigurasi elektroda mempunyai metode perhitungan tersendiri untuk mengetahui nilai ketebalan dan tahanan jenis batuan di bawah permukaan. Nilai tahanan jenis semu tergantung pada geometri

konfigurasi elektroda yang digunakan, atau yang sering didefinisikan sebagai faktor geometri (K) (Sugito, 2010 : 50).

Secara umum resistivitas semu (*apparent resistivity*, ρ_a) batuan dapat dihitung menggunakan persamaan :

$$\rho_a = K \frac{V}{I} \quad (2.1)$$

Keterangan :

ρ_a = Resistivitas semu (Ωm)

K = Faktor geometri (m)

V = Tegangan (V)

I = Kuat arus (A)

(Sugito,2010 : 50)

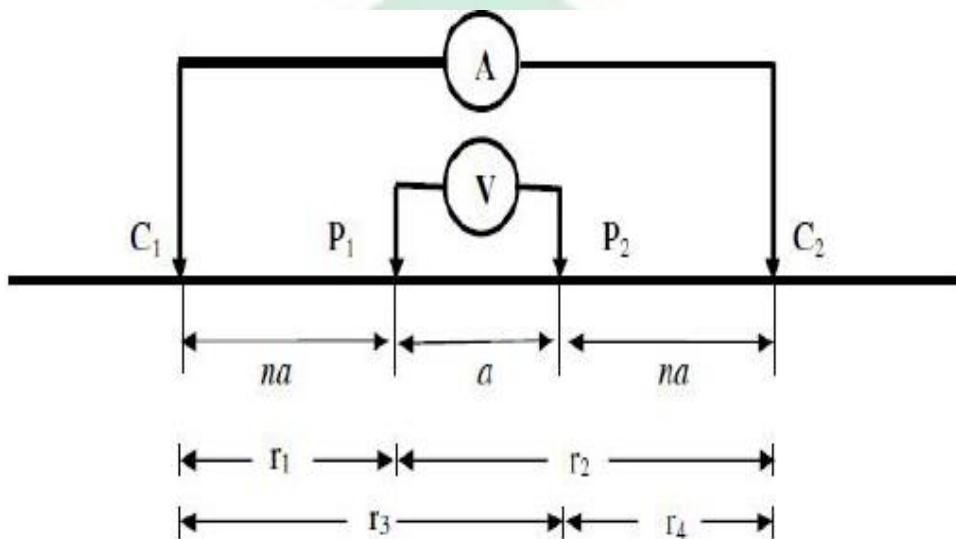
2.5.1 Konfigurasi Schlumberger

Konfigurasi Schlumberger merupakan aturan penyusunan elektroda yang digunakan dalam penelitian. Pengukuran dengan konfigurasi Schlumberger ini menggunakan 4 elektroda, masing-masing 2 elektroda arus dan 2 elektroda potensial (Telford, 1976: 635).

Terdapat beberapa konfigurasi atau cara menyusun elektroda untuk melakukan pengukuran bawah permukaan dalam metode geolistrik, seperti konfigurasi Wenner, Schlumberger, Pole-Pole, Pole- Dipole, Dipole-Dipole. Pada pengukuran sounding yaitu pengukuran bawah permukaan dengan tujuan untuk mengetahui sebaran titik geolistrik secara vertikal ke bawah dengan kedalaman yang cukup dalam, konfigurasi yang cocok digunakan adalah konfigurasi Schlumberger. Dengan menggunakan konfigurasi Schlumberger pemindahan

elektroda tidak semuanya dipindahkan, elektroda arus saja yang dipindahkan secara logaritmik sedangkan elektroda potensial tetap (Todd, D.K, 1980).

Selain itu dengan menggunakan konfigurasi Schlumberger pemindahan elektroda tidak terlalu sulit dan tidak terlalu jauh untuk mengetahui hingga kedalaman 100 m. Konfigurasi Schlumberger jarak elektroda potensial relatif jarang diubah-ubah meskipun jarak elektroda arus selalu diubah-ubah.



Gambar 2.6 Susunan elektroda konfigurasi Schlumberger (Kearey, 2002)

Pada Gambar 2.6, elektroda pengukur (P1 dan P2) diam pada titik tengah antara elektroda arus (C1 dan C2), dan kedua elektroda arus digerakkan secara simetris keluar (menjauhi elektroda pengukur) dengan spasi pengukuran tertentu. Maka, berdasarkan gambar, faktor geometri pada konfigurasi schlumberger adalah:

$$K = n(n + 1)\pi a \quad (2.2)$$

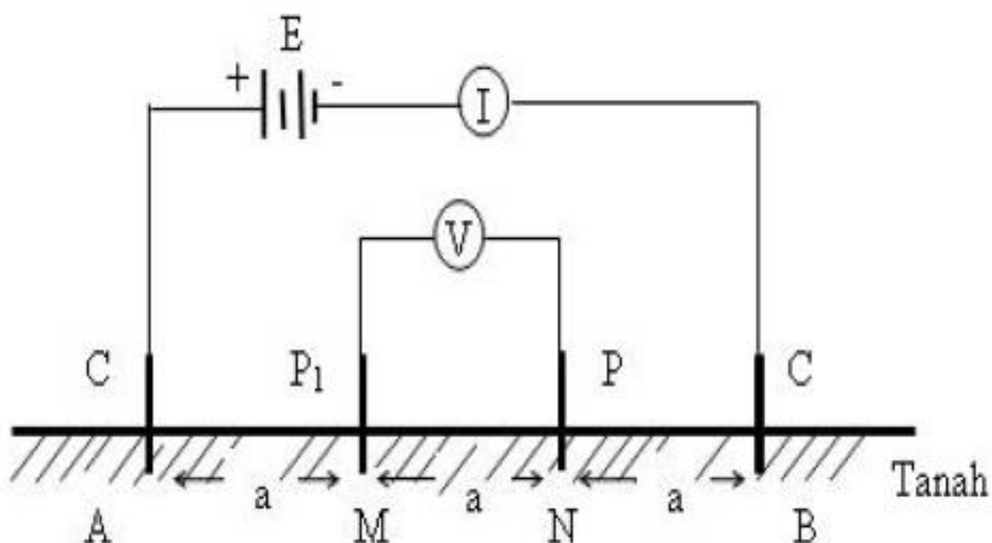
Sehingga berlaku

$$\rho_a = n(n + 1)\pi a \frac{\Delta V}{I} \quad (2.3)$$

Nilai na merupakan jarak antar elektroda dengan kelipatan sebesar n pada tiap pergerakan elektroda (Fransiska, 2012:3)

2.5.2 Konfigurasi Wenner

Konfigurasi Wenner merupakan salah satu konfigurasi dalam eksplorasi Geofisika dengan susunan elektroda terletak dalam satu garis yang simetris terhadap titik tengah. Konfigurasi elektroda Wenner memiliki resolusi vertikal yang bagus, sensitivitas terhadap perubahan lateral yang tinggi tapi lemah terhadap penetrasi arus terhadap kedalam. Susunan elektroda konfigurasi Wenner dapat dilihat pada Gambar 2.7:



Gambar 2.7. Susunan elektroda konfigurasi Wenner

Jarak masing-masing elektroda pada Gambar 2.7 menjadi $AM = MN = NB = a$.

Harga K konfigurasi Wenner, sebagai berikut:

$$K_w = 2\pi a \quad (2.4)$$

Keterangan :

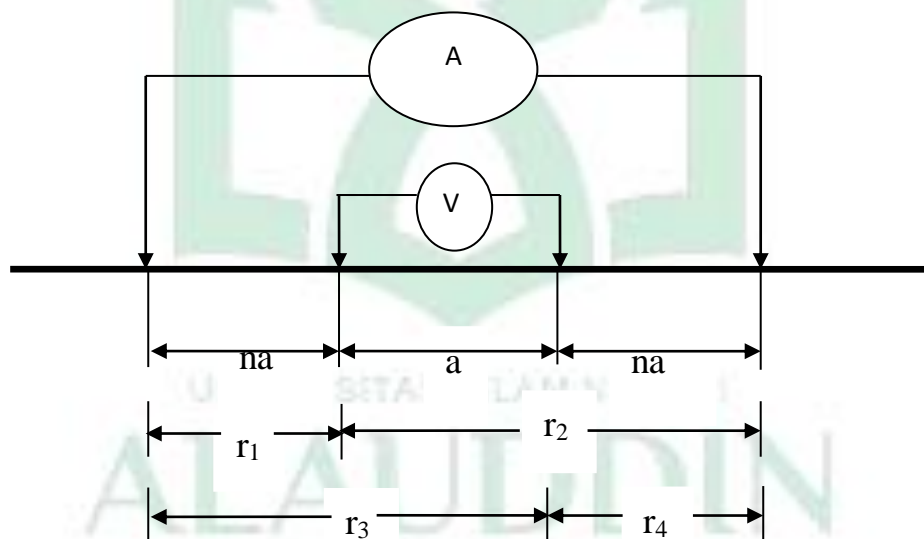
K_w = Faktor geometri konfigurasi Wenner (m)

a = Jarak antara elektroda (m)

(Hakim. 2016:98)

2.5.3 Konfigurasi Wenner-Schlumberger

Konfigurasi ini merupakan perpaduan dari konfigurasi Wenner dan konfigurasi Schlumberger. Pada pengukuran dengan faktor spasi (n) = 1, konfigurasi Wenner-Schlumberger sama dengan pengukuran pada konfigurasi Wenner (jarak antar elektrode = a), namun pada pengukuran dengan $n = 2$ dan seterusnya, konfigurasi Wenner-Schlumberger sama dengan konfigurasi Schlumberger (jarak antara elektrode arus dan elektrode potensial lebih besar daripada jarak antar elektrode potensial) (Setiawan, 2010).



Gambar 2.8 Konfigurasi Wenner-Schlumberger (Setiawan, 2010)

Faktor geometri dari konfigurasi Wenner-Schlumberger adalah :

$$k = n(n + 1)\pi a \quad (2.5)$$

Keterangan :

a = jarak elektroda P1 dan P2.

k = faktor geometri

2.6 Tinjauan Integrasi Keilmuan dengan Al-Qur'an

Seperti yang telah dijelaskan sebelumnya, air tanah merupakan suatu sumber kebutuhan air akan makhluk hidup yang sangat bermanfaat. Allah swt berfirman dalam QS. Al Waaqi'ah (56): 68-70 yang berbunyi:

أَفَرَءَيْتُمْ الْمَاءَ الَّذِي تَسْرِبُونَ ١٨
إِنْتُمْ أَنْزَلْتُمُوهُ مِنَ الْمُزْنِ أَمْ نَحْنُ
الْمُنْزِلُونَ ١٩ لَوْنَشَاءَ جَعَلْنَاهُ أَجَاجًاً فَلَوْلَا تَشْكُرُونَ

Terjemah-Nya:

“Maka terangkanlah kepadaku tentang air yang kamu minum. Kamukah yang menurunkannya atau kamikah yang menurunkannya?. Kalau Kami kehendaki, niscaya Kami jadikan dia asin, maka mengapakah kamu tidak bersyukur? (QS Al Waaqi'ah (56): 68-70)(Departemen Agama RI, 2010).

Menurut Ibnu Abbas, Mujahid dan beberapa ulama lainnya, Allah swt berfirman: *Maka, terangkanlah kepadaku tentang air yang kamu minum. Kamukah yang menurunkannya dari al-muzni?* Yakni awan. Ataukah Kami yang menurunkan? Allah swt berfirman: *Tetapi Kami-lah yang menurunkannya. Kalau kami kehendaki, niscaya Kami jadikan dia asin.* Maksudnya, sangat pahit sehingga tidak (dapat) diminum dan tidak juga dipergunakan menyiram tanaman. *Maka mengapakah kamu tidak bersyukur?* Maksudnya, lalu mengapa kalian tidak mensyukuri nikmat Allah yang telah dikaruniahi kepada kalian berupa penurunan hujan kepada kalian dengan rasa tawar dan segar? (Tafsir Ibnu Katsir, 2004).

Ayat di atas bercerita tentang siklus air yang berjalan sempurna. Berdasarkan pada kata “Niscaya Kami jadikan dia asin”. Air yang menguap berasal dari air laut, yakni air garam yang rasanya asin. Dengan adanya teori penguapan, dimana air akan menguap ketika dipanaskan. Dan karena adanya sifat kimia air, maka air laut yang asin menjadi air hujan yang tawar dan segar. Dalam

ilmu meteorologi dikenal dengan istilah presipitasi sebagai salah satu komponen utama dalam siklus air dan sumber utama air tawar di planet ini. Sehingga dengan adanya ilmu geofisika dan geologi, air yang berada dibawah permukaan tanah dapat terdeteksi keberadaan nya.

Kemudian, Berdasarkan Ilmu geofisika dan geologi dalam perspektif Al-Qur'an, air bawah tanah atau aliran sungai bawah tanah yang dibahas dalam uraian diatas telah dijelaskan di dalam Al-Qur'an sendiri yakni pada QS Al-Naml ayat 61, berikut ini:

أَمَّنْ جَعَلَ الْأَرْضَ قَرَارًا وَجَعَلَ خِلَالَهَا أَنْهَرًا وَجَعَلَ لَهَا رَوْسِيًّا
وَجَعَلَ بَيْنَ الْبَحْرَيْنِ حَاجِزًا أَءَلَهُ مَعَ اللَّهِ بَلْ أَكْثَرُهُمْ لَا يَعْلَمُونَ

Terjemah-Nya :

“Atau siapakah yang telah menjadikan bumi sebagai tempat berdiam, dan yang menjadikan sungai-sungai dicelah-celahnya, dan yang menjadikan gunung-gunung untuk (mengkokohnya) dan menjadikan suatu pemisah antara dua laut? Apakah disamping Allah ada tuhan (yang lain)? Bahkan (sebenarnya) kebanyakan dari mereka tidak mengetahui”(QS. Al-Naml :61). (Departemen Agama RI, 2010)

Menurut M.Quraish Shihab dalam Tafsir Al-Misbah (2002), Ayat sebelum ini berbicara tentang penciptaan langit dan bumi serta beberapa yang berkaitan dengan keduanya seperti hujan dari langit dan tumbuhan di bumi. Akan tetapi pada ayat ini dibicarakan secara khusus apa yang ada dibumi. Pada ayat diatas, masih melanjutkan “perbandingan” sebelumnya dengan menyatakan “apakah berhala-berhala yang kamu sembah, lebih baik atau apakah *siapa* yakni apakah dia yaitu Allah yang *telah menjadikan bumi mantap* yakni memiliki kemantapan sehingga tidak goncang dan apa yang berada di permukaannya pun

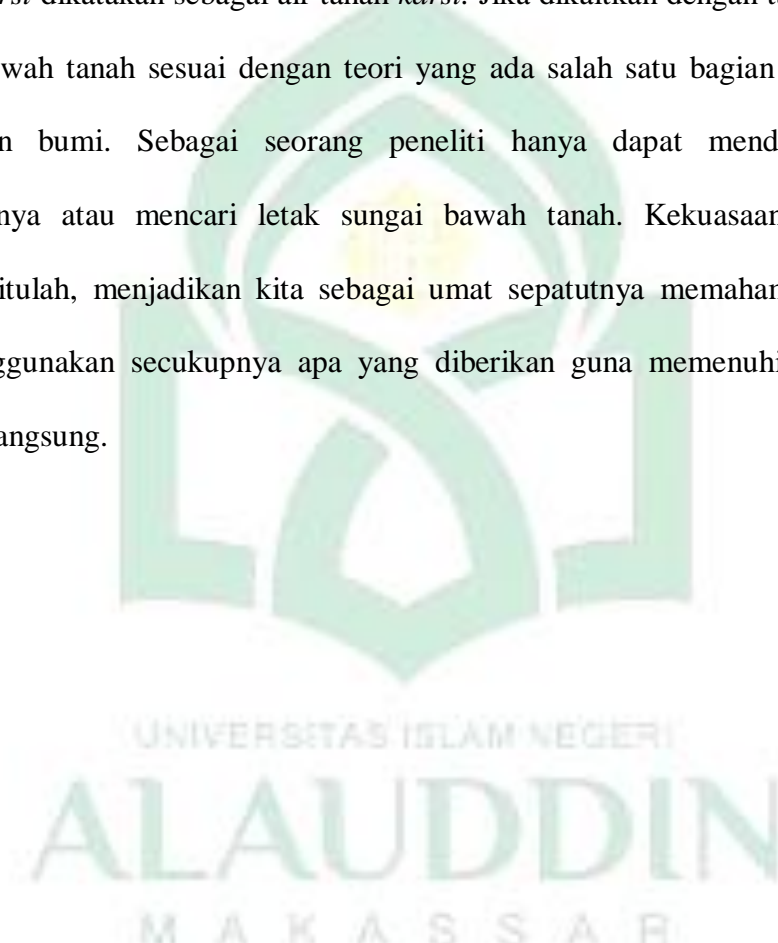
tidak bergoncang *dan yang menjadikan celah-celahnya* antara gunung-gunung yang tertancap di bumi itu *sungai-sungai*, dan *yang menjadikan untuknya* yakni untuk bumi itu *gunung-gunung* yang kokoh sehingga bumi tidak goncang *dan menjadikan pula antara dua laut* yakni antara sungai dan laut pemisah sehingga air laut dan sungai tidak bercampur? Apakah sembahansembahan kamu lebih baik dari Allah? Pasti tidak. *Apakah disamping Allah ada tuhan yang lain?* Sungguh tidak ada bahkan yang sebenarnya kebanyakan dari mereka yang menyembah selain Allah atau mempersekuatkannya kendati mereka memanfaatkan ciptaannya, kebanyakan dari mereka *tidak mengetahui*.

Kata (قراراً) *qararan* terambil dari kata (قرّ) *qarra* yang berarti *mantap, tenang, tidak goncang*. Disini Allah mengajak manusia bersyukur, sekaligus berfikir tentang keajaiban ciptaannya. Betapa menakjubkan setiap saat bumi bergerak bagaikan berenang di angkasa, namun demikian penghuninya yang berada di permukaanya, tidak merasakan gerak itu bahkan tidak terjatuh dan tergelincir. Ulama-ulama berpendapat tentang hakekat *pemisah antara dua laut* yang dimaksud ayat ini. Ada yang berpendapat bahwa Allah memisahkannya dengan menjadikan sungai pada umumnya berada pada posisi tinggi dari laut, sehingga walau air laut lebih banyak, ia tidak dapat mencapai air sungai, sebaiknya walau air sungai tinggi namun karena air laut jauh lebih banyak, maka keasinanya tidak berpengaruh oleh air sungai yang mengalir kelaut itu (M.Quraish Shihab, 253-254:2002).

Berdasarkan tafsir diatas, Allah swt menciptakan segala yang ada di muka bumi memiliki peranan dan manfaat yang berguna seperti halnya sungai

bawah tanah yang dapat dimanfaatkan sebagai kebutuhan akan air bagi makhluk hidup yang berasal dari proses pembentukan gunung-gunung (*karst*) yang kokoh kemudian karena adanya faktor alam sehingga terbentuklah sungai bawah tanah akibat proses pelarutan.

Dari proses inilah sehingga air yang berada di bawah permukaan tanah daerah *karst* dikatakan sebagai air tanah *karst*. Jika dikaitkan dengan tafsir di atas, sungai bawah tanah sesuai dengan teori yang ada salah satu bagian dari proses penciptaan bumi. Sebagai seorang peneliti hanya dapat menduga proses terbentuknya atau mencari letak sungai bawah tanah. Kekuasaan dari sang pencipta itulah, menjadikan kita sebagai umat sepatutnya memahami, menjaga dan menggunakan secukupnya apa yang diberikan guna memenuhi kebutuhan yang berlangsung.

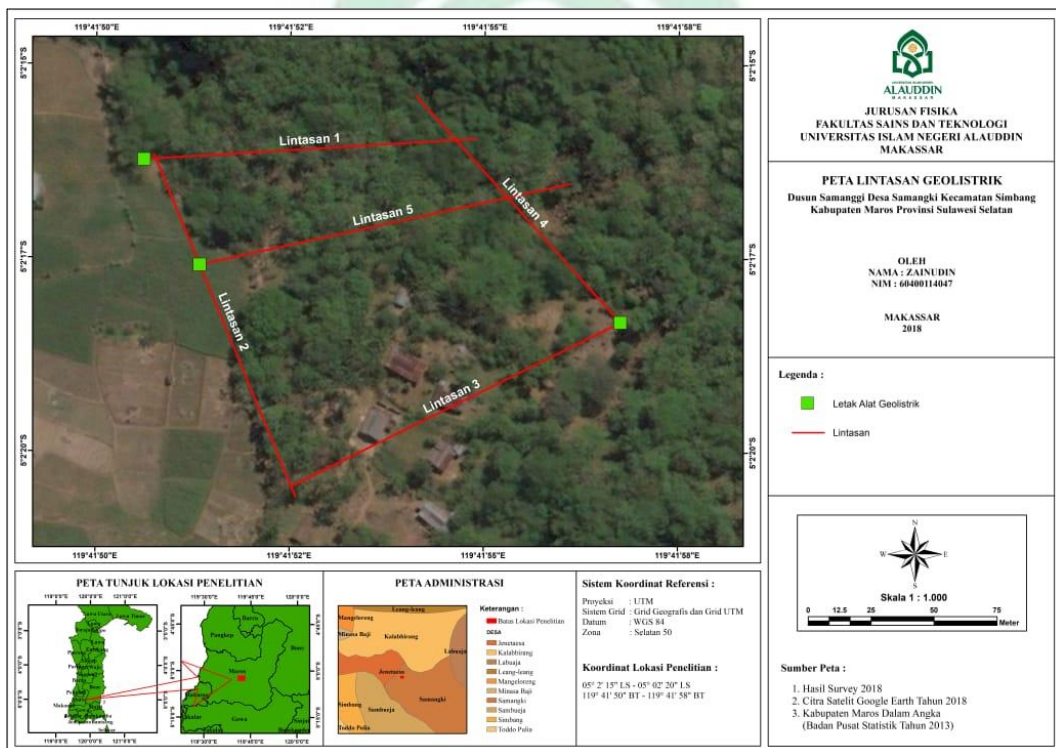


BAB III

METODE PENELITIAN

3.1 Waktu dan Tempat Pelaksanaan

Penelitian ini dilaksanakan pada bulan Januari sampai bulan Oktober 2018 di Dusun Samanggi Desa Samangki Kecamatan Simbang Kabupaten Maros. Berikut ini peta lintasan pengambilan data geolistrik seperti yang ditunjukkan ada gambar 3.1 adalah sebagai berikut:



Gambar 3.1 Peta Lintasan pengukuran geolistrik
(Sumber : dokumen Pribadi)

3.2 Alat dan Bahan

Alat dan bahan yang digunakan pada penelitian ini adalah

1. Satu set alat ukur tahanan jenis (*Geomativ GD 10 advance*), konektor aki, dan konektor elektroda)

2. 2 buah Palu
3. 30 buah Elektroda
4. 1 rol kabel
5. 1 buah meteran 100 m dan 2 buah meteran 25 m
6. 1 buah GPS (*Global Positioning system*)
7. 1 buah Kamera
8. Beberapa software (*M.S Excel, Notepad, Res2dinv, Design Grafis*)

3.3 Prosedur Kerja

3.3.1 Survey Lokasi

Survey lokasi merupakan tahapan awal sebelum dilakukannya pengambilan data yang akan dilakukan, tahapan awal meliputi pengamatan lokasi-lokasi dilakukannya penelitian, sehingga dengan tahapan ini dapat diperkirakan sejauh mana lintasan data yang akan diambil dan arah bentangan berdasarkan tujuan pengambilan data.

3.3.2 Pengambilan data lapangan

Penelitian ini menggunakan metode pengambilan data konfigurasi Wenner-Schlumberger. Berdasarkan metode konfigurasi ini diperoleh data penelitian antara lain: a (*datum point*), K (faktor geometri), n (perulangan), V (beda potensial), I (arus) dan ρ (resistivitas). Berdasarkan alat dan bahan yang telah disebutkan di atas, maka prosedur kerja pengambilan data lapangan yang telah dilakukan pada penelitian ini adalah sebagai berikut :

1. Mempersiapkan peralatan yang digunakan untuk melakukan pengukuran di lapangan yaitu, satu unit alat tahanan jenis (*Geomativ GD 10 Advance*) beserta kabel konektor, dua buah aki beserta kabel konektornya,

2. Membentangkan meteran untuk menentukan panjang lintasan secara tepat sepanjang 150 meter untuk masing-masing lintasan.
3. Menancapkan elektroda yang akan digunakan pada permukaan tanah dengan dengan spasi antar elektroda sebesar 5 meter. Dalam pengukuran ini elektroda yang akan digunakan sebanyak 30 buah.
4. Menentukan posisi (koordinat) setiap elektroda menggunakan *GPS*.
5. Membentangkan kabel sesuai panjang lintasan yang telah ditentukan sebelumnya dan menghubungkan ke setiap elektroda yang telah tertancap ke tanah.
6. Pengukuran data dilakukan setelah semua elektroda terhubung dengan terminal kabel dan kabel sudah terhubung ke alat resistivimeter, dengan mengecek kontak resistansi masing-masing elektroda. Apabila tidak ada masalah pengambilan data dapat dijalankan secara otomatis dengan perintah alat tersebut sesuai metode dan konfigurasi yang digunakan seperti pada gambar 2.9.
7. Melakukan pengecekan data yang diperoleh dari pengukuran untuk memastikan kualitas data yang diperoleh.

3.3.3 Pengolahan Data

Hasil pengukuran pada daerah penelitian kemudian diolah dengan menggunakan *software MS. Excel, Notepad dan Res2dinv* yang bertujuan untuk mendapatkan hasil atau model penampang 2D berupa resistivitas “semu” didapatkan dari pengukuran di lapangan kemudian diinversi untuk mendapatkan hasil berupa resistivitas “benar” atau sebenarnya. Setelah itu, menggabungkan

hasil penampang 2D untuk membentuk lintasan pengukuran 3D guna mengetahui pola aliran sungai bawah tanah sesuai dengan nilai resistivitas tiap lintasan.

3.3.4 Interpretasi Data

Interpretasi data merupakan tahapan akhir setelah melakukan pengolahan data yang menghasilkan model penampang 2D dan model lintasan pengukuran 3D serta nilai resistivitas yang kemudian dijadikan sebagai nilai yang diinterpretasikan dengan membandingkan antara nilai resistivitas yang diperoleh di lapangan dan resistivitas batuan menurut M.H Loke (2004), Telford (1990) dan Peta geologi.

3.4 Tabel Pengamatan Penelitian

Tabel pengamatan pada penelitian ini adalah sebagai berikut:

Lintasan n =

Jarak spasi (m) =

Tabel 3.1 Hasil pengukuran injeksi arus (I) dan tegangan (V)

A(C1)	B(C2)	M(P1)	N(P2)	Stacking	K	I (mA)	V (mV)	R (Ohm)	R0	SP	R0_RD
1											
2											
3											
4											
5											
6											
7											
dst											

Keterangan:

A(C1),B(C2),M(P1)N(P2) = Titik elektroda pengukuran

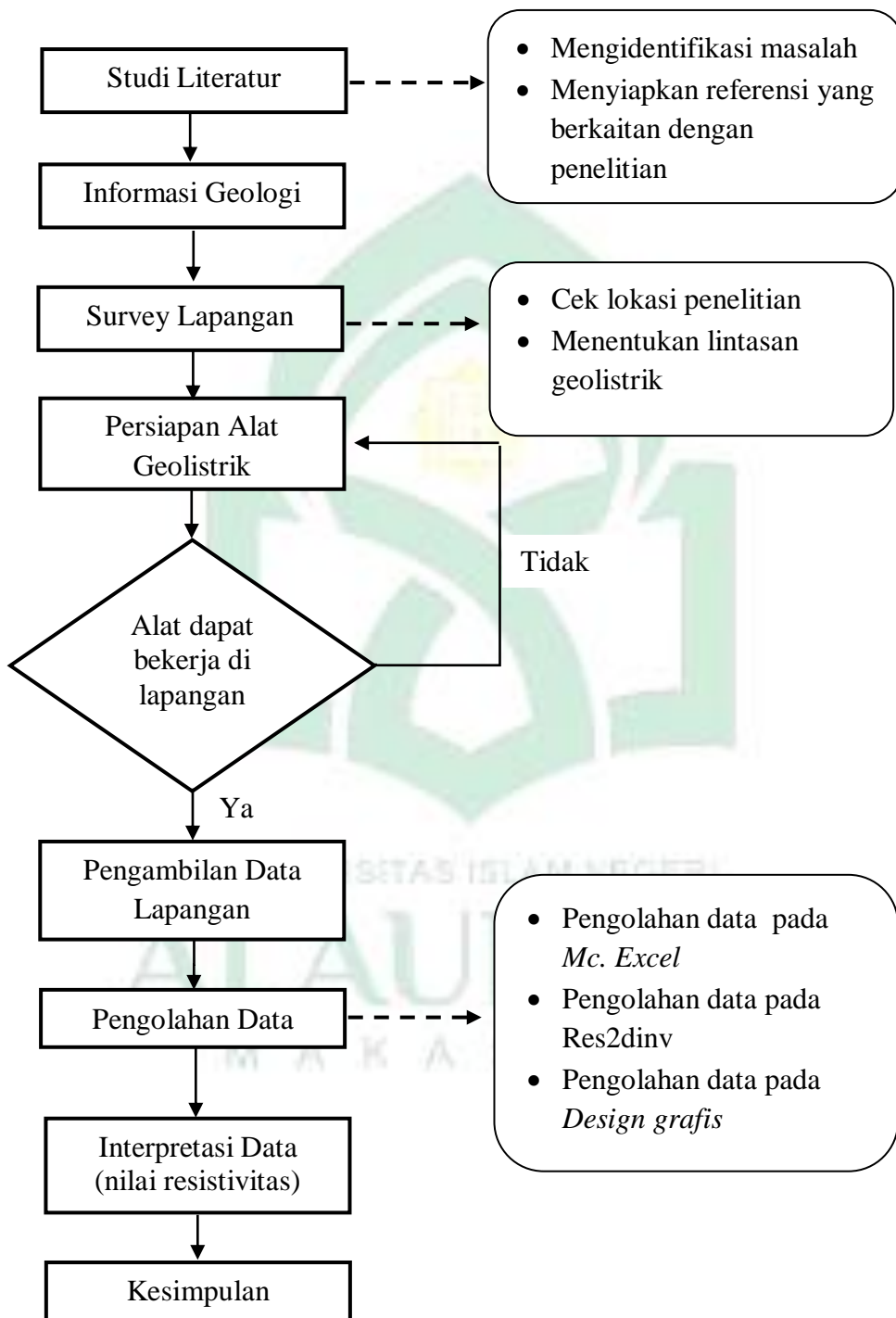
SP = Self potensial atau potensial alami batuan

K = Faktor geometri

R dan RO = Resistansi(Ω) dan Resistivitas Semu ($\Omega \cdot m$)

3.5 Diagram Alir

Berikut gambar 3.3 menunjukkan bagan alir yang dilakukan pada penelitian ini:



Gambar 3.3 Bagan alir penelitian

BAB IV

HASIL DAN PEMBAHASAN

4.1 Hasil Penelitian

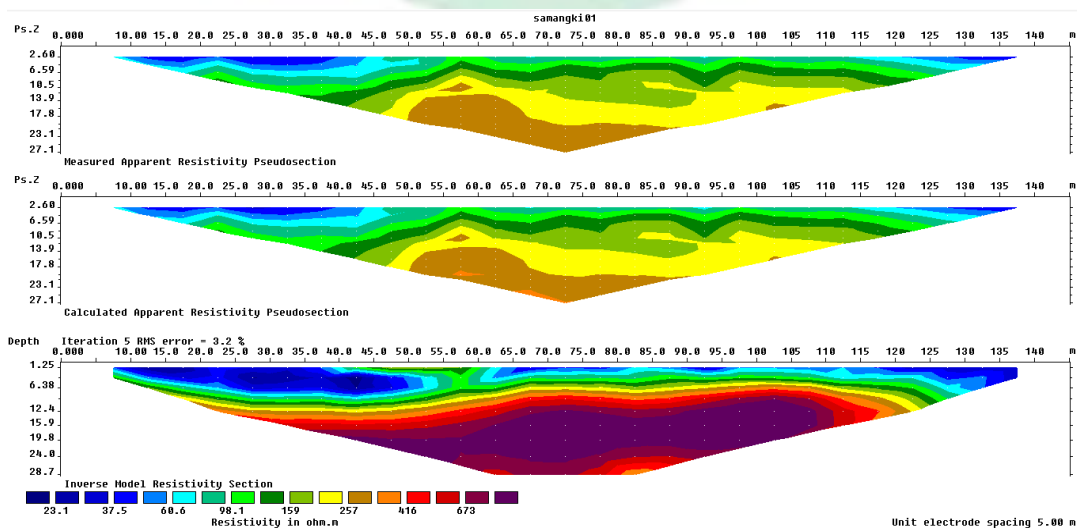
Penelitian pendugaan pola aliran sungai bawah tanah pada kawasan *karst* yang dilakukan di Dusun Samanggi Desa Samangki Kec. Simbang Kab. Maros Berdasarkan hasil pengambilan dan pengolahan data lapangan dengan metode geolistrik konfigurasi Wenner-Schlumberger memiliki variabel terukur yaitu berupa nilai arus (I) dan tegangan (V). Metode ini mampu menunjukkan kontras nilai resistivitas yang sangat baik sehingga dapat digunakan untuk mendeteksi air bawah permukaan tanah yang pada daerah yang berbukit atau kawasan *karst*. Daerah pengambilan data memiliki struktur batuan Formasi Tonasa yaitu batu gamping dan struktur batuan Diorit serta endapan alluvium berupa kerikil, pasir, lempung dan batu gamping koral jika dilihat dari peta geologi regional yang diterbitkan oleh Sukamto, 1985.

Pengambilan data dilakukan sebanyak 5 lintasan dengan panjang lintasan 150 meter dan masing-masing lintasan menggunakan spasi 5 meter antar elektroda. data mapping yang diperoleh dapat diolah untuk dapat memberikan informasi secara vertikal dan horizontal bawah permukaan tanah. Data dari hasil pengukuran di lapangan berbentuk *.dat file*, data tersebut kemudian diinversi dengan menggunakan software Res2dinv untuk memperoleh penampang 2D, penampang 2D hasil inversi memberikan informasi mengenai distribusi nilai resistivitas lapisan bawah permukaan

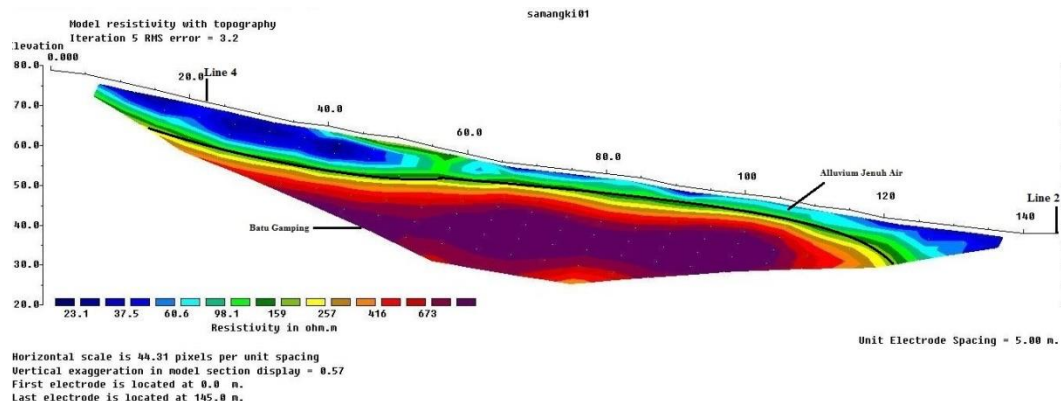
pada setiap lintasan kemudian menggabungkan data 2D kedalam software *Design grafis* untuk Menunjukkan kesesuaian nilai resistivitas yang dihasilkan dan memberikan gambaran arah aliran air dibawah permukaan tanah berdasarkan nilai resistivitas batuan dan material. Data-data hasil pengolahan setiap lintasan selanjutnya diinterpretasikan sebagai berikut:

1. Lintasan I (pertama)

Lintasan I (pertama) terletak pada koordinat $5^{\circ}2'15.9''$ LS dan $119^{\circ}41'54.5''$ BT sampai dengan $5^{\circ}2'16.2''$ LS dan $119^{\circ}41'52.2''$ BT. Pengambilan data pada lintasan ini dimulai dari arah timur menuju arah barat. Hasil inversi pengolahan data diperoleh kedalaman hingga 28,7 meter dan hasil resistivitas yang didapatkan pada pengolahan lintasan pertama memiliki nilai resistivitas dengan rentang 23,1 – 673 Ωm , berikut gambar penampang hasil inversi tanpa topografi menggunakan *software Res2dinv* terlihat pada gambar 4.1 sebagai berikut:



Gambar 4.1 Penampang hasil inversi tanpa topografi



Gambar 4.2 Penampang hasil inversi dengan topografi

Hasil penampang yang didapatkan kemudian diinterpretasikan nilai resistivitasnya seperti yang terlihat pada tabel berikut:

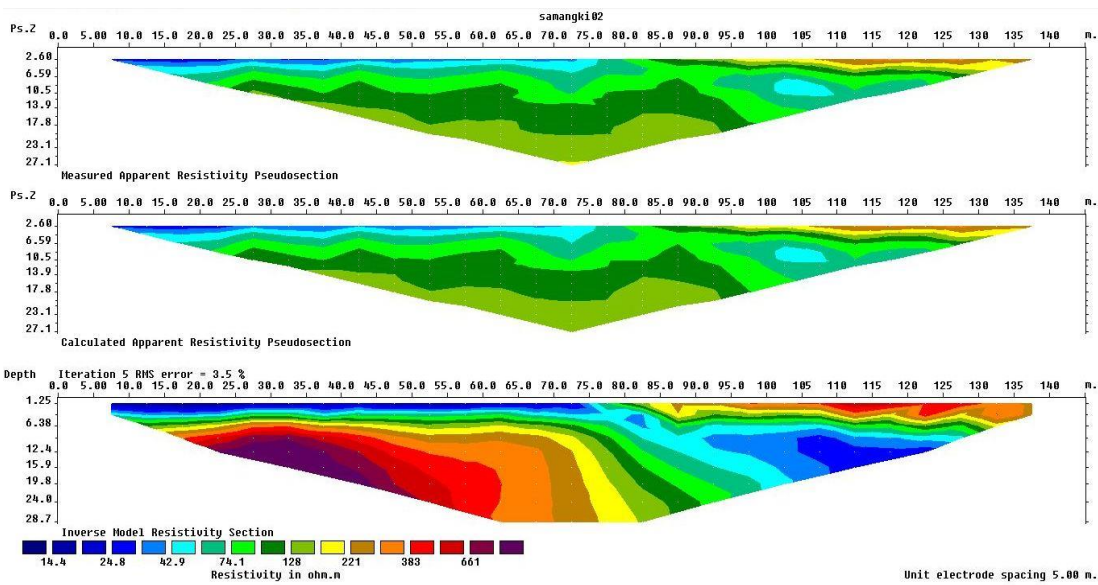
Tabel 4.1 Nilai resistivitas lintasan I (pertama)

No	Material	Nilai Resistivity (Ωm)	Kedalaman (m)	Jarak (m)	Warna
1	Aluvium jenuh air	23,1 - 159	1,25 – 9,0	0 - 55	Biru muda hingga biru tua
			1,25 – 6,38	60 – 145	
3	Batu gamping	416 – 673	12,4 – 28,7	20 – 120	Merah hingga ungu

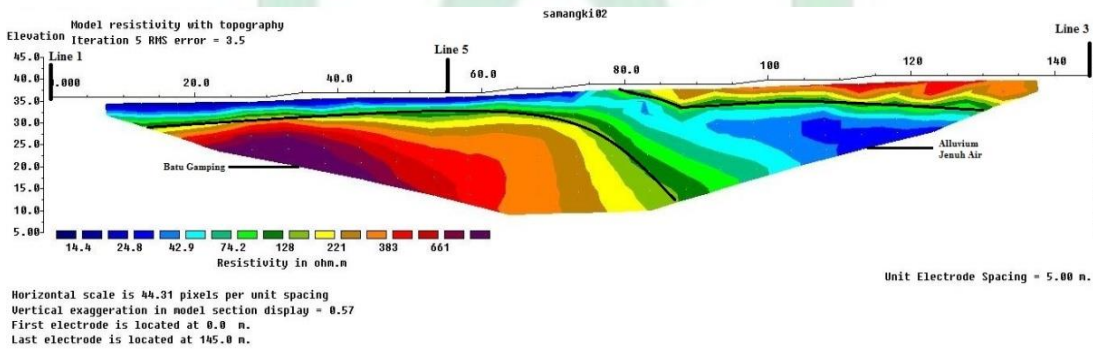
2. Lintasan II (kedua)

Lintasan II (kedua) terletak pada koordinat $5^{\circ}2'20.52''$ LS dan $119^{\circ}41'52.06''$ BT sampai dengan $5^{\circ}2'16.24''$ LS dan $119^{\circ}41'50.26''$ BT. Pengambilan data pada lintasan ini dimulai dari arah selatan menuju arah utara. Hasil inversi pengolahan data menunjukkan nilai resistivitas dengan rentang 14,4 – 661 Ωm ,

berikut gambar penampang hasil inversi tanpa topografi menggunakan *software Res2dinv* terlihat pada gambar 4.3 sebagai berikut:



Gambar 4.3 Penampang hasil inversi tanpa topografi



Gambar 4.4 Penampang hasil inversi dengan topografi

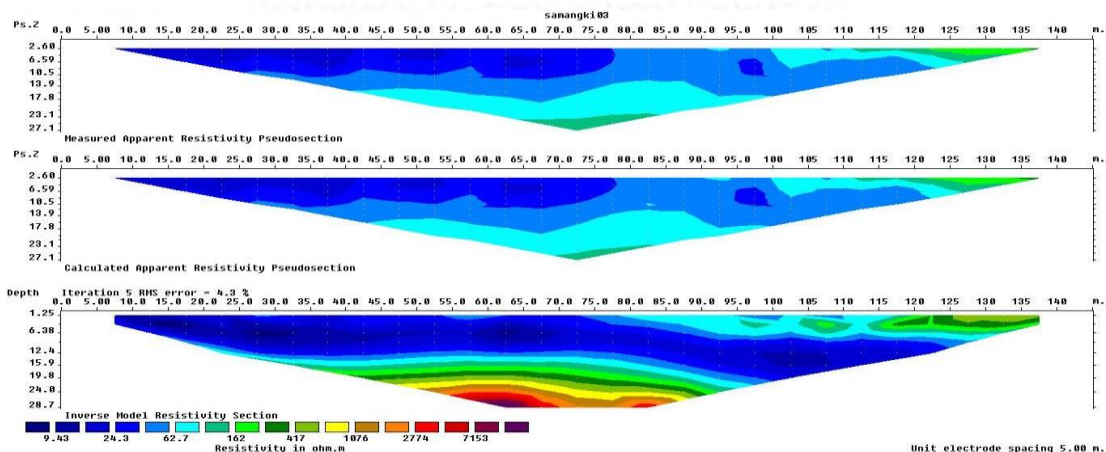
Hasil penampang diatas kemudian nilai resistivitas yang didapatkan diinterpretasikan seperti yang terlihat pada tabel berikut:

Tabel 4.2 Nilai resistivitas lintasan II (kedua)

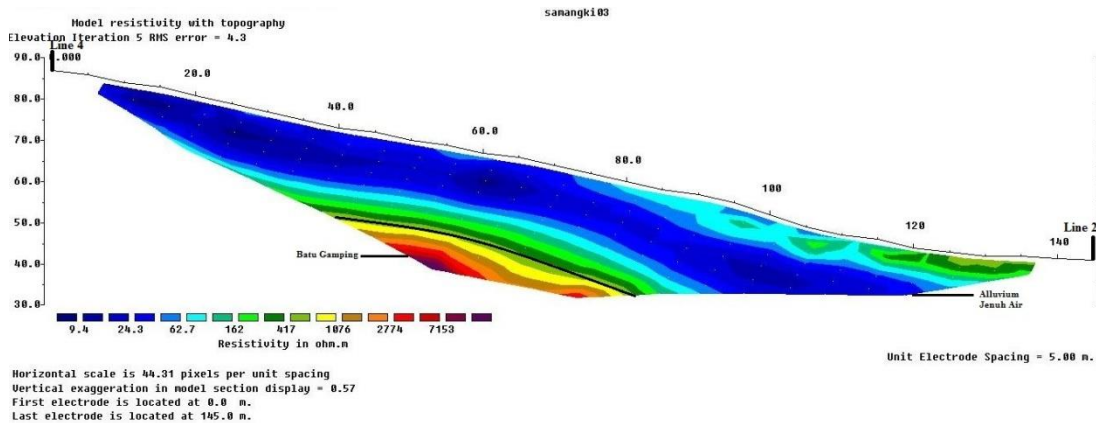
No	Material	Nilai Resistivity (Ωm)	Kedalaman (m)	Jarak (m)	Warna
1	Aluvium jenuh air	14,4 - 128	1,25 – 6,38	0 - 75	Warna biru tua hingga biru muda
			6,38 – 24,0	25 - 130	
2	Batu gamping	221 - 661	6,38 – 28,7	15 - 65	Merah hingga ungu
			1,25 – 6,38	85 - 140	

3. Lintasan III (ketiga)

Lintasan III (ketiga) terletak pada koordinat $5^{\circ}2'16.24''$ LS dan $119^{\circ}41'50.26''$ BT sampai dengan $5^{\circ}2'18.36''$ LS dan $119^{\circ}41'56.07''$ BT. Pengambilan data pada lintasan ini dimulai dari arah barat menuju arah timur. Hasil inversi pengolahan data menunjukkan nilai resistivitas dengan rentang $9,42 - 7153 \Omega\text{m}$, berikut gambar penampang hasil inversi tanpa topografi menggunakan *software Res2dinv* terlihat pada gambar 4.5 sebagai berikut:



Gambar 4.5 Penampang hasil inversi tanpa topografi



Gambar 4.6 Penampang hasil inversi dengan topografi

Nilai resistivitas yang didapatkan pada lintasan ini diinterpretasikan seperti yang terlihat pada tabel berikut:

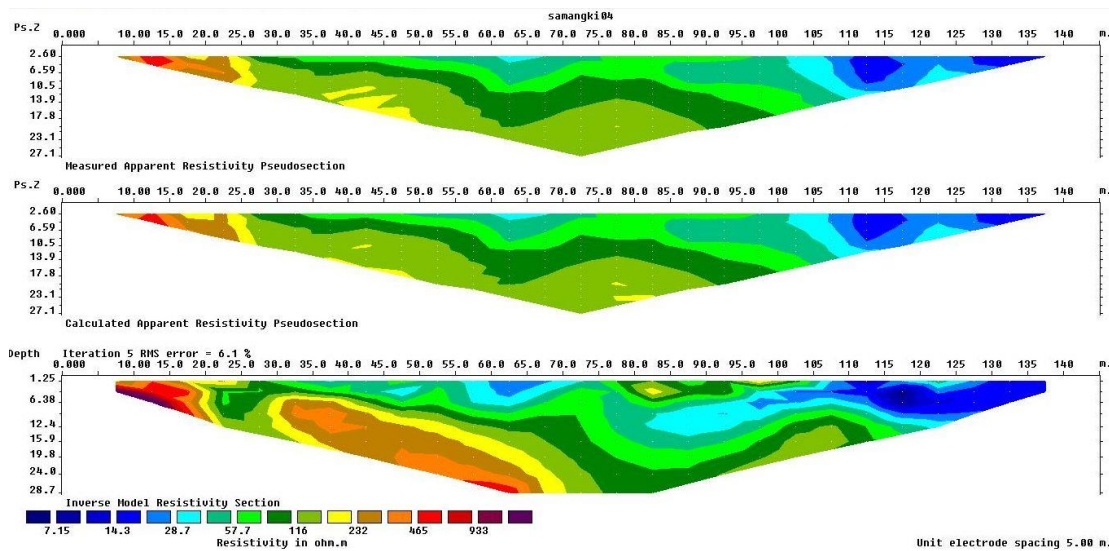
Tabel 4.3 Nilai resistivitas lintasan III (ketiga)

No	Material	Nilai Resistivity (Ωm)	Kedalaman (m)	Jarak (m)	Warna
1	Aluvium jenuh air	9,4 – 62,5	1,25 – 19,8	0 – 130	Warna biru tua hingga biru muda
2	Batu gamping	1039 – 7153	6,38 – 28,7	50 – 90	Merah hingga ungu

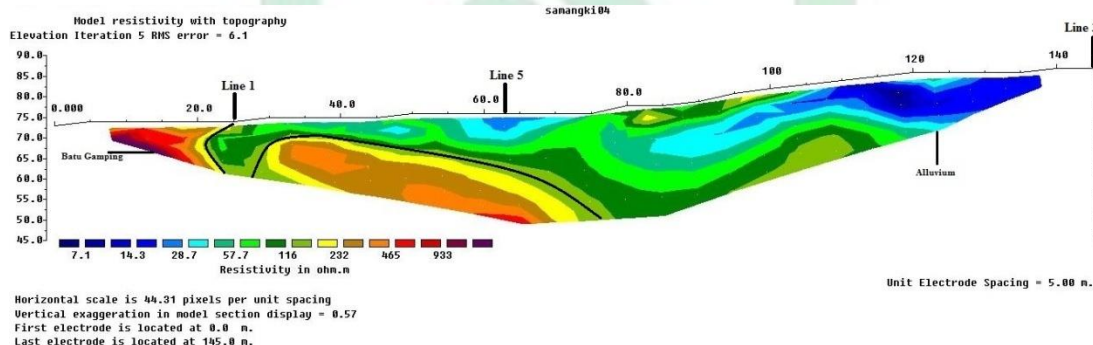
4, Lintasan IV (keempat)

Lintasan IV (keempat) terletak pada koordinat $5^{\circ}2'18.36''$ LS dan $119^{\circ}41'56.07''$ BT sampai dengan $5^{\circ}2'15.57''$ LS $119^{\circ}41'53.60''$ LS. Pengambilan data pada lintasan ini dimulai dari arah selatan menuju arah utara. Hasil inversi pengolahan data menunjukkan nilai resistivitas dengan rentang 7,15 – 933 Ωm ,

berikut gambar penampang hasil inversi tanpa topografi menggunakan *software Res2dinv* terlihat pada gambar 4.7 sebagai berikut:



Gambar 4.7 Penampang hasil inversi tanpa topografi



Gambar 4.8 Penampang hasil inversi dengan topografi

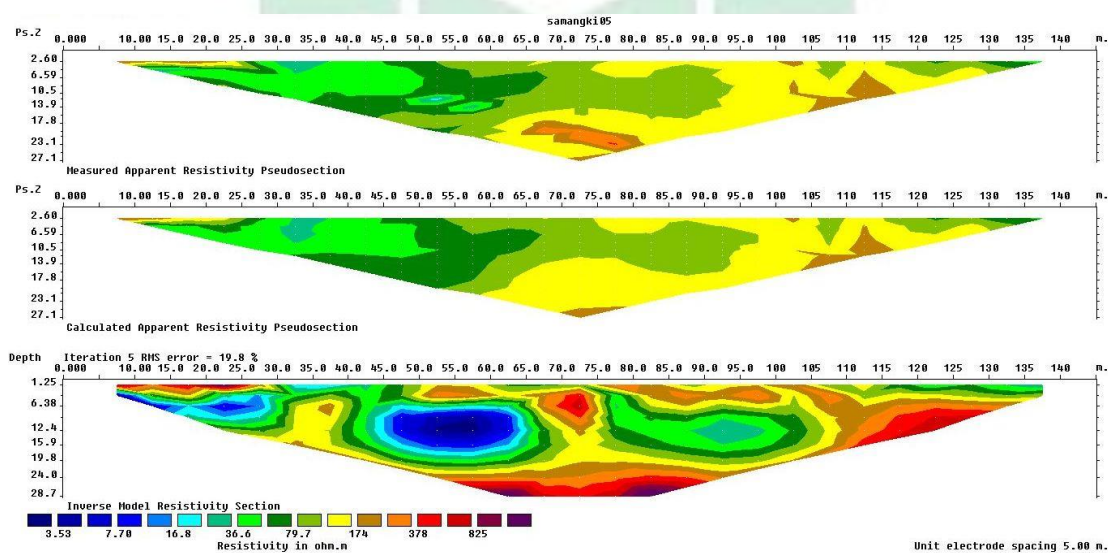
Pada lintasan keempat, Hasil penampang nilai resistivitas yang didapatkan diinterpretasikan seperti yang terlihat pada tabel berikut:

Tabel 4.4 Nilai resistivitas lintasan IV (keempat)

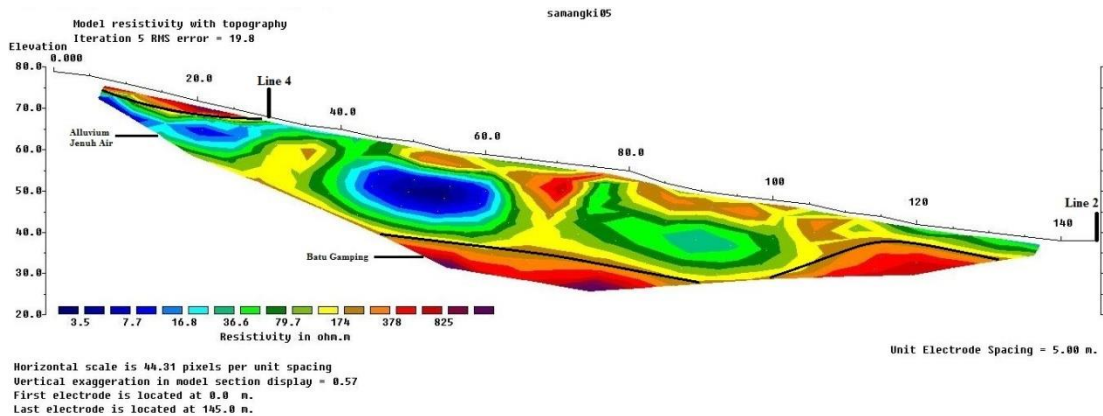
No	Material	Nilai Resistivity (Ωm)	Kedalaman (m)	Jarak (m)	Warna
1	Alluvium Jenuh Air	7,15 – 28,7	1,25 – 15,9	100 – 140	Warna biru tua hingga biru muda
2	Batu camping	392 – 933	1,25 – 12,4	0 – 20	Coklat hingga ungu

5. Lintasan V (Kelima)

Lintasan V (Lima) terletak pada koordinat $5^{\circ}2'17.60''$ LS dan $119^{\circ}41'50.94''$ BT sampai dengan $5^{\circ}2'16.77''$ LS dan $119^{\circ}41'55.58''$ BT. Pengambilan data pada lintasan ini dimulai dari arah barat menuju arah timur. Hasil inversi pengolahan data menunjukkan nilai resistivitas dengan rentang $5,02$ – $808 \Omega\text{m}$, berikut gambar penampang hasil inversi tanpa topografi menggunakan *software Res2dinv* terlihat pada gambar 4.9 sebagai berikut:



Gambar 4.9 Penampang hasil inversi tanpa topografi



Gambar 4.5.0 Penampang hasil inversi dengan topografi

Hasil penampang nilai resistivitas yang didapatkan diinterpretasikan menjadi tiga bagian seperti yang terlihat pada tabel berikut:

Tabel 4.5 Nilai resistivitas lintasan V (kelima)

No	Material	Nilai Resistivity (Ωm)	Kedalaman (m)	Jarak (m)	Warna
1	Aluvium jenuh air	3,5 – 21,4	3,0 – 9,0	7,5 – 30	Warna biru tua hingga biru muda
			6,38 – 15,9	45 – 65	
2	Batu gamping	391 – 825	24,0 – 28,7	55 – 90	Coklat hingga ungu
			6,38 – 15,9	110 – 140	

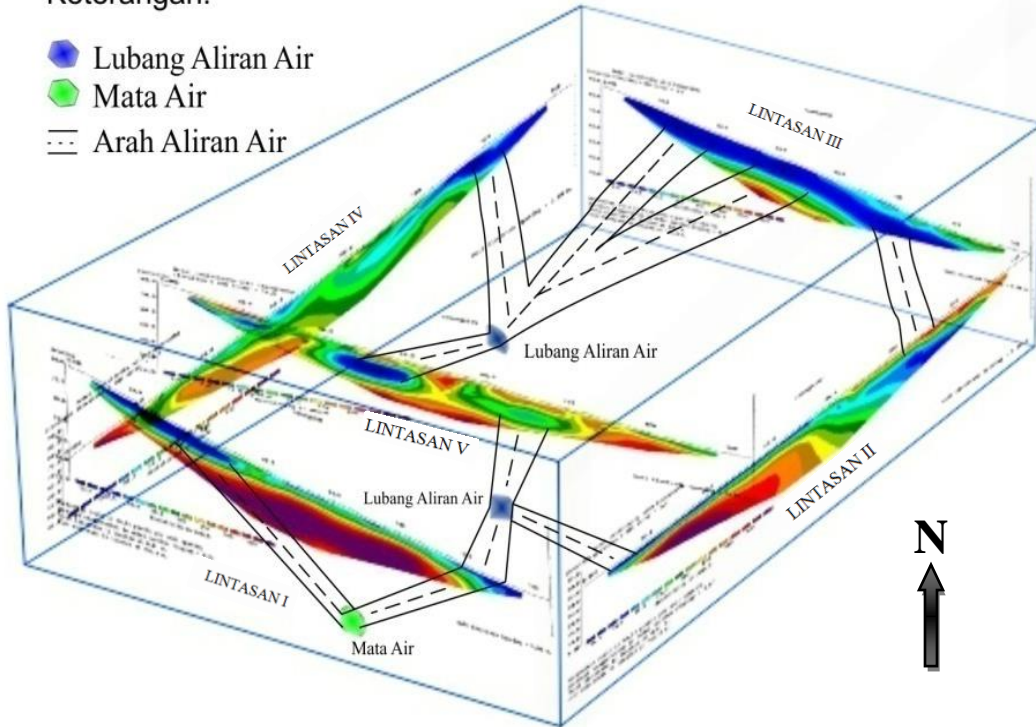
6. Lintasan Pengukuran 3D

Hasil penampang 2D kemudian diolah membentuk lintasan pengukuran

3D seperti pada gambar berikut ini:

Keterangan:

- Lubang Aliran Air
- Mata Air
- Arah Aliran Air



Gambar 4.5.1 Dugaan pola aliran sungai bawah tanah

Pendugaan pola aliran sungai bawah tanah yang dilakukan dengan berdasarkan pendugaan dari hasil dan penyesuaian nilai resistivitas yang didapatkan dengan titik acuan yang diduga sebagai lorong sungai bawah tanah yang berada pada lintasan 5 dan mata air yang berada dekat dengan lintasan pertama yang membentuk sungai permukaan dengan arah aliran sungainya mengalir menuju sungai induk yang berada jauh dari lintasan pengukuran tersebut sesuai hasil pengolahan data.

Dari gambar 4.5.1 nilai rentang resistivitas antara lintasan pertama dengan yang lain di pilih dengan rentang berkisar $3,5 - 825 \Omega\text{m}$. Berikut tabel dugaan pola

aliran sungai bawah tanah berdasarkan karakteristik dari nilai resistivitas yang didapatkan berikut ini:

Tabel 4.6 Dugaan keberadaan dan pola aliran sungai bawah tanah berdasarkan karakteristik dari nilai resistivitas dan struktur batuan tiap lintasan

Lintasan	Material	Nilai Resistivity (Ωm)	Jarak (m)	Jenis Pola Aliran
I	Alluvium Jenuh Air	23,1 – 159	0 – 55 dan 130 – 145	Bercabang atau Dendritik
II		14,4 – 128	0 – 20 dan 110 – 125	
III		9,4 – 62,5	20 – 40 , 60 – 75 dan 100 – 110	
IV		7,15 – 28,,7	120 – 130	
V		3,5 – 21,4	40 – 60 dan 80 - 90	

Pada hasil pengolahan data, hal ini dipilih karena memiliki kecenderungan pola kontur lorong, diduga sebagai batuan yang dapat mengalirkan air atau sebagai struktur penyusun sungai bawah tanah. Sungai bawah tanah diduga memiliki aliran yang berhubungan satu dengan yang lainnya. Hanya saja dari semua lintasan diduga aliran sungai bawah tanah ditemukan mengalir dalam sebuah rongga yang berbentuk lorong dan juga mengalir melalui celah-celah batuan hingga keluar sebagai mata air yang membentuk sungai permukaan. Pendugaan ini muncul berdasarkan pola aliran air yang mengalir dari tempat tinggi ketempat yang lebih rendah maka air bergerak melewati celah bebatuan maupun lorong-lorong bawah permukaan tanah yang saling

berhubungan yang dipengaruhi gaya gravitasi dan aliran nya bersifat turbulen (Hani,2009).

Metode geolistrik konfigurasi wenner-schlumberger pada penelitian ini dapat digunakan sebagai survey awal untuk menambah referensi untuk mencari sumber-sumber mata air melalui pengeboran yang dapat dimanfaatkan untuk kehidupan masyarakat sekitar dan melalui survey awal ini juga dapat menambah referensi kemungkinan letak atau posisi keberadaan akuifer sebagai tempat mengalirnya air pada daerah ini.

4.2 Pembahasan

Interpretasi data hasil pengukuran dapat dilakukan dengan melihat tabel nilai resistivitas batuan menurut M.H Loke (2004) dan Telford (1990) serta melihat dan mencocokkan dengan peta geologi regional wilayah penelitian yang berada pada Lembar Ujungpandang, Bantaeng dan Sinjai oleh Sukamto (1985). Berikut pembahasan hasil interpretasi tiap lintasan pengukuran daerah penelitian.

1. Lintasan I (Pertama)

Pada Lintasan pertama dengan panjang lintasan 150 m dari hasil pengolahan data dapat diinterpretasikan menjadi dua zona resistivitas yaitu zona resistivitas rendah dan zona resistivitas tinggi. Pada lintasan ini terdapat beberapa material yaitu material pertama yang diperkirakan merupakan Aluvium jenuh air dengan nilai resistivitas berkisar 23,1 - 159 Ωm . Material ini diperoleh pada jarak sampai 20 meter berada pada kedalaman $\pm 1,25 - 9,0$ m, kemudian diperoleh pula pada jarak 60 sampai 145 meter berada pada kedalaman $\pm 1,25 - 6,38$ m. Material Alluvium jenuh

air ini diperkirakan banyak memiliki kandungan air sehingga nilai resistivitas batuan yang diperoleh rendah.

Jenis material kedua yang diperkirakan merupakan batu gamping yang memiliki nilai resistivitas berkisar antara $416 - 673 \Omega\text{m}$. Material ini diperoleh pada jarak $20 - 120 \text{ m}$ dengan kedalaman $12,4 - 28,87 \text{ m}$ di bawah permukaan bumi.

Dari hasil pengolahan data yang dilakukan pada lintasan I (pertama), diindikasikan bahwa aliran sungai bawah tanah ditemukan pada material alluvium jenuh air yang berwarna biru tua hingga biru muda. Dari data yang diperoleh bahwa aliran sungai bawah tanah cenderung mengalir pada celah-celah batuan sehingga tidak membentuk sebuah rongga hal ini dikarenakan material alluvium dapat menyimpan dan meloloskan air (Todd, 1980). Sesuai dengan kondisi daerah penelitian bahwa material kedua yaitu batu gamping atau batu karbonat yang berada dibawah lapisan material alluvium. Batu karbonat atau batu gamping ini belum mengalami *kartstifikasi* sehingga tidak berpotensi sebagai akuifer yang baik. Aliran air yang mengalir pada material alluvium pada lintasan pertama tersebut bergerak dari arah selatan yaitu lintasan kelima dan ketiga melalui celah-celah batuan hingga memunculkan mata air pada sekitar lintasan pertama dan membentuk sungai permukaan yang masuk kembali kedalam bukit atau tebing *karst* yang tinggi dan mengalir dibawah permukaan *karst*.

Berdasarkan penelitian yang di lakukan oleh Sukamto (1985) yang terlihat pada peta geologi regional lembar Ujungpandang, Bantaeng dan Sinjai, daerah

penelitian berupa endapan Alluvium, Formasi tonasa dan Basalt. Formasi Tonasa yaitu Temt merupakan batuan gamping atau batu karbonat.

2. Lintasan II (Kedua)

Lintasan II (kedua) dengan panjang lintasan 150 m dari hasil pengolahan data dapat diinterpretasikan juga menjadi dua zona resistivitas yaitu zona resistivitas rendah dan zona resistivitas tinggi. Pada lintasan ini terdapat beberapa material yaitu material pertama yang diindikasikan juga merupakan Aluvium jenuh air dengan nilai resistivitas berkisar $14,4 - 128 \Omega\text{m}$. Material ini diperoleh pada jarak 0 sampai 75 meter berada pada kedalaman $\pm 1,25 - 6,38$ m, kemudian diperoleh pula pada jarak 85 sampai 130 meter berada pada kedalaman $\pm 6,38 - 24,0$ m. Material Alluvium jenuh air ini diperkirakan banyak memiliki kandungan air sehingga nilai resistivitas batuan yang diperoleh rendah.

Material kedua yang diperkirakan merupakan batu gamping yang memiliki nilai resistivitas berkisar antara $221 - 661 \Omega\text{m}$. Material ini diperoleh pada jarak 15 – 65 m dengan kedalaman $6,38 - 28,7$ m dan ditemukan pula pada jarak 85 – 140 m di bawah permukaan tanah dengan kedalaman $1,25 - 6,38$ m. Dari hasil pengolahan data yang dilakukan pada lintasan II (kedua), diindikasikan bahwa aliran sungai bawah tanah juga ditemukan pada material alluvium jenuh air. Aliran air bawah permukaan tanah bergerak melalui celah-celah batuan penyusun material alluvium. Material kedua yaitu Batu karbonat atau batu gamping ini belum mengalami *kartstifikasi* sehingga tidak berpotensi sebagai akuifer yang baik. Aliran air yang mengalir pada material alluvium pada lintasan pertama tersebut bergerak dari arah

selatan menuju arah barat yaitu lintasan ketiga dan juga bergerak dari arah barat yaitu lintasan kelima menuju lintasan kedua melalui celah-celah batuan. Jika dilihat dari daerah sekitar lintasan kedua yang berpotongan atau berhubungan dengan lintasan kelima sungai mengalir melalui rongga yang cukup besar di bawah permukaan tanah kemudian mengalir mengalir ke lintasan kedua melalui celah-celah material alluvium hingga terhubung ke lintasan pertama dan memunculkan mata air.

3. Lintasan III (Ketiga)

Hasil pengolahan data Lintasan III (ketiga) dengan panjang lintasan 150 m dapat diinterpretasikan menjadi 2 material penyusun. Pada lintasan ini terdapat beberapa material yaitu material pertama yang diindikasikan juga merupakan Aluvium jenuh air dengan nilai resistivitas berkisar $9,59 - 62,5 \Omega\text{m}$. Material ini diperoleh pada jarak 0 sampai 130 meter berada pada kedalaman $\pm 1,25 - 19,8 \text{ m}$, Material Alluvium jenuh air ini diperkirakan banyak memiliki kandungan air sehingga nilai resistivitas batuan yang diperoleh rendah.

Material kedua yang diperkirakan merupakan Batu gamping yang memiliki nilai resistivitas berkisar antara $1039 - 6765 \Omega\text{m}$. Material ini diperoleh pada jarak $50 - 90 \text{ m}$ dengan kedalaman $6,38 - 28,7 \text{ m}$ di bawah permukaan tanah. Dari hasil pengolahan data yang dilakukan pada lintasan III (ketiga), diindikasikan bahwa aliran sungai bawah tanah juga ditemukan pada material alluvium jenuh air. Aliran air bawah permukaan tanah bergerak melalui celah-celah batuan penyusun material alluvium. Material kedua yaitu Batu gamping, material ini memiliki karakteristik mudah larut. Aliran air yang mengalir pada material alluvium pada lintasan ketiga

tersebut bergerak dari arah selatan yaitu dari dalam bukit *karst* yang diduga berasal dari gua dan sungai permukaan menuju arah utara yaitu lintasan kelima dan juga bergerak dari arah barat yaitu lintasan kelima menuju lintasan kedua melalui celah-celah batuan. Jika dilihat dari daerah sekitar lintasan ketiga yang berpotongan atau berhubungan dengan lintasan kedua dan keempat sungai mengalir melalui celah-celah batuan di bawah permukaan tanah.

4. Lintasan IV (Keempat)

Hasil pengolahan data Lintasan IV (Keempat) dengan panjang lintasan 150 m dapat diinterpretasikan menjadi 2 material penyusun. Pada lintasan dengan zona resistivitas rendah ini terdapat beberapa material yang diindikasikan juga merupakan Aluvium jenuh air dengan nilai resistivitas berkisar $7,15 - 28,7 \Omega\text{m}$. Material ini diperoleh pada jarak 100 sampai 140 meter berada pada kedalaman $\pm 1,25 - 15,9 \text{ m}$ yang ditandai dengan warna biru tua hingga biru muda. Hanya saja, pada Material ini diperkirakan tidak memiliki banyak kandungan air dikarenakan kondisi topografi dan titik lintasan yang diukur lebih tinggi dibandingkan lintasan lain.

Material kedua yang diperkirakan merupakan batu gamping yang memiliki nilai resistivitas berkisar $392 - 933 \Omega\text{m}$. Material ini diperoleh pada jarak $0 - 20 \text{ m}$ dengan kedalaman $1,25 - 12,4 \text{ m}$ di bawah permukaan tanah. Dari hasil pengolahan data yang dilakukan pada lintasan IV (keempat), diindikasikan bahwa aliran sungai bawah tanah juga ditemukan pada material alluvium jenuh air. Aliran air bawah permukaan tanah bergerak melalui celah-celah batuan penyusun material alluvium. Material kedua yaitu Batu gamping, material ini memiliki karakteristik mudah larut.

Aliran air yang mengalir pada material alluvium pada lintasan keempat tersebut bergerak dari arah selatan yaitu dari dalam bukit *karst* yang diduga berasal dari gua dan sungai permukaan menuju arah utara yaitu lintasan kelima dan juga bergerak dari arah barat yaitu lintasan kedua melalui celah-celah batuan. Jika dilihat dari daerah sekitar lintasan kempat yang berhubungan dengan lintasan ketiga dan berpotongan dengan lintaan kelima dan pertama. Air mengalir melalui celah-celah batuan di bawah permukaan tanah.

5. Lintasan V (Kelima)

Lintasan V (Kelima) merupakan lintasan yang menjadi titik acuan dalam pengukuran ini. Di bawah lintasan ini memiliki daerah yang berongga dan terdengar sangat jelas air mengalir melalui rongga bawah permukaan tanah dengan debit yang sedang. Pada lintasan ini, hasil pengolahan data diinterpretasikan menjadi dua zona resistivitas rendah dan resistivitas tinggi untuk karena sebagai titik acuan sehingga dari keseluruhan pengampang lintasan dengan topografi telah disesuaikan nilai resistivitasnya sehingga mudah untuk mencocokkan struktur batuan dan daerah yang berpotensi sebagai jalur sungai bawah tanah. Pada lintasan ini ditemukan pada nilai resistivitas $5,02 - 21,4 \Omega\text{m}$ pada jarak $7,5 - 30$ m dengan kedalaman $3,0 - 9,0$ m yang ditandai dengan warna biru muda hingga biru tua kemudian ditemukan pula pada jarak $45 - 65$ meter dengan kedalaman $6,38 - 15,9$ yang diindikasikan sebagai rongga yang memiliki aliran air dibawah permukaan tanah yang berada pada material alluvium jenuh air.

Material kedua yaitu batu gamping yang ditemukan pada nilai resistivitas hasil pengolahan dengan rentang 391 – 808 Ωm dengan kedalaman berkisar 24,0 – 28,7 m dengan jarak 55-90 m dibawah permukaan tanah. Batu gamping ini juga ditemukan pada jarak 110 – 140 m dengan kedalaman 6,38 – 15,9 m. Sungai bawah tanah bergerak melalui material alluvium jenuh air dikarenakan adanya lubang seperti sumur yang terbentuk secara alami membentuk gua yang memiliki rongga yang tidak terlalu besar kemudian mengalir sampai kelintasan pertama melalui rongga dan celah batuan hingga memunculkan mata air disekitar lintasan pertama.

6. Lintasan Pengukuran 3D

Hasil penggabungan penampang lintasan 2D yang membentuk Lintasan Pengukuran 3D menghasilkan pola aliran yang diduga aliran sungai bawah bawah tanah yang mengalir melalui celah dan lorong batuan *karst* dibawah permukaan tanah. Terlihat dengan jelas bahwa pada lintasan V (kelima) menampakkan bentuk lorong dibawah permukaan tanah yang diindikasikan sebagai jalannya aliran air yang diperkuat dengan adanya atau banyaknya lubang aliran air yang terhubung secara langsung dari sumber atau titik lubang tertinggi.

Dari hasil penggabungan penampang 2D yang membentuk lintasan pengukuran 3D menghasilkan pola aliran sungai bawah tanah yang diduga membentuk pola *dendritik* yang memiliki karakteristik pola aliran bercabang dan kemiringan landai pada perlapisan batuan yang relatif datar sesuai dengan teori yang ada (Van Zuidam, 1985). Dari hasil pendugaan pola aliran tersebut diketahui pula bahwa struktur batuan yang didapatkan yaitu Alluvium jenuh air dan batu gamping.

Sungai bawah tanah ini diindikasikan terbentuk oleh adanya air hujan yang masuk ke celah batuan *karst* dan juga berasal dari aliran sungai permukaan yang masuk kedalam *karst* atau sebuah gua yang terbentuk secara alami sehingga secara umum batas daerah aliran sungai (DAS) untuk permukaan dan bawah permukaan tidak sama dikarenakan aliran sungai bawah tanah berasal dari 2 sumber yang kemudian mengalir dengan debit air yang cukup besar diakibatkan topografi yang landai (Jankowski, 2001).

Sungai bawah tanah ini terlihat memiliki debit air yang cukup dan dapat dimanfaatkan oleh masyarakat sekitar. Seiring perubahan iklim, sistem sungai bawah tanah ini yang mengalir di dalam suatu rongga maupun celah batuan. Semakin besar curah hujan yang terjadi, maka akan semakin besar debit atau volume air yang terjadi. Air yang masuk melalui poros mengalir di bawah permukaan tanah dengan sifat laminar atau paralel.

BAB V

PENUTUP

5.1 Kesimpulan

Berdasarkan hasil pengolahan dan interpretasi data hasil pengukuran di Dusun Samanggi Desa Samangki Kecamatan Simbang dapat disimpulkan bahwa dalam interpretasi data model penampang 2D dan lintasan pengukuran 3D dengan mencocokkan nilai resistivitasnya diduga pola aliran sungai bawah tanah tersebut bersumber dari gua yang memiliki arah membentuk percabangan dan keluar sebagai mata air. Pola aliran sungai bawah tanah yang diindikasikan berbentuk pola *dendritik* atau percabangan yang diduga sebagai arah aliran sungai bawah tanah. Dari interpretasi data tersebut, struktur material yang ditemukan yakni aluvium jenuh air dan batu gamping. Aliran sungai bawah tanah ini bersumber dari gua yang berada sebelah selatan dari titik pengukuran yang bergerak melalui lorong atau celah batuan di bawah permukaan tanah.

5.2 Saran

Pada hasil penelitian ini memiliki sedikit keterbatasan dikarenakan banyaknya hambatan yang terjadi pada saat pengambilan data di lapangan. Maka dari itu sebaiknya perlu dilakukan pengambilan data dengan panjang lintasan yang lebih panjang agar diperoleh kedalaman yang cakupannya lebih luas dan sebaiknya dilakukan pengukuran debit air dan kandungan air untuk mengetahui volume air serta layak tidaknya dikonsumsi oleh masyarakat sekitar yang ada pada daerah yang diteliti agar dapat dimanfaatkan meskipun secara kecil yakni sebagai pembangkit listrik tenaga mikrohidro.

DAFTAR PUSTAKA

- Adji,T,N,dkk. 1999. *Kawasan Karst dan Prospek Pengembangannya di Indonesia*, Jakarta: Prosiding Seminar PIT IGI Universitas Indonesia.
- Anonim.2001.<http://www.eccentrix.com/members/hydrogeologie/hidrogeol/karst.gif> (diakses pada tanggal 21 Desember 2017).
- Antonius,Mediyanto. 2001. *Perencanaan Sumur Resapan Air Hujan di Kawedanan Karang pandan Daerah Tingkat II Kabupaten Karanganyar*. Surakarta: Pusat Penelitian Lingkungan Hidup Lembaga Penelitian Universitas Sebelas Maret.
- Acworth,RI. 2001. *Electrical Methods in Groundwater Studies, Short Course Note, School of Civil and Environmental Engineering*. Australia: University of New South Wales Sydney.
- Asdak,Chay. 2002. *Hidrologi dan Pengolahan Daerah Aliran Sungai*. Yogyakarta: Gadjah Mada Univesity Press.
- Departemen Agama RI. 2010. *Al-Qur'an Tajwid dan Terjemahnya*, Bandung: Syamiil Quran.
- Dimas,dkk. 2014. *Identifikasi Pola Aliran Sungai Bawah Tanah di Mudal, Gerbangharjo, Pracimantoro dengan metode geolistrik konfigurasi Wenner-Schlumberger*. Surakarta: Universitas Sebelas Maret.
- Domenico,P.A and Schwartz, F.W. 1990. *Physical and Chemical Hydrogeology*. 2nd Ed. John Wiley & Sons.
- Ford, and William,P.W. 1992. *Karst Geomorphology and Hydrology*. London: Champman and Hall.
- Fransiskha,W,dkk. 2012. *Analisa Resistivitas Batuan dengan Menggunakan Parameter Dar Zarrouk dan Konsep Anisotropi*. Surabaya: ITB.
- Hakim,dkk. 2016. *Aplikasi Konfigurasi Wenner Dalam Menganalisis Jenis Material Bawah Permukaan The Aplication Of Wenner Configuration Toward Analysing Subsurface Material Kind*. Jurnal Ilmiah Pendidikan Fisika 'Al-BiRuNi' 05 (1) : h. 95-103.
- Hani. 2009. *Analisis Pendugaan Potensi Akifer Dengan Metode Geolistrik Resistivitas Sounding Dan Mapping Di Kawasan Karst Kecamatan Giritontro Kabupaten Wonogiri*. [Thesis]. UNS.
- Haryono E. 2001. *Nilai Hidrologi Bukit Karst*. Yogyakarta : Jurusan Teknik Sipil UGM.
- Haryono E and adjji, TN. 2004. *Pengantar Geomorfologi dan hidrologi Karst*. Yogyakarta: Kelompok Studi Karst fakultas geografi UGM.

- Howard, A.D. 1967. *Drainage Analysis in Geologic Interpretation*. a Summation, AAPG bulletin, V 51, no.11.
- IbnuKatsir, 2004. *Tafsir Ibnu Katsir*. Bogor: Pustaka Imam Asy-syafi'i.
- Jankowski, 2001. *Hydrogeochemistry*. Australia: Short Course Note, School of Geology, University Of New South Wales, Sydney.
- Kearey,P. 2002, *An introduction too Geophysical Exploration*, Blackwell
- Khoirun,dkk. 2014. *Aplikasi Metode Geolistrik Tahanan Jenis Untuk Menentukan Zona Intrusi Air Laut Di Kecamatan Genuk Semarang*. Prodi Ilmu Kelautan Fakultas Perikanan dan Ilmu Kelautan Universitas Di ponegoro Vol 15, No. 1 : h.7- 14.
- Linsley,R.K,dkk. 1975. *Hydrology for Engineers 2nd* Ed. McGraw Hill Kogakusha Ltd. Tokyo, Japan.
- Loke,M.H. 2004. *Elekctrical ImagingSurveys for Environmental and Engineering Studies; A Pratical Guide to 2-D and 3-D Surveys*, Penang Malaysia.
- M. Quraish Shihab,2002.*Tafsir Al-Misbah*. Jakarta: Lentara Hati.
- Noor Djauhari,2009.*Pengantar Geologi*. Yogyakarta: GrahaIlmu.
- Ray. L.K.J.R. dkk,1989.*Hidrologi Untuk insinyur3^{ed}*. Erlangga.
- Setiawan, Susanto T. 2010. *Penerapan Metode Geolistrik Resistivitas Konfigurasi Wenner, Wenner-Schlumberger, dan Dipole-Dipole Untuk Menentukan Pola Lapisan Bawah Permukaan [Skripsi]*. Jember: Universitas Jember.
- Sugito. 2010. *Investigasi Bidang Gelincir Tanah Longsor Menggunakan Metode Geolistrik Tahanan Jenis di Desa Kebarongan Kec. Kemranjen Kab. Banyumas*. Berkala Fisika Vol. 13 , No. 2: h.49-54.
- Sukamto. 1982. *Peta Geologi Lembar Pangkajene dan Watampone Bagian Barat Sulawesi*. Bandung: Pusat Penelitian dan Pengembangan Geologi.
- Todd, D,K. 1980. *Groundwater Hydrology*.New Work: John Willey & Sons.
- Telford, W.M.dkk. 1976. *Applied Geophysics 1nd ed*, Cambridge University Pres, Cambridge.
- Telford, M. W., L. P. dkk. 1990. *Applied Geophysics*. London: Cambridge University Press.
- Van Zuidam, R. A, 1985. *Aerial Photo-Interpretation in Terrain Analysis and Geomorphologic Mapping*. Smith Publisher. The Hague, ITC.
- White, W.B., 1988. *Geomorphology and Hydrology of Karst Terrain*. New York: Oxford University Press.

LAMPIRAN I
DATA HASIL PENELITIAN

DATA HASIL PENGUKURAN LAPANGAN

1. Lintasan I (Pertama)

A(C1)	B(C2)	M(P1)	N(P2)	Stacking	K	I(mA)	V(mV)	R(Ohm)	R0	SP	R0_RD
27	30	28	29	2	31.4159	296.0334	364.9605	1.232836	38.73112	-2.98364	0.63%
26	29	27	28	2	31.4159	249.4072	316.7211	1.269896	39.89337	-604.904	0.40%
25	30	27	28	2	94.2478	187.1368	123.2527	0.658624	62.07377	-492.602	0.34%
25	28	26	27	2	31.4159	162.4571	253.8046	1.562287	49.08064	68.83109	0.21%
24	29	26	27	2	94.2478	150.6909	103.1803	0.684715	64.53246	80.58786	0.15%
23	30	26	27	2	188.4955	213.6666	94.74625	0.44343	83.58447	85.88653	0.38%
24	27	25	26	2	31.4159	142.3657	256.5013	1.801707	56.60124	-61.2756	0.83%
23	28	25	26	2	94.2478	181.6754	149.6427	0.823681	77.62985	-48.2661	0.43%
22	29	25	26	2	188.4955	206.9952	112.15	0.5418	102.1269	-39.4956	0.77%
21	30	25	26	2	314.1592	163.4071	67.30286	0.411872	129.3933	-32.983	0.24%
23	26	24	25	2	31.4159	177.6259	366.6621	2.064238	64.84966	-30.7374	0.47%
22	27	24	25	2	94.2478	192.8242	190.0444	0.985583	92.88783	-19.5002	0.81%
21	28	24	25	2	188.4955	143.9144	93.19322	0.64756	122.0617	-8.49804	0.52%
20	29	24	25	2	314.1592	138.4801	62.12835	0.448645	140.9426	-3.13154	0.55%
19	30	24	25	2	471.2389	169.8054	61.67366	0.363202	171.1544	1.357075	0.45%
22	25	23	24	2	31.4159	141.1514	351.2977	2.4888	78.18755	-99.4312	0.46%
21	26	23	24	2	94.2478	141.3258	168.0219	1.188898	112.0501	-94.9969	0.83%
20	27	23	24	2	188.4955	131.1892	96.69357	0.737055	138.9307	-91.5077	0.86%
19	28	23	24	2	314.1592	148.9171	83.2663	0.559145	175.6594	-88.7277	0.63%
18	29	23	24	2	471.2389	243.8644	103.3566	0.423828	199.7215	-86.3979	0.62%
17	30	22	25	2	209.4395	268.6902	274.9175	1.023177	214.2928	-181.687	0.53%
21	24	22	23	2	31.4159	103.9008	257.8721	2.481907	77.97104	-25.777	0.39%

20	25	22	23	2	94.2478	104.9337	115.0974	1.096859	103.3762	-20.8338	0.33%
19	26	22	23	2	188.4955	145.878	111.0105	0.760982	143.4407	-16.9916	0.67%
18	27	22	23	2	314.1592	222.4179	123.3386	0.554535	174.2133	-12.7819	0.98%
17	28	22	23	2	471.2389	219.2065	92.62917	0.422566	199.1279	-10.6215	0.64%
16	29	21	24	2	209.4395	165.6325	173.3523	1.046608	219.1994	-211.372	0.38%
15	30	21	24	2	282.7433	167.1554	143.4376	0.858109	242.6242	-201.1	0.36%
20	23	21	22	2	31.4159	113.4473	279.0837	2.460029	77.28362	-38.6717	0.42%
19	24	21	22	2	94.2478	106.2401	129.4787	1.218737	114.8631	-36.9753	0.21%
18	25	21	22	2	188.4955	156.082	120.167	0.769897	145.1219	-35.6154	0.13%
17	26	21	22	2	314.1592	212.2419	115.4846	0.544118	170.9386	-34.5598	0.53%
16	27	21	22	2	471.2389	154.7818	66.01505	0.426504	200.9849	-33.6814	0.63%
15	28	20	23	2	209.4395	146.8363	158.9759	1.082675	226.7528	-249.962	0.75%
14	29	20	23	2	282.7433	133.3426	117.9939	0.884893	250.194	-235.374	0.62%
13	30	20	23	2	366.5192	161.7219	117.9289	0.729208	267.2669	-223.778	0.56%
19	22	20	21	2	31.4159	132.1955	414.0265	3.131926	98.39179	-123.357	0.54%
18	23	20	21	2	94.2478	175.2543	261.8626	1.494187	140.8231	-119.615	0.38%
17	24	20	21	2	188.4955	137.3832	120.7647	0.879036	165.6939	-116.149	0.23%
16	25	20	21	2	314.1592	119.032	74.69811	0.627547	197.1485	-113.033	0.52%
15	26	20	21	2	471.2389	143.6826	68.22723	0.474847	223.765	-110.315	0.50%
14	27	19	22	2	209.4395	127.4981	126.7782	0.994354	208.253	-292.603	0.58%
13	28	19	22	2	282.7433	146.2097	116.3849	0.796014	225.0672	-112.122	0.52%
12	29	19	22	2	366.5192	101.4414	61.96358	0.610831	223.8816	-113.292	0.58%
11	30	19	22	2	460.7669	171.0935	83.58141	0.488513	225.0905	-259.611	0.30%
18	21	19	20	2	31.4159	141.4938	331.9644	2.34614	73.70606	-51.6226	0.15%
17	22	19	20	2	94.2478	183.7021	192.5837	1.048348	98.80389	-49.614	0.52%
16	23	19	20	2	188.4955	129.9683	85.28043	0.656163	123.6831	-47.9627	0.62%

15	24	19	20	2	314.1592	105.1626	45.7956	0.435474	136.8082	-46.2588	0.01%
14	25	19	20	2	471.2389	102	33.75073	0.33089	155.9271	-45.4446	0.41%
13	26	18	21	2	209.4395	142.363	141.7845	0.995937	208.5872	-49.3377	0.51%
12	27	18	21	2	282.7433	100.236	73.81453	0.736407	208.22	-196.112	0.77%
11	28	18	21	2	366.5192	149.6585	86.76846	0.579776	212.4984	-189.902	0.51%
10	29	18	21	2	460.7669	154.1499	74.95049	0.486218	224.0329	-184.876	0.10%
9	30	18	21	2	565.4865	106.9873	46.49329	0.434568	245.7412	-180.713	0.64%
17	20	18	19	2	31.4159	128.0872	379.9448	2.966299	93.18858	0.18551	0.42%
16	21	18	19	2	94.2478	110.0785	159.4713	1.448706	136.5368	0.48426	0.47%
15	22	18	19	2	188.4955	129.8173	116.8024	0.899744	169.5973	0.814583	0.23%
14	23	18	19	2	314.1592	110.0907	68.76039	0.62458	196.2159	1.019198	0.68%
13	24	18	19	2	471.2389	101.9037	45.44765	0.445986	210.1638	1.117664	0.40%
12	25	17	20	2	209.4395	82.87064	71.73852	0.865669	181.3071	-200.64	0.42%
11	26	17	20	2	282.7433	145.7305	96.78966	0.664169	187.789	-186.025	0.56%
10	27	17	20	2	366.5192	144.5686	79.68114	0.551165	202.0116	-173.988	0.64%
9	28	17	20	2	460.7669	98.46993	47.49675	0.482348	222.2482	-163.85	0.65%
8	29	17	20	2	565.4865	121.5782	51.81157	0.426159	240.9884	-155.083	0.38%
7	30	16	21	2	395.8407	92.49076	61.16867	0.661349	261.7882	-145.383	0.32%
16	19	17	18	2	31.4159	113.7057	332.5626	2.924767	91.88365	-19.7828	0.58%
15	20	17	18	2	94.2478	99.33572	142.0932	1.430434	134.8151	-16.0104	0.13%
14	21	17	18	2	188.4955	95.24003	87.38915	0.917567	172.9559	-12.4627	0.60%
13	22	17	18	2	314.1592	125.0003	79.54044	0.636322	199.9032	-9.27377	0.68%
12	23	17	18	2	471.2389	88.14324	37.0122	0.41991	197.8786	-5.97983	0.98%
11	24	16	19	2	209.4395	105.7551	90.68037	0.857456	179.5843	-75.8722	0.28%
10	25	16	19	2	282.7433	112.9413	77.00179	0.681786	192.769	-53.7188	0.72%
9	26	16	19	2	366.5192	97.0864	56.29567	0.579851	212.5249	-43.0406	0.64%

8	27	16	19	2	460.7669	123.4553	62.36173	0.505136	232.7491	-34.1468	0.56%
7	28	16	19	2	565.4865	85.99704	38.87559	0.452057	255.6317	-26.4737	0.31%
6	29	15	20	2	395.8407	88.2429	57.78575	0.654849	259.2141	-119.132	0.44%
5	30	15	20	2	471.2389	178.3242	105.2561	0.590251	278.149	-207.538	0.22%
15	18	16	17	2	31.4159	144.8244	354.8469	2.450186	76.97449	23.15841	0.37%
14	19	16	17	2	94.2478	97.91064	113.6812	1.161071	109.4267	24.63033	0.51%
13	20	16	17	2	188.4955	96.35378	75.56847	0.784281	147.8332	26.01321	0.12%
12	21	16	17	2	314.1592	78.41517	39.32776	0.501533	157.563	27.21326	0.65%
11	22	16	17	2	471.2389	130.9633	45.97219	0.351031	165.4187	28.33405	0.44%
10	23	15	18	2	209.4395	122.9014	109.7132	0.892693	186.9639	-164.311	0.62%
9	24	15	18	2	282.7433	77.8745	54.69728	0.702377	198.5918	-146.483	0.31%
8	25	15	18	2	366.5192	99.60445	58.70491	0.58938	216.0181	-137.526	0.50%
7	26	15	18	2	460.7669	84.89843	43.65325	0.514182	236.9169	-129.866	0.51%
6	27	15	18	2	565.4865	88.03503	40.33715	0.458194	259.101	-123.199	0.72%
5	28	14	19	2	395.8407	155.2519	105.5506	0.679867	269.1171	-88.3125	0.63%
4	29	14	19	2	471.2389	205.6902	127.1299	0.618065	291.259	-10.5171	0.60%
3	30	14	19	2	552.9205	216.5193	122.5491	0.565996	312.95	-72.9499	0.20%
14	17	15	16	2	31.4159	125.5145	340.045	2.709208	85.11102	-136.484	0.83%
13	18	15	16	2	94.2478	139.6096	187.1085	1.340226	126.3112	-134.932	0.78%
12	19	15	16	2	188.4955	80.37806	63.13413	0.785465	148.0595	-133.295	0.85%
11	20	15	16	2	314.1592	99.76208	56.15872	0.562927	176.8483	-131.781	0.17%
10	21	15	16	2	471.2389	104.7224	43.26123	0.413104	194.6693	-130.452	0.51%
9	22	14	17	2	209.4395	90.55651	82.76012	0.913906	191.407	-190.076	0.40%
8	23	14	17	2	282.7433	107.2896	77.41034	0.721508	204.0006	-175.551	0.59%
7	24	14	17	2	366.5192	69.81009	41.37325	0.592654	217.2181	-163.51	0.42%
6	25	14	17	2	460.7669	75.15244	38.5017	0.512315	236.056	-153.289	0.66%

5	26	14	17	2	565.4865	151.4893	66.96182	0.442024	249.9565	-144.465	0.67%
4	27	13	18	2	395.8407	194.1456	133.5708	0.687993	272.334	-202.015	0.72%
3	28	13	18	2	471.2389	183.0581	113.7879	0.621594	292.9188	-194.718	0.78%
2	29	13	18	2	552.9205	162.2028	88.94576	0.548362	303.2002	-278.559	0.05%
1	30	13	18	2	640.885	286.4155	142.6389	0.498014	319.1684	-181.885	0.53%
13	16	14	15	2	31.4159	109.0626	259.2707	2.377264	74.68328	29.67603	0.38%
12	17	14	15	2	94.2478	100.3144	106.5627	1.062287	100.118	43.74529	0.59%
11	18	14	15	2	188.4955	145.792	96.43205	0.661436	124.6771	34.5682	0.63%
10	19	14	15	2	314.1592	107.7028	51.56548	0.478776	150.4105	37.45782	0.65%
9	20	14	15	2	471.2389	74.5021	29.13315	0.391038	184.2715	39.14023	0.37%
8	21	13	16	2	209.4395	93.0272	93.14533	1.00127	209.7046	-315.139	0.44%
7	22	13	16	2	282.7433	79.79806	64.87908	0.813041	229.8809	-304.01	0.38%
6	23	13	16	2	366.5192	79.57748	52.87674	0.664469	243.5389	-294.763	0.60%
5	24	13	16	2	460.7669	109.0395	59.55941	0.546219	251.678	-286.828	0.48%
4	25	13	16	2	565.4865	141.2797	67.68343	0.479074	270.9083	-279.904	0.48%
3	26	12	17	2	395.8407	177.5561	133.6131	0.752512	297.8732	-676.842	0.67%
2	27	12	17	2	471.2389	154.4254	101.8145	0.659312	310.69	-654.541	0.44%
1	28	12	17	2	552.9205	230.9718	134.5343	0.582471	322.0573	-634.816	0.78%
12	15	13	14	2	31.4159	80.21663	225.3368	2.809103	88.25207	-155.6	0.85%
11	16	13	14	2	94.2478	113.5797	125.9687	1.109078	104.528	-154.091	0.16%
10	17	13	14	2	188.4955	141.9222	102.6712	0.723433	136.3626	-152.391	0.73%
9	18	13	14	2	314.1592	97.29414	52.73788	0.542046	170.2876	-151.186	0.64%
8	19	13	14	2	471.2389	95.38543	40.77571	0.427484	201.4462	-150.038	0.41%
7	20	12	15	2	209.4395	67.07293	79.63148	1.187237	248.6538	-642.016	0.21%
6	21	12	15	2	282.7433	71.41015	68.63285	0.961108	271.7452	-607.273	0.51%
5	22	12	15	2	366.5192	135.8224	106.2647	0.78238	286.7558	-578.598	0.41%

4	23	12	15	2	460.7669	157.5224	102.9652	0.653654	301.1802	-554.216	0.68%
3	24	12	15	2	565.4865	121.8491	67.67983	0.55544	314.0898	-532.904	0.28%
2	25	11	16	2	395.8407	119.2916	88.04557	0.73807	292.1523	-259.132	0.64%
1	26	11	16	2	471.2389	222.6434	144.2706	0.647989	305.3558	-253	0.63%
11	14	12	13	2	31.4159	98.72353	359.7994	3.644515	114.495	-351.04	0.26%
10	15	12	13	2	94.2478	107.2701	156.8869	1.462541	137.8409	-339.388	0.19%
9	16	12	13	2	188.4955	81.83636	79.25494	0.968456	182.5489	-324.168	0.44%
8	17	12	13	2	314.1592	121.3897	92.99754	0.766107	240.6785	-315.775	0.27%
7	18	12	13	2	471.2389	84.91318	52.32726	0.616244	290.3965	-308.059	0.57%
6	19	11	14	2	209.4395	72.85161	86.38332	1.185743	248.3398	-214.743	0.61%
5	20	11	14	2	282.7433	102.3626	102.742	1.003707	283.7898	-205.915	0.43%
4	21	11	14	2	366.5192	128.2535	105.9171	0.825841	302.6849	-198.802	0.47%
3	22	11	14	2	460.7669	156.2018	107.675	0.689333	317.6195	-193.023	0.59%
2	23	11	14	2	565.4865	130.9254	73.64693	0.562511	318.0906	-188.007	0.35%
1	24	10	15	2	395.8407	141.4789	101.5584	0.717834	284.1478	-194.903	0.02%
10	13	11	12	2	31.4159	103.9983	259.6335	2.496517	78.42936	258.5488	0.27%
9	14	11	12	2	94.2478	73.57236	61.12277	0.830784	78.29966	255.0889	0.30%
8	15	11	12	2	188.4955	95.13996	55.87349	0.587277	110.6988	251.7007	0.34%
7	16	11	12	2	314.1592	72.90489	33.32072	0.457044	143.5843	247.217	0.15%
6	17	11	12	2	471.2389	87.10341	33.20285	0.381189	179.6299	244.2822	0.55%
5	18	10	13	2	209.4395	150.9604	172.7946	1.144636	239.7303	-147.253	0.66%
4	19	10	13	2	282.7433	132.8194	125.5695	0.945415	267.3084	-138.93	0.48%
3	20	10	13	2	366.5192	114.0349	93.3771	0.818846	300.1205	-131.143	0.31%
2	21	10	13	2	460.7669	110.3429	72.89278	0.660603	304.3833	-125.372	0.23%
1	22	10	13	2	565.4865	189.9656	104.0073	0.547506	309.6055	-120.641	0.51%
9	12	10	11	2	31.4159	62.69929	167.8128	2.67647	84.08397	-54.1321	0.32%

8	13	10	11	2	94.2478	92.57073	71.06777	0.767713	72.35383	-53.3353	0.75%
7	14	10	11	2	188.4955	66.0827	32.29347	0.488683	92.1143	-52.65	0.15%
6	15	10	11	2	314.1592	72.61089	28.60214	0.39391	123.7498	-52.0826	0.40%
5	16	10	11	2	471.2389	116.494	36.98793	0.317509	149.6223	-51.6263	0.25%
4	17	9	12	2	209.4395	190.088	153.2581	0.806248	168.8593	-177.233	0.53%
3	18	9	12	2	282.7433	176.6082	119.2903	0.675452	190.9779	-151.353	0.67%
2	19	9	12	2	366.5192	113.1885	62.16148	0.549185	201.2866	-130.666	0.44%
1	20	9	12	2	460.7669	130.2446	61.33274	0.470904	216.9767	-113.607	0.17%
8	11	9	10	2	31.4159	96.65107	162.2174	1.678382	52.72775	14.68946	0.36%
7	12	9	10	2	94.2478	56.75164	35.84709	0.631649	59.53148	17.04126	0.18%
6	13	9	10	2	188.4955	70.43208	24.77818	0.351802	66.31281	19.22829	0.33%
5	14	9	10	2	314.1592	100.4956	26.38103	0.262509	82.46937	21.17329	0.10%
4	15	9	10	2	471.2389	131.3654	28.71129	0.218561	102.994	22.94276	0.23%
3	16	8	11	2	209.4395	131.9686	87.75021	0.664932	139.2623	-179.139	0.22%
2	17	8	11	2	282.7433	153.9408	85.18235	0.553345	156.4539	-162.465	0.46%
1	18	8	11	2	366.5192	220.4844	101.6612	0.461081	168.9943	-149.322	0.50%
7	10	8	9	2	31.4159	71.28136	97.98074	1.374563	43.18314	-72.3723	0.05%
6	11	8	9	2	94.2478	73.52657	38.03466	0.517291	48.75337	-67.6413	0.36%
5	12	8	9	2	188.4955	81.54671	29.43897	0.361007	68.04833	-63.475	0.51%
4	13	8	9	2	314.1592	127.9959	35.34478	0.27614	86.75021	-59.7221	0.45%
3	14	8	9	2	471.2389	111.5897	25.98844	0.232893	109.7482	-56.3626	0.08%
2	15	7	10	2	209.4395	111.8872	63.49228	0.567467	118.85	-112.726	0.22%
1	16	7	10	2	282.7433	153.76	72.17294	0.469387	132.7161	-104.432	0.01%
6	9	7	8	2	31.4159	59.07313	78.76653	1.333373	41.88908	-63.138	0.16%
5	10	7	8	2	94.2478	112.055	54.39486	0.48543	45.75048	-62.6611	0.41%
4	11	7	8	2	188.4955	133.4504	45.11405	0.338058	63.72234	-62.5436	0.30%

3	12	7	8	2	314.1592	87.81398	25.02919	0.285025	89.54396	-62.6686	0.58%
2	13	7	8	2	471.2389	109.5451	23.4644	0.214199	100.9379	-63.0005	0.33%
1	14	6	9	2	209.4395	127.5968	74.1254	0.580935	121.6705	-161.471	0.04%
5	8	6	7	2	31.4159	99.10412	122.8332	1.239435	38.93783	-14.6705	0.35%
4	9	6	7	2	94.2478	92.56684	46.80916	0.50568	47.65912	-9.06439	0.22%
3	10	6	7	2	188.4955	125.2996	47.60128	0.3799	71.60949	-4.23687	0.41%
2	11	6	7	2	314.1592	113.2543	32.44196	0.286452	89.99094	0.008996	0.49%
1	12	6	7	2	471.2389	98.2348	23.83679	0.242651	114.3457	3.799528	1.24%
4	7	5	6	2	31.4159	81.41653	122.4178	1.503599	47.23691	-65.8376	0.17%
3	8	5	6	2	94.2478	109.2648	86.36024	0.790376	74.49123	-61.4023	0.02%
2	9	5	6	2	188.4955	81.71661	44.19433	0.540824	101.9426	-58.0881	0.19%
1	10	5	6	2	314.1592	145.4013	61.76241	0.424772	133.4458	-55.546	0.25%
3	6	4	5	2	31.4159	81.19394	97.46978	1.200456	37.71341	-113.1	0.28%
2	7	4	5	2	94.2478	72.54278	40.63071	0.560093	52.7874	-106.777	0.09%
1	8	4	5	2	188.4955	124.4678	47.83811	0.384341	72.44652	-100.356	0.15%
2	5	3	4	2	31.4159	117.8705	157.0742	1.3326	41.86507	25.76388	0.12%
1	6	3	4	2	94.2478	88.86381	57.45155	0.646512	60.93232	27.32252	0.23%
1	4	2	3	2	31.4159	196.2593	422.6823	2.153693	67.66013	-136.245	0.32%

2. Lintasan II (Kedua)

A(C1)	B(C2)	M(P1)	N(P2)	Stacking	K	I(mA)	V(mV)	R(Ohm)	R0	SP	R0_RD
27	30	28	29	2	31.4159	312.4193	292.201	0.935285	29.38274	2.053244	0.73%
26	29	27	28	2	31.4159	224.9324	200.9453	0.893358	28.06566	-572.635	0.01%
25	30	27	28	2	94.2478	286.0143	149.1338	0.521421	49.14233	-462.614	0.45%
25	28	26	27	2	31.4159	212.7885	185.0773	0.869771	27.32463	-13.7902	0.13%
24	29	26	27	2	94.2478	256.0814	120.6355	0.471083	44.39838	8.418531	0.58%
23	30	26	27	2	188.4955	300.8876	96.1506	0.319557	60.2348	19.68266	0.56%
24	27	25	26	2	31.4159	239.3653	217.9598	0.910574	28.60631	-7.6264	0.68%
23	28	25	26	2	94.2478	219.299	110.3391	0.503145	47.42028	0.018332	0.05%
22	29	25	26	2	188.4955	256.7625	88.92574	0.346335	65.2823	4.460661	0.64%
21	30	25	26	2	314.1592	293.7992	76.05902	0.258881	81.33059	7.337828	0.44%
23	26	24	25	2	31.4159	206.7779	233.2381	1.127964	35.43584	-103.654	0.53%
22	27	24	25	2	94.2478	239.6112	162.9076	0.679883	64.07699	-92.3266	0.77%
21	28	24	25	2	188.4955	214.3076	101.5818	0.474	89.34671	-80.9383	0.28%
20	29	24	25	2	314.1592	239.7938	86.01656	0.35871	112.692	-75.2542	0.45%
19	30	24	25	2	471.2389	268.8595	77.40296	0.287894	135.6668	-70.39	0.29%
22	25	23	24	2	31.4159	225.9136	220.8064	0.977393	30.70537	-106.724	0.84%
21	26	23	24	2	94.2478	202.2626	112.9465	0.558415	52.62886	-104.977	0.83%
20	27	23	24	2	188.4955	224.588	89.66701	0.399251	75.25675	-103.862	0.53%
19	28	23	24	2	314.1592	200.96	61.21398	0.304608	95.69517	-103.171	0.32%
18	29	23	24	2	471.2389	310.452	74.21703	0.239061	112.6543	-102.752	0.69%
17	30	22	25	2	209.4395	309.1497	186.123	0.602048	126.0927	-269.933	0.41%
21	24	22	23	2	31.4159	229.1189	221.5839	0.967113	30.38258	-7.01119	0.63%
20	25	22	23	2	94.2478	212.1747	110.6581	0.521542	49.154	1.654528	0.62%

19	26	22	23	2	188.4955	190.4987	68.8243	0.361285	68.1	8.76295	0.65%
18	27	22	23	2	314.1592	285.312	76.73021	0.268934	84.48744	17.03474	0.77%
17	28	22	23	2	471.2389	222.4863	45.37415	0.203941	96.10497	21.47151	0.20%
16	29	21	24	2	209.4395	215.4216	125.1308	0.580865	121.6558	-318.212	0.42%
15	30	21	24	2	282.7433	207.2819	100.9487	0.487012	137.699	-297.905	0.45%
20	23	21	22	2	31.4159	221.2465	274.8276	1.242178	39.02397	-76.7243	0.75%
19	24	21	22	2	94.2478	214.1146	156.9516	0.733026	69.0856	-73.4491	0.69%
18	25	21	22	2	188.4955	264.9091	126.6581	0.478119	90.12252	-70.595	0.67%
17	26	21	22	2	314.1592	209.5416	70.30026	0.335495	105.3983	-68.2607	0.49%
16	27	21	22	2	471.2389	203.186	52.11106	0.25647	120.8582	-66.3334	0.43%
15	28	20	23	2	209.4395	164.8098	92.03504	0.558432	116.9571	-211.945	0.47%
14	29	20	23	2	282.7433	131.7593	59.64053	0.452648	127.9828	-185.992	0.36%
13	30	20	23	2	366.5192	70.42821	26.67759	0.378791	138.8318	-165.471	0.78%
19	22	20	21	2	31.4159	216.2295	233.1312	1.078166	33.87128	-11.2749	0.83%
18	23	20	21	2	94.2478	280.0329	166.0819	0.59308	55.89614	-6.155	0.68%
17	24	20	21	2	188.4955	238.2504	91.89739	0.385718	72.70574	-1.63597	0.48%
16	25	20	21	2	314.1592	192.6419	51.17522	0.26565	83.45607	2.282648	0.37%
15	26	20	21	2	471.2389	158.2356	32.99459	0.208516	98.26008	5.724749	0.43%
14	27	19	22	2	209.4395	127.2335	69.43225	0.545707	114.2924	-279.463	0.38%
13	28	19	22	2	282.7433	64.82166	28.72943	0.443207	125.3131	-255.315	0.49%
12	29	19	22	2	366.5192	34.36801	12.5056	0.363873	133.3734	-236.147	0.46%
11	30	19	22	2	460.7669	44.15463	13.39077	0.30327	139.736	-220.444	0.51%
18	21	19	20	2	31.4159	275.0025	335.2781	1.219182	38.3013	-69.9664	1.03%
17	22	19	20	2	94.2478	240.0452	139.1458	0.579665	54.63192	-65.8088	0.53%
16	23	19	20	2	188.4955	200.0541	74.45538	0.372176	70.15334	-62.0206	0.50%
15	24	19	20	2	314.1592	173.8371	48.10552	0.276728	86.93588	-58.0958	0.56%

14	25	19	20	2	471.2389	123.081	24.85295	0.201924	95.15405	-55.9685	0.37%
13	26	18	21	2	209.4395	63.92654	32.26104	0.504658	105.6947	-474.394	0.50%
12	27	18	21	2	282.7433	32.16264	13.10531	0.40747	115.2083	-438.086	0.39%
11	28	18	21	2	366.5192	41.78328	13.77248	0.329617	120.8105	-408.236	0.29%
10	29	18	21	2	460.7669	51.40032	14.28795	0.277974	128.0804	-383.037	0.70%
9	30	18	21	2	565.4865	27.04926	6.714521	0.248233	140.3719	-361.309	0.40%
17	20	18	19	2	31.4159	226.6888	286.3585	1.263223	39.6849	-105.334	0.94%
16	21	18	19	2	94.2478	197.877	131.7507	0.665821	62.75182	-101.954	0.47%
15	22	18	19	2	188.4955	174.8304	72.43705	0.414328	78.0984	-98.4454	0.48%
14	23	18	19	2	314.1592	126.0952	37.14789	0.294602	92.5516	-95.654	0.53%
13	24	18	19	2	471.2389	66.33868	14.81413	0.223311	105.2321	-92.9749	0.45%
12	25	17	20	2	209.4395	31.98204	16.2954	0.509517	106.7252	-515.097	2.61%
11	26	17	20	2	282.7433	41.39943	16.64113	0.401965	113.6525	-486.182	0.39%
10	27	17	20	2	366.5192	50.76965	17.14607	0.337723	123.7806	-462.651	0.95%
9	28	17	20	2	460.7669	26.16633	7.656322	0.292602	134.8209	-442.945	0.32%
8	29	17	20	2	565.4865	50.02268	13.4413	0.268704	151.957	-426.041	1.15%
7	30	16	21	2	395.8407	93.98458	34.81573	0.370441	146.635	-537.019	0.60%
16	19	17	18	2	31.4159	187.8591	246.0191	1.309594	41.14179	-109.601	0.79%
15	20	17	18	2	94.2478	167.6267	122.4303	0.730374	68.83582	-107.556	0.34%
14	21	17	18	2	188.4955	125.4819	59.50835	0.474239	89.39167	-105.7	0.30%
13	22	17	18	2	314.1592	66.44848	20.99085	0.315897	99.24159	-104.057	0.27%
12	23	17	18	2	471.2389	30.74568	7.391193	0.240398	113.3029	-102.457	2.53%
11	24	16	19	2	209.4395	42.60108	21.00794	0.493132	103.2804	-411.469	0.67%
10	25	16	19	2	282.7433	50.1544	19.25762	0.383967	108.5632	-370.982	0.62%
9	26	16	19	2	366.5192	26.03106	8.484743	0.325947	119.4647	-351.446	1.05%
8	27	16	19	2	460.7669	48.59659	14.76482	0.303824	139.9926	-335.15	2.27%

7	28	16	19	2	565.4865	83.23257	20.73854	0.249164	140.8923	-321.236	0.88%
6	29	15	20	2	395.8407	102.1308	35.44634	0.347068	137.3805	-495.399	0.59%
5	30	15	20	2	471.2389	142.5041	45.42196	0.318741	150.2032	-480.141	0.20%
15	18	16	17	2	31.4159	199.9601	248.2536	1.241516	39.00291	-16.4594	0.83%
14	19	16	17	2	94.2478	121.2427	71.62183	0.590731	55.67495	-14.4544	0.36%
13	20	16	17	2	188.4955	65.41438	24.8512	0.379904	71.61	-12.6252	0.34%
12	21	16	17	2	314.1592	30.2912	7.926465	0.261676	82.20824	-10.9868	0.07%
11	22	16	17	2	471.2389	42.64671	7.624491	0.178783	84.24887	-9.3587	0.42%
10	23	15	18	2	209.4395	50.75953	22.39162	0.441131	92.3896	-262.595	0.70%
9	24	15	18	2	282.7433	26.44873	9.550323	0.361088	102.0949	-235.299	0.39%
8	25	15	18	2	366.5192	47.56188	14.85647	0.312361	114.4841	-221.761	1.53%
7	26	15	18	2	460.7669	82.38316	21.03477	0.255329	117.6455	-210.301	0.67%
6	27	15	18	2	565.4865	100.32	22.6339	0.225617	127.5829	-200.452	0.43%
5	28	14	19	2	395.8407	121.1244	43.27392	0.357268	141.4208	-392.389	0.49%
4	29	14	19	2	471.2389	90.24472	28.78689	0.318987	150.3163	-379.569	0.54%
3	30	14	19	2	552.9205	99.61946	29.12754	0.292388	161.6644	-368.126	0.18%
14	17	15	16	2	31.4159	128.6596	162.5586	1.263478	39.69282	-28.188	0.80%
13	18	15	16	2	94.2478	70.01736	37.6577	0.537834	50.6894	-26.3186	0.51%
12	19	15	16	2	188.4955	29.25282	9.498138	0.324691	61.19704	-24.5358	2.73%
11	20	15	16	2	314.1592	42.2444	8.832345	0.209077	65.68322	-22.8616	0.42%
10	21	15	16	2	471.2389	50.64726	7.758785	0.153193	72.18982	-21.35	0.58%
9	22	14	17	2	209.4395	26.45984	11.33317	0.428316	89.70589	-221.297	0.48%
8	23	14	17	2	282.7433	47.52631	17.84082	0.375388	106.1354	-204.98	1.50%
7	24	14	17	2	366.5192	86.47612	25.10108	0.290266	106.3878	-191.987	0.32%
6	25	14	17	2	460.7669	97.95845	23.67617	0.241696	111.3651	-181.301	0.49%
5	26	14	17	2	565.4865	117.6773	25.49261	0.216631	122.5016	-172.282	0.54%

4	27	13	18	2	395.8407	88.83209	31.4997	0.354598	140.3628	-154.529	0.58%
3	28	13	18	2	471.2389	87.31557	27.9465	0.320063	150.8261	-148.177	0.35%
2	29	13	18	2	552.9205	124.6725	35.89967	0.287952	159.214	-142.489	0.37%
1	30	13	18	2	640.885	150.8442	40.59362	0.26911	172.4674	-137.33	0.60%
13	16	14	15	2	31.4159	63.81927	127.3789	1.995931	62.70369	-92.5487	0.32%
12	17	14	15	2	94.2478	52.72201	37.0515	0.702771	66.2338	-94.0131	0.76%
11	18	14	15	2	188.4955	44.1911	17.95268	0.406251	76.57616	-89.5909	0.37%
10	19	14	15	2	314.1592	50.03428	13.81303	0.276071	86.72994	-87.7965	0.41%
9	20	14	15	2	471.2389	26.30124	5.509488	0.209476	98.71362	-86.7547	0.21%
8	21	13	16	2	209.4395	47.36425	23.38376	0.493701	103.3989	-95.9304	2.01%
7	22	13	16	2	282.7433	86.35877	30.77407	0.356351	100.7558	-86.7109	0.32%
6	23	13	16	2	366.5192	99.86897	30.14709	0.301866	110.6385	-79.3696	0.69%
5	24	13	16	2	460.7669	125.9824	33.05515	0.262379	120.8953	-73.3066	0.34%
4	25	13	16	2	565.4865	87.1077	19.27918	0.221326	125.1553	-68.1774	0.50%
3	26	12	17	2	395.8407	85.20743	31.36034	0.368047	145.6862	-527.259	0.43%
2	27	12	17	2	471.2389	120.6975	39.88601	0.330463	155.7263	-507.255	0.53%
1	28	12	17	2	552.9205	126.7261	37.48391	0.295787	163.5467	-489.346	0.08%
12	15	13	14	2	31.4159	27.19057	79.43508	2.92142	91.77605	54.08922	0.68%
11	16	13	14	2	94.2478	41.66095	31.28819	0.75102	70.78146	54.8865	0.51%
10	17	13	14	2	188.4955	51.40917	20.48992	0.398566	75.12729	55.75347	0.49%
9	18	13	14	2	314.1592	27.08114	7.410385	0.273636	85.96515	56.13971	0.32%
8	19	13	14	2	471.2389	46.63818	10.25497	0.219884	103.6145	56.44407	1.63%
7	20	12	15	2	209.4395	84.42804	45.26151	0.536096	112.2793	-650.255	0.29%
6	21	12	15	2	282.7433	98.96802	43.15634	0.436063	123.2945	-619.534	0.39%
5	22	12	15	2	366.5192	126.2493	44.92055	0.355808	130.4103	-594.049	0.30%
4	23	12	15	2	460.7669	89.39052	27.63861	0.309189	142.4626	-572.15	0.59%

3	24	12	15	2	565.4865	89.50623	25.23128	0.281894	159.4058	-551.897	0.47%
2	25	11	16	2	395.8407	116.8431	40.93142	0.350311	138.6664	-56.6973	0.69%
1	26	11	16	2	471.2389	122.9205	39.548	0.321736	151.6143	-50.6479	0.44%
11	14	12	13	2	31.4159	37.07273	150.1128	4.049143	127.2067	-441.472	0.39%
10	15	12	13	2	94.2478	46.75641	43.66565	0.933896	88.01735	-428.775	0.27%
9	16	12	13	2	188.4955	26.13695	13.02801	0.498452	93.95536	-412.308	0.60%
8	17	12	13	2	314.1592	47.80591	17.63292	0.368844	115.8688	-402.604	1.71%
7	18	12	13	2	471.2389	92.26824	23.15977	0.251005	118.283	-393.576	0.22%
6	19	11	14	2	209.4395	97.05764	49.74982	0.51258	107.3542	-8.85895	0.19%
5	20	11	14	2	282.7433	122.5153	51.81321	0.422912	119.5755	0.394069	0.04%
4	21	11	14	2	366.5192	87.75163	31.11948	0.354631	129.9791	7.772852	0.30%
3	22	11	14	2	460.7669	89.51152	26.36959	0.294594	135.7389	13.93215	0.51%
2	23	11	14	2	565.4865	119.7176	31.03692	0.259251	146.6022	19.06999	0.54%
1	24	10	15	2	395.8407	132.217	49.08958	0.37128	146.9679	-133.797	0.05%
10	13	11	12	2	31.4159	32.99062	143.5269	4.350538	136.6761	334.9668	0.01%
9	14	11	12	2	94.2478	24.32767	21.51617	0.884432	83.35561	331.9707	0.15%
8	15	11	12	2	188.4955	43.49116	17.37978	0.399616	75.32245	328.7624	1.79%
7	16	11	12	2	314.1592	81.54259	19.02462	0.233309	73.29603	324.1625	0.17%
6	17	11	12	2	471.2389	101.5609	18.27073	0.179899	84.7751	321.2621	0.32%
5	18	10	13	2	209.4395	138.5712	68.12706	0.491639	102.9684	-104.533	0.27%
4	19	10	13	2	282.7433	87.17696	34.50706	0.395828	111.9173	-96.0379	0.39%
3	20	10	13	2	366.5192	87.27041	29.01932	0.332522	121.8755	-88.9964	0.11%
2	21	10	13	2	460.7669	118.4972	33.60975	0.283633	130.6887	-83.0756	0.12%
1	22	10	13	2	565.4865	132.1626	32.00538	0.242167	136.9419	-77.8877	0.05%
9	12	10	11	2	31.4159	18.80186	117.4177	6.245008	196.1889	-110.981	0.59%
8	13	10	11	2	94.2478	31.01345	34.4235	1.109954	104.6078	-59.2808	1.07%

7	14	10	11	2	188.4955	65.95373	24.34562	0.369132	69.57958	-57.4903	0.21%
6	15	10	11	2	314.1592	85.03278	18.25791	0.214716	67.45504	-55.7765	0.01%
5	16	10	11	2	471.2389	115.9328	18.67786	0.161109	75.92079	-54.245	0.31%
4	17	9	12	2	209.4395	91.26188	34.41975	0.377154	78.99032	41.68918	0.49%
3	18	9	12	2	282.7433	96.1321	28.87073	0.300323	84.91432	64.80978	0.54%
2	19	9	12	2	366.5192	115.7512	28.82851	0.249056	91.28369	83.73269	0.04%
1	20	9	12	2	460.7669	128.258	28.06607	0.218825	100.8273	99.59079	0.06%
8	11	9	10	2	31.4159	24.7128	146.45	5.926079	186.1658	105.0416	1.50%
7	12	9	10	2	94.2478	25.13158	24.21008	0.963333	90.7821	127.3981	2.28%
6	13	9	10	2	188.4955	48.66464	14.81119	0.304352	57.36902	125.326	0.05%
5	14	9	10	2	314.1592	86.95245	14.47889	0.166515	52.31215	125.8887	0.19%
4	15	9	10	2	471.2389	76.58639	8.51162	0.111138	52.37215	126.3055	0.35%
3	16	8	11	2	209.4395	83.86386	26.32309	0.313879	65.7376	-720.894	0.47%
2	17	8	11	2	282.7433	121.9101	31.88752	0.261566	73.95591	-684.839	0.10%
1	18	8	11	2	366.5192	146.0952	32.97661	0.22572	82.73067	-656.437	0.16%
7	10	8	9	2	31.4159	37.02513	268.01	7.238598	227.407	-675.331	0.28%
6	11	8	9	2	94.2478	34.64363	41.26661	1.191175	112.2656	-659.721	0.13%
5	12	8	9	2	188.4955	26.54293	11.15796	0.420374	79.22835	-224.821	1.61%
4	13	8	9	2	314.1592	44.30951	7.671544	0.173135	54.39201	-632.33	0.12%
3	14	8	9	2	471.2389	67.39204	7.042826	0.104505	49.24693	-620.534	0.32%
2	15	7	10	2	209.4395	98.7341	29.26771	0.29643	62.08398	-244.801	0.16%
1	16	7	10	2	282.7433	121.153	30.2157	0.249401	70.51639	-235.908	0.27%
6	9	7	8	2	31.4159	23.33516	212.991	9.127472	286.7475	269.3386	0.17%
5	10	7	8	2	94.2478	43.35589	83.71458	1.93087	181.9802	264.5347	0.15%
4	11	7	8	2	188.4955	31.76244	16.07864	0.506215	95.4194	260.0462	0.16%
3	12	7	8	2	314.1592	22.86437	5.860923	0.256334	80.5225	255.3205	1.47%

2	13	7	8	2	471.2389	52.74659	7.836726	0.148573	70.01337	250.5419	0.21%
1	14	6	9	2	209.4395	89.73766	28.81077	0.321056	67.24168	-275.114	0.19%
5	8	6	7	2	31.4159	39.59576	393.8241	9.946117	312.4571	82.57816	1.42%
4	9	6	7	2	94.2478	21.67066	30.13188	1.390446	131.0462	81.981	0.20%
3	10	6	7	2	188.4955	37.01552	16.57134	0.447686	84.38686	81.55153	0.01%
2	11	6	7	2	314.1592	36.645	7.215517	0.196903	61.85892	80.74784	0.14%
1	12	6	7	2	471.2389	26.49878	3.743764	0.141281	66.57465	31.31373	2.05%
4	7	5	6	2	31.4159	52.57213	473.4458	9.005642	282.9157	-144.172	0.49%
3	8	5	6	2	94.2478	33.93102	53.89195	1.58828	149.6901	-140.495	0.89%
2	9	5	6	2	188.4955	24.20075	9.836638	0.40646	76.61589	-137.147	0.08%
1	10	5	6	2	314.1592	43.98141	9.91671	0.225475	70.83504	-134.745	0.08%
3	6	4	5	2	31.4159	58.44667	564.1636	9.652622	303.2429	37.37319	0.89%
2	7	4	5	2	94.2478	64.10264	121.0924	1.88904	178.0369	51.07263	0.13%
1	8	4	5	2	188.4955	40.23308	22.73922	0.565187	106.53	65.64107	1.23%
2	5	3	4	2	31.4159	84.33044	609.7089	7.229997	227.1365	-126.088	0.21%
1	6	3	4	2	94.2478	75.93919	153.0699	2.015691	189.9744	-124.44	0.13%
1	4	2	3	2	31.4159	68.73707	543.4219	7.905806	248.3676	-79.3508	0.36%

3. Lintasan III (Ketiga)

A(C1)	B(C2)	M(P1)	N(P2)	Stacking	K	I(mA)	V(mV)	R(Ohm)	R0	SP	R0_RD
27	30	28	29	2	31.4159	94.61469	58.44059	0.617669	19.40458	11.66537	0.65%
26	29	27	28	2	31.4159	117.1931	58.47856	0.498993	15.67635	-346.009	1.07%
25	30	27	28	2	94.2478	128.3842	24.21686	0.188628	17.77774	-238.279	0.39%
25	28	26	27	2	31.4159	140.2494	98.39562	0.701576	22.04056	19.04107	0.57%
24	29	26	27	2	94.2478	144.8588	32.1688	0.22207	20.92946	29.261	0.81%
23	30	26	27	2	188.4955	137.8527	19.43153	0.140959	26.56992	32.66553	0.65%
24	27	25	26	2	31.4159	131.274	56.22702	0.428318	13.45594	-130.076	0.42%
23	28	25	26	2	94.2478	151.3065	26.72069	0.1766	16.644	-119.733	0.59%
22	29	25	26	2	188.4955	158.2469	18.21455	0.115102	21.69603	-112.74	0.75%
21	30	25	26	2	314.1592	87.23055	7.64028	0.087587	27.51627	-107.516	0.32%
23	26	24	25	2	31.4159	168.625	116.6884	0.691999	21.7397	-117.665	0.33%
22	27	24	25	2	94.2478	142.0417	36.81539	0.259187	24.42777	-113.87	0.20%
21	28	24	25	2	188.4955	92.48776	14.48416	0.156606	29.51945	-111.199	0.50%
20	29	24	25	2	314.1592	104.8877	11.78554	0.112363	35.29993	-110.368	0.26%
19	30	24	25	2	471.2389	104.0094	10.2462	0.098512	46.42249	-109.926	0.63%
22	25	23	24	2	31.4159	235.7418	155.6858	0.660408	20.74719	-51.5969	0.59%
21	26	23	24	2	94.2478	98.56453	23.61485	0.239588	22.58053	-48.6733	0.43%
20	27	23	24	2	188.4955	97.42799	13.0484	0.133929	25.24481	-46.5301	0.50%
19	28	23	24	2	314.1592	111.3576	11.4127	0.102487	32.19705	-44.9752	0.44%
18	29	23	24	2	471.2389	117.937	9.869619	0.083686	39.4357	-43.8192	0.51%
17	30	22	25	2	209.4395	125.2362	27.88721	0.222677	46.63716	-431.646	0.44%
21	24	22	23	2	31.4159	117.7667	68.54062	0.582003	18.28398	-113.602	0.77%
20	25	22	23	2	94.2478	134.0133	22.74818	0.169746	15.99805	-110.01	0.70%

19	26	22	23	2	188.4955	120.1764	12.45064	0.103603	19.52867	-107.312	0.18%
18	27	22	23	2	314.1592	108.6679	7.928327	0.072959	22.92058	-104.447	0.70%
17	28	22	23	2	471.2389	135.8837	8.553368	0.062946	29.66245	-103.012	0.65%
16	29	21	24	2	209.4395	134.0913	30.42649	0.226909	47.52353	-53.5381	0.31%
15	30	21	24	2	282.7433	130.3276	26.61891	0.204246	57.74898	-40.5077	0.44%
20	23	21	22	2	31.4159	144.5376	126.8145	0.877381	27.56339	185.28	0.73%
19	24	21	22	2	94.2478	149.6453	44.15112	0.295039	27.8066	189.9489	0.47%
18	25	21	22	2	188.4955	156.1095	23.79768	0.152442	28.7344	194.0872	0.65%
17	26	21	22	2	314.1592	149.3398	17.89611	0.119835	37.64703	197.6346	0.35%
16	27	21	22	2	471.2389	121.9881	12.45372	0.10209	48.10857	200.7581	0.10%
15	28	20	23	2	209.4395	141.7253	32.35629	0.228303	47.81533	-127.279	0.47%
14	29	20	23	2	282.7433	117.8415	23.77876	0.201786	57.05347	-109.986	0.43%
13	30	20	23	2	366.5192	117.8893	21.05911	0.178635	65.47277	-96.2865	0.35%
19	22	20	21	2	31.4159	164.3591	132.6439	0.807037	25.3537	-123.305	0.53%
18	23	20	21	2	94.2478	170.4596	40.96133	0.240299	22.64758	-119.823	0.32%
17	24	20	21	2	188.4955	197.5929	27.78339	0.140609	26.50401	-116.742	0.62%
16	25	20	21	2	314.1592	185.2788	18.89931	0.102005	32.04564	-113.975	0.38%
15	26	20	21	2	471.2389	156.3154	13.52301	0.086511	40.76723	-111.539	0.27%
14	27	19	22	2	209.4395	108.3436	25.40462	0.234482	49.10951	-185.471	0.56%
13	28	19	22	2	282.7433	127.086	26.5232	0.208703	59.00899	-169.436	0.48%
12	29	19	22	2	366.5192	123.5198	23.65268	0.191489	70.18417	-156.823	0.53%
11	30	19	22	2	460.7669	104.299	18.34664	0.175904	81.05085	-146.548	0.01%
18	21	19	20	2	31.4159	99.982	74.4044	0.744178	23.37899	-169.445	0.30%
17	22	19	20	2	94.2478	224.1673	47.69264	0.212755	20.05158	-168.115	0.45%
16	23	19	20	2	188.4955	205.6455	27.97018	0.136012	25.6375	-167.111	0.51%
15	24	19	20	2	314.1592	209.962	20.65474	0.098374	30.90481	-166.089	0.60%

14	25	19	20	2	471.2389	155.5006	12.58731	0.080947	38.14522	-165.597	0.62%
13	26	18	21	2	209.4395	138.6384	32.16826	0.23203	48.59603	-365.721	0.42%
12	27	18	21	2	282.7433	113.092	22.77413	0.201377	56.93785	-357.907	0.29%
11	28	18	21	2	366.5192	111.3414	20.50086	0.184126	67.48554	-351.545	0.47%
10	29	18	21	2	460.7669	101.5256	17.6178	0.173531	79.95682	-346.223	0.64%
9	30	18	21	2	565.4865	96.83537	15.80998	0.163267	92.32503	-341.654	0.17%
17	20	18	19	2	31.4159	130.9512	130.4159	0.995912	31.28744	-33.8314	0.22%
16	21	18	19	2	94.2478	110.6986	38.84906	0.350944	33.07569	-32.6621	0.35%
15	22	18	19	2	188.4955	240.1828	44.55449	0.185502	34.96626	-31.5217	0.47%
14	23	18	19	2	314.1592	169.6379	22.10291	0.130295	40.93309	-30.4718	0.59%
13	24	18	19	2	471.2389	179.3942	17.76408	0.099023	46.66299	-29.5925	0.57%
12	25	17	20	2	209.4395	165.7966	34.63261	0.208886	43.74889	-310.076	0.39%
11	26	17	20	2	282.7433	120.1133	22.13353	0.184272	52.10151	-300.206	0.48%
10	27	17	20	2	366.5192	94.35633	15.54606	0.164759	60.3871	-292.171	0.52%
9	28	17	20	2	460.7669	102.8322	15.55318	0.151248	69.69007	-285.406	0.22%
8	29	17	20	2	565.4865	113.2378	16.13042	0.142447	80.55191	-279.635	0.37%
7	30	16	21	2	395.8407	87.67573	19.789	0.225707	89.34354	-436.546	0.50%
16	19	17	18	2	31.4159	138.4962	109.2248	0.788649	24.77604	-20.5038	0.41%
15	20	17	18	2	94.2478	136.0375	34.09377	0.25062	23.62041	-18.6118	0.19%
14	21	17	18	2	188.4955	99.35178	12.35348	0.124341	23.43764	-16.8473	0.23%
13	22	17	18	2	314.1592	201.0118	15.1231	0.075235	23.63565	-15.2641	0.46%
12	23	17	18	2	471.2389	181.9828	10.95118	0.060177	28.35769	-13.6567	0.33%
11	24	16	19	2	209.4395	149.7184	29.30643	0.195744	40.99617	-248.142	0.60%
10	25	16	19	2	282.7433	128.2519	22.59127	0.176148	49.80448	-227.6	0.32%
9	26	16	19	2	366.5192	110.2665	17.24824	0.156423	57.33205	-217.832	0.38%
8	27	16	19	2	460.7669	104.3935	14.75341	0.141325	65.11765	-209.769	0.48%

7	28	16	19	2	565.4865	92.76498	12.28662	0.132449	74.89784	-202.939	0.35%
6	29	15	20	2	395.8407	98.01692	21.11474	0.215419	85.27169	-367.649	0.24%
5	30	15	20	2	471.2389	30.4647	6.246498	0.205041	96.62268	-362.806	0.36%
15	18	16	17	2	31.4159	158.9242	154.4789	0.972029	30.53709	-102.466	0.29%
14	19	16	17	2	94.2478	121.1622	31.93942	0.263609	24.84443	-101.519	0.47%
13	20	16	17	2	188.4955	122.4883	14.72244	0.120195	22.65613	-100.596	0.17%
12	21	16	17	2	314.1592	103.2907	8.503594	0.082327	25.86367	-99.842	0.31%
11	22	16	17	2	471.2389	164.4771	10.51839	0.06395	30.13566	-99.1305	0.83%
10	23	15	18	2	209.4395	137.9358	25.31572	0.183533	38.43881	-235.358	0.56%
9	24	15	18	2	282.7433	135.2014	21.18958	0.156726	44.31315	-216.82	0.34%
8	25	15	18	2	366.5192	147.6625	20.73221	0.140403	51.46011	-208.025	0.50%
7	26	15	18	2	460.7669	98.89157	12.65269	0.127945	58.95261	-200.768	0.54%
6	27	15	18	2	565.4865	91.29147	10.90292	0.11943	67.53581	-194.661	0.39%
5	28	14	19	2	395.8407	31.051	6.799452	0.218977	86.67941	-197.179	0.61%
4	29	14	19	2	471.2389	51.20042	10.45741	0.204245	96.24792	-189.355	0.22%
3	30	14	19	2	552.9205	55.17684	10.76746	0.195145	107.8992	-182.331	0.18%
14	17	15	16	2	31.4159	151.203	163.0301	1.07822	33.87312	-10.3405	0.54%
13	18	15	16	2	94.2478	140.7508	44.32794	0.314939	29.68227	-10.0085	0.21%
12	19	15	16	2	188.4955	127.2156	18.26313	0.14356	27.06043	-9.67284	0.36%
11	20	15	16	2	314.1592	107.9444	10.62484	0.098429	30.92216	-9.47765	0.38%
10	21	15	16	2	471.2389	87.57337	7.149022	0.081635	38.46928	-9.38557	0.37%
9	22	14	17	2	209.4395	147.5224	31.28916	0.212098	44.42155	-232.415	0.43%
8	23	14	17	2	282.7433	160.5855	30.03733	0.187049	52.88646	-220.101	0.62%
7	24	14	17	2	366.5192	118.5759	19.83959	0.167316	61.32427	-210.097	0.20%
6	25	14	17	2	460.7669	122.6427	18.70231	0.152494	70.26425	-201.726	0.21%
5	26	14	17	2	565.4865	31.69125	4.382332	0.138282	78.19566	-194.559	1.04%

4	27	13	18	2	395.8407	49.31007	11.02979	0.223682	88.5414	-282.434	1.92%
3	28	13	18	2	471.2389	56.89557	11.87989	0.208802	98.39555	-275.147	0.10%
2	29	13	18	2	552.9205	89.89035	17.46797	0.194325	107.4461	-268.498	0.60%
1	30	13	18	2	640.885	108.655	19.85082	0.182696	117.087	-262.416	0.05%
13	16	14	15	2	31.4159	164.1338	203.3904	1.239174	38.92971	-16.7395	0.31%
12	17	14	15	2	94.2478	160.7981	64.72794	0.402542	37.93857	-14.0822	0.39%
11	18	14	15	2	188.4955	121.8913	25.05828	0.205579	38.7504	-11.5571	0.62%
10	19	14	15	2	314.1592	104.2574	14.37274	0.137858	43.30922	-8.26438	0.51%
9	20	14	15	2	471.2389	100.0626	10.45672	0.104502	49.24521	-6.28913	0.26%
8	21	13	16	2	209.4395	96.18301	26.22749	0.272683	57.11026	-252.525	0.50%
7	22	13	16	2	282.7433	127.7183	29.42836	0.230416	65.1484	-236.274	0.45%
6	23	13	16	2	366.5192	131.6259	27.50403	0.208956	76.58622	-222.896	0.34%
5	24	13	16	2	460.7669	33.5661	6.183671	0.184224	84.88386	-211.685	0.37%
4	25	13	16	2	565.4865	57.14253	9.411644	0.164705	93.13782	-202.033	0.67%
3	26	12	17	2	395.8407	58.8878	14.03842	0.238393	94.36618	-288.974	0.18%
2	27	12	17	2	471.2389	84.22097	18.43025	0.218832	103.122	-282.598	0.26%
1	28	12	17	2	552.9205	115.6765	23.70862	0.204956	113.3242	-276.94	0.65%
12	15	13	14	2	31.4159	169.23	309.9845	1.831735	57.54548	-93.6154	0.44%
11	16	13	14	2	94.2478	139.0077	78.05578	0.561521	52.92159	-92.1939	0.82%
10	17	13	14	2	188.4955	125.7342	38.75337	0.308217	58.09715	-90.4495	0.52%
9	18	13	14	2	314.1592	112.1243	20.35836	0.18157	57.04168	-89.5672	0.35%
8	19	13	14	2	471.2389	116.5702	15.19226	0.130327	61.41475	-88.7761	0.62%
7	20	12	15	2	209.4395	90.77335	26.20138	0.288646	60.4538	-219.277	0.22%
6	21	12	15	2	282.7433	85.00615	21.1931	0.249313	70.49143	-206.407	0.07%
5	22	12	15	2	366.5192	34.32221	7.242549	0.211016	77.34124	-196.056	0.40%
4	23	12	15	2	460.7669	59.15572	11.14376	0.18838	86.79903	-187.487	0.50%

3	24	12	15	2	565.4865	65.66052	11.37775	0.173281	97.98692	-180.193	0.61%
2	25	11	16	2	395.8407	110.0478	26.65745	0.242235	95.88645	-58.1213	0.10%
1	26	11	16	2	471.2389	124.9369	28.01532	0.224236	105.6684	-48.7811	0.24%
11	14	12	13	2	31.4159	121.9388	195.7973	1.605702	50.44418	-53.3496	0.61%
10	15	12	13	2	94.2478	130.806	75.90783	0.580308	54.69251	-52.6578	0.52%
9	16	12	13	2	188.4955	126.555	30.20326	0.238657	44.9857	-51.8701	0.49%
8	17	12	13	2	314.1592	144.0654	20.99301	0.145719	45.77844	-51.5857	0.70%
7	18	12	13	2	471.2389	100.5075	10.67753	0.106236	50.06241	-51.4069	0.47%
6	19	11	14	2	209.4395	100.667	29.17743	0.289841	60.70405	-87.6482	0.19%
5	20	11	14	2	282.7433	30.92968	7.308888	0.236307	66.81403	-72.4357	0.14%
4	21	11	14	2	366.5192	47.48505	9.535455	0.20081	73.60049	-60.2054	0.14%
3	22	11	14	2	460.7669	68.60647	12.33673	0.179819	82.85402	-50.0686	0.49%
2	23	11	14	2	565.4865	117.2109	19.12905	0.163202	92.28824	-41.4815	0.33%
1	24	10	15	2	395.8407	157.1902	36.06793	0.229454	90.82689	-71.8285	0.40%
10	13	11	12	2	31.4159	118.5917	264.3157	2.228787	70.01897	170.4558	0.55%
9	14	11	12	2	94.2478	112.0534	59.34105	0.529578	49.91144	173.1326	0.60%
8	15	11	12	2	188.4955	150.7848	35.63401	0.236324	44.54556	175.5103	0.65%
7	16	11	12	2	314.1592	111.8211	16.13328	0.144278	45.32589	178.4688	0.58%
6	17	11	12	2	471.2389	121.3588	13.13367	0.108222	50.99822	180.0907	0.31%
5	18	10	13	2	209.4395	32.05773	7.470193	0.233023	48.804	-104.656	0.50%
4	19	10	13	2	282.7433	52.04316	9.517775	0.182882	51.70857	-87.9515	0.42%
3	20	10	13	2	366.5192	56.24137	9.067192	0.161219	59.08957	-74.3011	0.46%
2	21	10	13	2	460.7669	78.84393	11.17238	0.141702	65.29185	-62.8873	0.09%
1	22	10	13	2	565.4865	173.5404	22.09672	0.127329	72.00259	-53.127	0.44%
9	12	10	11	2	31.4159	117.5976	176.8577	1.503922	47.24697	-100.715	0.65%
8	13	10	11	2	94.2478	134.7545	60.68948	0.450371	42.44619	-97.0239	0.47%

7	14	10	11	2	188.4955	100.4618	18.18372	0.181001	34.11779	-93.5918	0.41%
6	15	10	11	2	314.1592	126.1931	14.03753	0.111239	34.94655	-90.3054	0.24%
5	16	10	11	2	471.2389	33.16054	2.46985	0.074482	35.09872	-87.3301	0.25%
4	17	9	12	2	209.4395	56.86855	13.08864	0.230156	48.20354	-177.88	0.58%
3	18	9	12	2	282.7433	59.83355	11.59086	0.193718	54.77224	-157.642	0.34%
2	19	9	12	2	366.5192	91.95203	15.08171	0.164017	60.11523	-141.075	0.40%
1	20	9	12	2	460.7669	111.6659	16.37684	0.146659	67.57584	-127.168	0.15%
8	11	9	10	2	31.4159	118.168	344.7426	2.917393	91.65227	-143.288	0.25%
7	12	9	10	2	94.2478	104.7659	92.05503	0.878673	82.81265	-140.129	0.51%
6	13	9	10	2	188.4955	114.7509	46.89665	0.408682	77.03458	-137.14	0.26%
5	14	9	10	2	314.1592	32.09851	6.242563	0.194481	61.09789	-134.777	0.33%
4	15	9	10	2	471.2389	57.9247	6.714454	0.115917	54.62454	-132.838	0.05%
3	16	8	11	2	209.4395	63.87319	13.8541	0.2169	45.42689	-205.553	0.73%
2	17	8	11	2	282.7433	108.1374	19.37783	0.179196	50.66639	-193.44	0.48%
1	18	8	11	2	366.5192	126.5913	19.84689	0.156779	57.46246	-184.201	0.36%
7	10	8	9	2	31.4159	89.04527	163.1173	1.831847	57.54888	57.20459	0.42%
6	11	8	9	2	94.2478	102.3411	77.61615	0.758406	71.47804	58.27211	0.26%
5	12	8	9	2	188.4955	32.5452	10.13261	0.31134	58.68615	59.26947	0.04%
4	13	8	9	2	314.1592	55.41533	8.003344	0.144425	45.37221	59.99577	0.37%
3	14	8	9	2	471.2389	60.0609	5.404969	0.089991	42.40722	60.5269	0.59%
2	15	7	10	2	209.4395	111.8757	26.12414	0.23351	48.90617	-264.907	0.35%
1	16	7	10	2	282.7433	145.1696	27.88039	0.192054	54.30188	-248.132	0.21%
6	9	7	8	2	31.4159	95.34771	376.2753	3.946349	123.9774	-103.66	0.71%
5	10	7	8	2	94.2478	30.85931	26.06511	0.844643	79.60571	-98.6094	0.11%
4	11	7	8	2	188.4955	52.32704	15.25772	0.291584	54.96213	-94.143	0.29%
3	12	7	8	2	314.1592	61.61107	9.663152	0.156841	49.27267	-90.1603	0.60%

2	13	7	8	2	471.2389	102.7704	10.22341	0.099478	46.87796	-86.661	0.06%
1	14	6	9	2	209.4395	126.4559	26.32273	0.208157	43.59633	-255.771	0.10%
5	8	6	7	2	31.4159	31.9152	111.5551	3.495362	109.8098	-52.7743	0.10%
4	9	6	7	2	94.2478	50.50844	34.36074	0.680297	64.11643	-52.3223	0.13%
3	10	6	7	2	188.4955	55.82739	13.48734	0.24159	45.53851	-52.1015	0.27%
2	11	6	7	2	314.1592	92.58426	12.30914	0.132951	41.76765	-52.1576	0.26%
1	12	6	7	2	471.2389	133.2971	11.41692	0.08565	40.36163	-52.3697	0.23%
4	7	5	6	2	31.4159	48.05027	279.7148	5.821296	182.881	154.4805	0.15%
3	8	5	6	2	94.2478	59.32009	64.14092	1.081268	101.9067	162.0154	0.36%
2	9	5	6	2	188.4955	86.87126	34.9019	0.401766	75.73085	168.2394	0.25%
1	10	5	6	2	314.1592	108.7126	20.07752	0.184684	58.02013	173.195	0.34%
3	6	4	5	2	31.4159	55.06328	432.8253	7.860507	246.9437	-142.608	0.42%
2	7	4	5	2	94.2478	79.95944	129.5859	1.620645	152.7421	-133.865	0.21%
1	8	4	5	2	188.4955	122.452	68.42386	0.558781	105.3276	-125.3	0.28%
2	5	3	4	2	31.4159	29.79364	226.4532	7.600721	238.7834	-78.2078	0.14%
1	6	3	4	2	94.2478	105.7694	154.139	1.457313	137.3484	-68.3307	0.16%
1	4	2	3	2	31.4159	53.35472	472.512	8.856049	278.2206	-171.152	0.29%

4. Lintasan IV (Keempat)

A(C1)	B(C2)	M(P1)	N(P2)	Stacking	K	I(mA)	V(mV)	R(Ohm)	R0	SP	R0_RD
27	30	28	29	2	31.4159	139.8558	85.54456	0.611663	19.21586	12.93502	0.59%
26	29	27	28	2	31.4159	93.85069	49.34609	0.525794	16.51833	-382.749	0.41%
25	30	27	28	2	94.2478	134.6584	25.84635	0.19194	18.0899	-302.163	0.39%
25	28	26	27	2	31.4159	172.9054	109.1232	0.631115	19.82702	-24.7042	0.36%
24	29	26	27	2	94.2478	99.50553	21.43331	0.215398	20.30067	-6.65408	0.80%
23	30	26	27	2	188.4955	138.1392	20.09571	0.145474	27.42113	2.881117	0.57%
24	27	25	26	2	31.4159	201.0876	142.6579	0.709432	22.28733	-162.308	0.80%
23	28	25	26	2	94.2478	178.6137	54.61096	0.305749	28.81605	-156.43	0.45%
22	29	25	26	2	188.4955	87.84103	14.94354	0.17012	32.06673	-153.873	0.58%
21	30	25	26	2	314.1592	79.82921	9.841359	0.12328	38.72955	-152.875	0.35%
23	26	24	25	2	31.4159	176.1789	126.0674	0.715564	22.48004	-41.3918	0.34%
22	27	24	25	2	94.2478	158.3299	33.46561	0.211366	19.92071	-32.2831	0.60%
21	28	24	25	2	188.4955	91.97173	10.58126	0.115049	21.68618	-23.8424	0.38%
20	29	24	25	2	314.1592	56.11095	3.921333	0.069885	21.95506	-19.8719	0.53%
19	30	24	25	2	471.2389	55.87446	2.921952	0.052295	24.64332	-16.6137	0.55%
22	25	23	24	2	31.4159	152.0425	83.27985	0.547741	17.20767	-90.6374	0.59%
21	26	23	24	2	94.2478	91.43289	14.73247	0.161129	15.18595	-86.178	0.55%
20	27	23	24	2	188.4955	78.17059	6.870795	0.087895	16.56777	-82.6574	0.33%
19	28	23	24	2	314.1592	61.63466	3.682561	0.059748	18.77038	-79.786	0.40%
18	29	23	24	2	471.2389	45.28458	2.14708	0.047413	22.34276	-77.3865	0.57%
17	30	22	25	2	209.4395	29.15406	4.61677	0.158358	33.16625	-154.5	0.32%
21	24	22	23	2	31.4159	97.09206	83.20876	0.857009	26.92344	17.18641	0.75%
20	25	22	23	2	94.2478	76.75198	23.71103	0.30893	29.11596	22.44018	0.29%

19	26	22	23	2	188.4955	61.50031	9.605749	0.15619	29.44106	26.52156	0.31%
18	27	22	23	2	314.1592	58.59466	6.318217	0.107829	33.87543	31.07488	0.42%
17	28	22	23	2	471.2389	30.68197	2.516905	0.082032	38.65656	33.42171	0.38%
16	29	21	24	2	209.4395	43.15971	8.621243	0.199752	41.83577	-34.6626	0.46%
15	30	21	24	2	282.7433	45.6379	7.685399	0.168399	47.61362	-24.8116	0.53%
20	23	21	22	2	31.4159	77.97131	88.94547	1.140746	35.83746	59.92386	0.38%
19	24	21	22	2	94.2478	64.01659	26.03901	0.406754	38.33562	61.5412	0.11%
18	25	21	22	2	188.4955	57.87667	12.6004	0.217711	41.03746	62.78826	0.25%
17	26	21	22	2	314.1592	30.69598	4.500263	0.146608	46.05792	63.72211	0.57%
16	27	21	22	2	471.2389	54.99389	6.044749	0.109917	51.79688	64.38474	0.33%
15	28	20	23	2	209.4395	49.46937	14.0043	0.28309	59.29012	-153.488	0.27%
14	29	20	23	2	282.7433	81.95715	17.46686	0.213122	60.25851	-139.834	0.51%
13	30	20	23	2	366.5192	83.52276	16.28384	0.194963	71.45753	-129.205	0.28%
19	22	20	21	2	31.4159	59.12289	103.8561	1.756613	55.18528	-194.955	0.43%
18	23	20	21	2	94.2478	58.55068	29.55008	0.504692	47.56588	-190.822	0.48%
17	24	20	21	2	188.4955	31.33546	8.432908	0.269117	50.72699	-187.191	0.80%
16	25	20	21	2	314.1592	54.36707	8.682116	0.159694	50.1693	-183.858	0.29%
15	26	20	21	2	471.2389	49.39741	6.624138	0.134099	63.1924	-180.793	0.33%
14	27	19	22	2	209.4395	139.4387	43.4002	0.311249	65.18765	-6.2758	0.52%
13	28	19	22	2	282.7433	96.81237	26.37469	0.272431	77.02763	2.419238	0.59%
12	29	19	22	2	366.5192	83.76199	18.83214	0.224829	82.40379	8.947878	0.55%
11	30	19	22	2	460.7669	79.03274	15.47297	0.195779	90.20821	14.08755	0.58%
18	21	19	20	2	31.4159	45.0135	96.18137	2.136723	67.12695	149.1128	0.24%
17	22	19	20	2	94.2478	30.09817	15.44737	0.513233	48.371	149.6087	0.13%
16	23	19	20	2	188.4955	54.94617	13.60031	0.247521	46.6564	149.7815	0.25%
15	24	19	20	2	314.1592	51.01769	8.735884	0.171232	53.79415	149.724	0.15%

14	25	19	20	2	471.2389	134.4413	18.55349	0.138004	65.03259	149.4478	0.66%
13	26	18	21	2	209.4395	96.03497	33.96493	0.353672	74.07253	-137.406	0.54%
12	27	18	21	2	282.7433	144.6047	42.90558	0.296709	83.89208	-128.904	0.65%
11	28	18	21	2	366.5192	90.84703	22.63432	0.249148	91.31706	-121.845	0.44%
10	29	18	21	2	460.7669	80.93752	16.6689	0.205948	94.89351	-115.831	0.47%
9	30	18	21	2	565.4865	86.40788	15.50913	0.179487	101.4976	-110.606	0.32%
17	20	18	19	2	31.4159	25.24324	61.9142	2.452704	77.0534	-84.5053	0.54%
16	21	18	19	2	94.2478	42.80107	21.08942	0.492731	46.43879	-81.9027	0.17%
15	22	18	19	2	188.4955	47.8428	10.82977	0.226362	42.66806	-79.6469	0.17%
14	23	18	19	2	314.1592	138.2268	23.2326	0.168076	52.80224	-77.4092	0.63%
13	24	18	19	2	471.2389	102.0943	14.90675	0.14601	68.80492	-75.3647	0.62%
12	25	17	20	2	209.4395	139.1962	62.51981	0.449149	94.06854	116.9202	0.79%
11	26	17	20	2	282.7433	90.18038	32.59158	0.361404	102.1842	122.3553	0.43%
10	27	17	20	2	366.5192	136.0226	39.69454	0.291823	106.9584	126.2525	0.50%
9	28	17	20	2	460.7669	100.7673	25.25345	0.250611	115.4733	129.068	0.29%
8	29	17	20	2	565.4865	85.73411	19.27078	0.224774	127.1062	131.1033	0.40%
7	30	16	21	2	395.8407	110.7756	37.0065	0.334067	132.2371	-188.032	0.36%
16	19	17	18	2	31.4159	34.75353	89.07322	2.562998	80.51878	84.45267	0.19%
15	20	17	18	2	94.2478	36.47104	25.35424	0.695188	65.51981	84.08036	0.20%
14	21	17	18	2	188.4955	80.46994	28.49929	0.354161	66.75765	83.64688	0.11%
13	22	17	18	2	314.1592	90.03262	24.24065	0.269243	84.58468	83.15215	0.54%
12	23	17	18	2	471.2389	143.2392	30.6667	0.214094	100.8887	82.54687	0.66%
11	24	16	19	2	209.4395	95.48467	45.22121	0.473597	99.1894	-216.834	0.51%
10	25	16	19	2	282.7433	131.1684	51.92369	0.395855	111.9247	-201.193	0.61%
9	26	16	19	2	366.5192	99.94972	32.64192	0.326583	119.6989	-194.7	0.28%
8	27	16	19	2	460.7669	150.5347	42.39898	0.281656	129.7772	-189.169	0.49%

7	28	16	19	2	565.4865	135.4845	33.55877	0.247695	140.0674	-184.335	0.51%
6	29	15	20	2	395.8407	93.42925	35.89363	0.38418	152.0736	-62.5335	0.48%
5	30	15	20	2	471.2389	114.5645	37.82768	0.330187	155.5966	-58.0748	0.31%
15	18	16	17	2	31.4159	31.60222	64.27445	2.033859	63.89542	-177.397	0.15%
14	19	16	17	2	94.2478	56.41028	36.91795	0.654454	61.68078	-174.766	0.29%
13	20	16	17	2	188.4955	57.02118	22.56594	0.395747	74.59599	-172.295	0.53%
12	21	16	17	2	314.1592	82.06307	21.45025	0.261387	82.11717	-169.905	0.10%
11	22	16	17	2	471.2389	84.88411	16.56196	0.195113	91.94428	-167.448	0.48%
10	23	15	18	2	209.4395	134.7129	68.40795	0.507806	106.3539	-146.803	0.61%
9	24	15	18	2	282.7433	106.5546	46.19465	0.43353	122.5775	-135.181	0.38%
8	25	15	18	2	366.5192	144.5433	55.13955	0.381474	139.8169	-129.545	0.54%
7	26	15	18	2	460.7669	133.8963	44.14003	0.329658	151.8949	-124.757	0.47%
6	27	15	18	2	565.4865	176.4794	51.38898	0.29119	164.6636	-120.67	0.35%
5	28	14	19	2	395.8407	141.2202	51.54243	0.364979	144.4733	-200.207	0.34%
4	29	14	19	2	471.2389	79.283	26.95087	0.339933	160.189	-195.958	0.46%
3	30	14	19	2	552.9205	120.6537	34.70783	0.287665	159.0438	-192.11	0.82%
14	17	15	16	2	31.4159	29.40599	47.77134	1.624545	51.03651	-5.12229	0.08%
13	18	15	16	2	94.2478	45.90919	30.53725	0.665166	62.69035	-4.19818	0.17%
12	19	15	16	2	188.4955	57.18427	23.66065	0.413761	77.99214	-3.34165	0.06%
11	20	15	16	2	314.1592	54.9501	15.81212	0.287754	90.40038	-2.48816	0.26%
10	21	15	16	2	471.2389	79.08435	17.19039	0.217368	102.4321	-1.67644	0.07%
9	22	14	17	2	209.4395	93.49567	41.24632	0.441158	92.3956	-192.885	0.31%
8	23	14	17	2	282.7433	148.9207	56.30349	0.378077	106.8982	-187.587	0.62%
7	24	14	17	2	366.5192	146.0518	48.8346	0.334365	122.5505	-183.145	0.63%
6	25	14	17	2	460.7669	168.3002	50.88412	0.302341	139.3081	-179.279	0.58%
5	26	14	17	2	565.4865	139.4859	35.50197	0.25452	143.9273	-175.847	0.44%

4	27	13	18	2	395.8407	131.3032	47.79674	0.364018	144.0928	-102.533	0.47%
3	28	13	18	2	471.2389	153.9044	47.51011	0.308699	145.4682	-96.7288	0.63%
2	29	13	18	2	552.9205	87.21571	24.80397	0.284398	157.2493	-91.5136	0.21%
1	30	13	18	2	640.885	130.3166	32.76896	0.251456	161.1541	-86.7777	0.54%
13	16	14	15	2	31.4159	43.67736	56.29365	1.288852	40.49031	-19.4542	0.25%
12	17	14	15	2	94.2478	29.60841	14.92509	0.504083	47.50869	-18.8603	0.01%
11	18	14	15	2	188.4955	44.57333	12.6152	0.283021	53.34813	-18.3065	0.23%
10	19	14	15	2	314.1592	55.69363	11.45554	0.205689	64.61899	-17.5853	0.03%
9	20	14	15	2	471.2389	58.40139	9.277856	0.158864	74.86226	-17.1639	0.63%
8	21	13	16	2	209.4395	83.577	33.4687	0.400453	83.87046	-50.3249	0.46%
7	22	13	16	2	282.7433	122.5141	40.71125	0.332298	93.9547	-40.159	0.49%
6	23	13	16	2	366.5192	174.4232	50.37019	0.288781	105.8432	-31.8463	0.77%
5	24	13	16	2	460.7669	152.8111	38.0476	0.248984	114.7235	-24.8278	0.41%
4	25	13	16	2	565.4865	126.8662	29.00608	0.228635	129.2896	-18.8065	0.49%
3	26	12	17	2	395.8407	152.3261	52.23353	0.342906	135.7345	-197.536	0.70%
2	27	12	17	2	471.2389	154.7728	47.90823	0.309539	145.8667	-194.519	0.16%
1	28	12	17	2	552.9205	166.0782	44.86444	0.27014	149.3655	-191.781	0.49%
12	15	13	14	2	31.4159	46.66641	53.94391	1.155947	36.31508	31.03212	0.12%
11	16	13	14	2	94.2478	42.46645	18.80597	0.442843	41.7369	33.11541	0.15%
10	17	13	14	2	188.4955	29.20644	7.207621	0.246782	46.51727	35.74498	0.11%
9	18	13	14	2	314.1592	46.79193	7.843122	0.167617	52.65836	37.25182	0.18%
8	19	13	14	2	471.2389	57.84235	7.490725	0.129502	61.02647	38.63961	0.19%
7	20	12	15	2	209.4395	68.57618	28.39607	0.414081	86.72437	-132.526	0.42%
6	21	12	15	2	282.7433	91.09576	29.80785	0.327214	92.5174	-125.436	0.31%
5	22	12	15	2	366.5192	127.1834	33.48307	0.263266	96.49169	-119.749	0.49%
4	23	12	15	2	460.7669	130.2715	30.65854	0.235343	108.438	-115.031	0.55%

3	24	12	15	2	565.4865	168.6035	32.83573	0.194751	110.1283	-111.015	0.53%
2	25	11	16	2	395.8407	148.5179	55.1436	0.371293	146.9721	-154.161	0.52%
1	26	11	16	2	471.2389	163.6739	52.06886	0.318126	149.9121	-147.3	0.65%
11	14	12	13	2	31.4159	79.57132	124.7966	1.568361	49.27127	-99.7107	0.53%
10	15	12	13	2	94.2478	45.66034	27.72896	0.607288	57.23542	-99.4608	0.19%
9	16	12	13	2	188.4955	44.50791	17.30975	0.388914	73.30847	-99.2402	0.10%
8	17	12	13	2	314.1592	29.77751	8.326265	0.279616	87.84386	-99.1652	0.10%
7	18	12	13	2	471.2389	53.11309	10.95492	0.206257	97.19596	-99.12	0.16%
6	19	11	14	2	209.4395	61.41063	30.13874	0.490774	102.7871	-228.9	0.28%
5	20	11	14	2	282.7433	70.001	26.76501	0.382352	108.1066	-215.935	0.51%
4	21	11	14	2	366.5192	77.41024	25.51875	0.329656	120.8249	-205.225	0.41%
3	22	11	14	2	460.7669	137.9386	36.07851	0.261555	120.5146	-196.121	0.76%
2	23	11	14	2	565.4865	153.2467	36.07457	0.235402	133.116	-188.218	0.54%
1	24	10	15	2	395.8407	182.385	65.24871	0.357753	141.6121	-155.79	0.66%
10	13	11	12	2	31.4159	82.66946	130.7385	1.581461	49.68266	-102.273	0.58%
9	14	11	12	2	94.2478	86.99529	58.23756	0.669433	63.09251	-97.7523	0.35%
8	15	11	12	2	188.4955	47.10753	22.87999	0.485697	91.55138	-93.6493	0.32%
7	16	11	12	2	314.1592	50.1587	17.71556	0.35319	110.9578	-88.3933	0.10%
6	17	11	12	2	471.2389	30.70728	8.285241	0.269814	127.1466	-85.3473	0.02%
5	18	10	13	2	209.4395	53.96463	32.27161	0.598014	125.2477	-263.667	0.09%
4	19	10	13	2	282.7433	54.83662	27.54395	0.502291	142.0187	-251.827	0.53%
3	20	10	13	2	366.5192	73.01145	27.71123	0.379546	139.1098	-242.067	0.51%
2	21	10	13	2	460.7669	84.97042	27.81094	0.327301	150.8094	-233.814	0.22%
1	22	10	13	2	565.4865	147.0043	40.5159	0.27561	155.8528	-226.672	0.62%
9	12	10	11	2	31.4159	89.24966	164.5722	1.843954	57.92935	-4.57147	0.31%
8	13	10	11	2	94.2478	87.65289	69.26508	0.79022	74.47606	-2.81193	0.59%

7	14	10	11	2	188.4955	111.4369	59.1461	0.530759	100.0452	-1.27648	0.57%
6	15	10	11	2	314.1592	49.47174	20.48742	0.414124	130.0999	0.139743	0.58%
5	16	10	11	2	471.2389	50.93402	15.23994	0.29921	140.9993	1.365599	0.06%
4	17	9	12	2	209.4395	28.9494	22.45486	0.775659	162.4534	-292.992	0.17%
3	18	9	12	2	282.7433	55.61057	30.62103	0.550633	155.6874	-283.827	0.26%
2	19	9	12	2	366.5192	58.5704	27.21763	0.464699	170.3214	-276.253	0.09%
1	20	9	12	2	460.7669	75.66184	28.16278	0.372219	171.5056	-269.805	0.29%
8	11	9	10	2	31.4159	82.9771	162.3601	1.956686	61.47062	-182.348	0.61%
7	12	9	10	2	94.2478	115.0375	113.4506	0.986206	92.94744	-180.665	0.44%
6	13	9	10	2	188.4955	96.06144	62.73332	0.653054	123.0968	-179.104	0.67%
5	14	9	10	2	314.1592	115.2395	50.05306	0.434339	136.4513	-177.739	0.58%
4	15	9	10	2	471.2389	45.10314	16.55967	0.367151	173.0151	-176.498	0.42%
3	16	8	11	2	209.4395	52.34858	39.4246	0.753117	157.7319	-244.009	0.20%
2	17	8	11	2	282.7433	29.99071	18.25461	0.608675	172.0988	-224.04	0.07%
1	18	8	11	2	366.5192	57.20401	25.98526	0.454256	166.4934	-208.349	0.11%
7	10	8	9	2	31.4159	109.8051	210.9538	1.921165	60.35489	32.02783	0.45%
6	11	8	9	2	94.2478	90.4696	86.70534	0.958392	90.32537	35.92232	0.71%
5	12	8	9	2	188.4955	119.0185	64.82262	0.544643	102.6626	39.30389	0.48%
4	13	8	9	2	314.1592	80.96696	34.95773	0.431753	135.6385	42.28584	0.59%
3	14	8	9	2	471.2389	123.7026	36.6074	0.295931	139.4528	44.88056	0.75%
2	15	7	10	2	209.4395	47.62171	38.5119	0.808705	169.3745	-295.498	0.12%
1	16	7	10	2	282.7433	53.79322	30.74006	0.571449	161.5732	-280.181	0.06%
6	9	7	8	2	31.4159	100.8835	255.9308	2.536894	79.6982	-92.1209	0.66%
5	10	7	8	2	94.2478	113.2508	109.1633	0.963908	90.8459	-88.2288	0.43%
4	11	7	8	2	188.4955	76.90217	54.40052	0.707399	133.3406	-84.8399	0.59%
3	12	7	8	2	314.1592	128.1369	54.97609	0.429042	134.7865	-81.6687	0.55%

2	13	7	8	2	471.2389	89.17516	29.53072	0.331154	156.0518	-78.8445	0.58%
1	14	6	9	2	209.4395	130.985	91.56537	0.699052	146.4084	-76.2529	0.56%
5	8	6	7	2	31.4159	123.5243	318.7883	2.580773	81.07703	43.50217	0.61%
4	9	6	7	2	94.2478	84.06194	124.1949	1.477422	139.2427	46.22124	0.68%
3	10	6	7	2	188.4955	121.4656	85.83131	0.706631	133.1958	48.37815	0.52%
2	11	6	7	2	314.1592	84.22792	42.59522	0.505714	158.8738	49.97665	0.43%
1	12	6	7	2	471.2389	135.764	40.44242	0.297888	140.3759	51.1807	0.30%
4	7	5	6	2	31.4159	107.1842	851.7153	7.946279	249.6373	-201.588	0.78%
3	8	5	6	2	94.2478	133.3969	368.5067	2.762484	260.3558	-194.761	0.63%
2	9	5	6	2	188.4955	92.90456	166.599	1.793227	338.0137	-188.895	0.48%
1	10	5	6	2	314.1592	128.2356	109.2182	0.851699	267.5686	-184.033	0.20%
3	6	4	5	2	31.4159	155.4481	1035.268	6.659894	209.2246	72.1517	0.76%
2	7	4	5	2	94.2478	121.6822	475.176	3.905056	368.0412	85.36559	0.53%
1	8	4	5	2	188.4955	141.4118	199.2027	1.408671	265.5272	99.082	0.38%
2	5	3	4	2	31.4159	127.9098	2695.036	21.06982	661.92	-45.7858	1.01%
1	6	3	4	2	94.2478	165.5887	909.9117	5.49501	517.8914	-76.8407	0.33%
1	4	2	3	2	31.4159	126.2523	851.704	6.746048	211.9329	-131.517	0.45%

5. Lintasan V (Kelima)

A(C1)	B(C2)	M(P1)	N(P2)	Stacking	K	I(mA)	V(mV)	R(Ohm)	R0	SP	R0_RD
27	30	28	29	2	31.4159	196.3306	295.4375	1.504796	47.27439	5.411083	0.75%
26	29	27	28	2	31.4159	140.3913	238.9757	1.702212	53.47649	-503.013	0.26%
25	30	27	28	2	94.2478	206.2495	195.0035	0.945474	89.10851	-368.968	0.63%
25	28	26	27	2	31.4159	211.2215	577.9256	2.736111	85.95715	-2.82252	0.56%
24	29	26	27	2	94.2478	47.759	68.0377	1.424605	134.2651	2.097898	0.55%

23	30	26	27	2	188.4955	115.0408	90.84721	0.789696	148.8536	0.897269	0.47%
24	27	25	26	2	31.4159	44.77999	106.3604	2.375178	74.61829	-31.1207	0.12%
23	28	25	26	2	94.2478	116.4339	115.2233	0.989603	93.26767	-19.4778	0.35%
22	29	25	26	2	188.4955	100.2775	62.43206	0.622593	117.3551	-11.4999	0.61%
21	30	25	26	2	314.1592	44.57756	17.29574	0.387992	121.8909	-5.42831	0.41%
23	26	24	25	2	31.4159	82.44647	233.9833	2.838002	89.1582	-39.0125	0.35%
22	27	24	25	2	94.2478	87.36076	112.4389	1.287064	121.3021	-36.5185	0.54%
21	28	24	25	2	188.4955	44.86845	32.48456	0.723996	136.4695	-35.3959	0.34%
20	29	24	25	2	314.1592	83.28375	40.89122	0.490987	154.2476	-35.5625	0.43%
19	30	24	25	2	471.2389	103.6984	36.67645	0.353684	166.6692	-36.022	0.31%
22	25	23	24	2	31.4159	90.06165	499.6543	5.547915	174.292	-70.8882	0.44%
21	26	23	24	2	94.2478	38.6891	70.68922	1.827109	172.2008	-62.3335	0.15%
20	27	23	24	2	188.4955	74.03902	73.38396	0.991152	186.8272	-55.1218	0.41%
19	28	23	24	2	314.1592	104.6514	69.37439	0.662909	208.2586	-49.0833	0.34%
18	29	23	24	2	471.2389	137.5905	67.96722	0.493982	232.7819	-43.8624	0.73%
17	30	22	25	2	209.4395	92.38065	80.80654	0.874713	183.199	-135.159	0.40%
21	24	22	23	2	31.4159	25.30238	66.63101	2.633389	82.73031	-14.1245	0.13%
20	25	22	23	2	94.2478	75.78489	79.59035	1.050214	98.98012	-10.3814	0.42%
19	26	22	23	2	188.4955	76.13787	46.02091	0.604442	113.9342	-7.55803	0.43%
18	27	22	23	2	314.1592	113.8562	44.93045	0.394624	123.9743	-4.59176	0.55%
17	28	22	23	2	471.2389	93.1835	25.92103	0.278172	131.0849	-3.27795	0.58%
16	29	21	24	2	209.4395	67.27922	60.95116	0.905943	189.7403	-200.908	0.11%
15	30	21	24	2	282.7433	47.19236	32.19827	0.682277	192.9088	-192.02	0.27%
20	23	21	22	2	31.4159	59.02924	400.9834	6.792962	213.4066	-149.91	0.28%
19	24	21	22	2	94.2478	37.2202	59.94766	1.610622	151.7974	-147.21	0.10%
18	25	21	22	2	188.4955	117.9301	106.9268	0.906697	170.9078	-144.748	0.45%

17	26	21	22	2	314.1592	69.86159	39.99115	0.572434	179.8349	-142.743	0.34%
16	27	21	22	2	471.2389	61.09658	23.24941	0.380535	179.3226	-140.951	0.38%
15	28	20	23	2	209.4395	47.48505	33.24901	0.7002	146.6488	-149.424	0.45%
14	29	20	23	2	282.7433	87.14283	47.07451	0.5402	152.7371	-135.744	0.62%
13	30	20	23	2	366.5192	70.14401	30.94496	0.441163	161.6947	-125.122	0.33%
19	22	20	21	2	31.4159	63.09721	269.0939	4.264751	133.9804	57.0364	0.49%
18	23	20	21	2	94.2478	81.64011	123.7284	1.515534	142.8351	59.9238	0.42%
17	24	20	21	2	188.4955	35.59927	23.94102	0.672514	126.7659	62.62638	0.13%
16	25	20	21	2	314.1592	62.15501	25.79468	0.415006	130.3775	64.90054	0.62%
15	26	20	21	2	471.2389	40.57954	11.75582	0.289698	136.5161	66.82105	0.82%
14	27	19	22	2	209.4395	76.97281	51.7217	0.671948	140.7318	-271.44	0.51%
13	28	19	22	2	282.7433	70.72376	37.4289	0.529227	149.6349	-255.768	0.50%
12	29	19	22	2	366.5192	143.1926	60.54482	0.422821	154.9706	-243.007	0.78%
11	30	19	22	2	460.7669	96.88947	34.16738	0.352643	162.4861	-232.329	0.06%
18	21	19	20	2	31.4159	38.58596	208.8447	5.412454	170.0367	-127.282	0.34%
17	22	19	20	2	94.2478	58.64257	73.09541	1.246457	117.4753	-122.161	0.40%
16	23	19	20	2	188.4955	50.47067	33.02798	0.654399	123.3511	-117.622	0.31%
15	24	19	20	2	314.1592	26.06862	9.21127	0.353347	111.007	-111.988	0.34%
14	25	19	20	2	471.2389	78.63087	18.98891	0.241494	113.8013	-108.846	0.31%
13	26	18	21	2	209.4395	56.47807	32.26011	0.571197	119.6307	-48.573	0.47%
12	27	18	21	2	282.7433	117.6312	48.83976	0.415194	117.393	-35.7111	0.21%
11	28	18	21	2	366.5192	97.72613	32.7141	0.334753	122.6928	-25.0569	0.53%
10	29	18	21	2	460.7669	124.2605	35.19417	0.283229	130.5015	-16.1367	0.61%
9	30	18	21	2	565.4865	171.1613	42.16121	0.246324	139.2925	-8.43865	0.57%
17	20	18	19	2	31.4159	52.3881	208.5792	3.981423	125.0795	57.98006	0.37%
16	21	18	19	2	94.2478	29.76849	32.54268	1.093192	103.0308	59.2339	0.23%

15	22	18	19	2	188.4955	36.39269	16.00269	0.439723	82.88543	60.42475	0.46%
14	23	18	19	2	314.1592	60.76153	16.98128	0.279474	87.79909	61.40451	0.38%
13	24	18	19	2	471.2389	31.77368	5.836279	0.183683	86.55854	62.23306	0.06%
12	25	17	20	2	209.4395	121.7812	60.87342	0.499859	104.6896	-110.09	0.48%
11	26	17	20	2	282.7433	72.27523	29.01803	0.401493	113.5196	-97.165	0.03%
10	27	17	20	2	366.5192	104.5567	32.64297	0.312203	114.4279	-86.5495	0.46%
9	28	17	20	2	460.7669	173.4795	45.79389	0.263973	121.6297	-77.657	0.33%
8	29	17	20	2	565.4865	143.5134	32.94286	0.229546	129.8044	-70.029	0.46%
7	30	16	21	2	395.8407	161.7054	58.63551	0.362607	143.5341	-39.3453	0.43%
16	19	17	18	2	31.4159	48.13952	214.3312	4.452291	139.8718	-9.01243	0.55%
15	20	17	18	2	94.2478	33.87437	43.63512	1.288146	121.4046	-6.39178	0.21%
14	21	17	18	2	188.4955	33.00894	19.84386	0.601166	113.3168	-3.90224	0.29%
13	22	17	18	2	314.1592	48.92753	16.81413	0.343654	107.9613	-1.80094	0.63%
12	23	17	18	2	471.2389	83.5677	20.52692	0.245632	115.7513	0.266733	0.11%
11	24	16	19	2	209.4395	36.18653	17.02283	0.470419	98.52421	-119.778	0.19%
10	25	16	19	2	282.7433	107.7317	40.37495	0.374773	105.9642	-93.8732	0.42%
9	26	16	19	2	366.5192	106.4135	33.90769	0.318641	116.7878	-81.3255	0.22%
8	27	16	19	2	460.7669	117.66	30.2026	0.256694	118.2757	-70.8178	0.38%
7	28	16	19	2	565.4865	163.7637	36.27329	0.221498	125.2533	-61.8312	0.62%
6	29	15	20	2	395.8407	264.4995	90.16239	0.340879	134.932	-122.128	1.04%
5	30	15	20	2	471.2389	109.7793	33.64209	0.306452	144.4118	-115.09	0.37%
15	18	16	17	2	31.4159	40.47043	160.2545	3.959793	124.4001	-82.9476	0.32%
14	19	16	17	2	94.2478	57.31128	93.75978	1.635974	154.1843	-80.1216	1.40%
13	20	16	17	2	188.4955	44.51074	27.65645	0.621343	117.1201	-77.2868	0.27%
12	21	16	17	2	314.1592	38.89315	12.91718	0.33212	104.3384	-74.4628	0.11%
11	22	16	17	2	471.2389	60.22044	12.81504	0.212802	100.2802	-71.8299	0.42%

10	23	15	18	2	209.4395	76.7627	41.94734	0.546455	114.4489	-174.441	0.20%
9	24	15	18	2	282.7433	43.24909	17.52507	0.405212	114.5711	-153.953	0.16%
8	25	15	18	2	366.5192	121.7121	40.89215	0.335974	123.1408	-144.054	0.24%
7	26	15	18	2	460.7669	102.7657	29.8577	0.290541	133.8715	-135.617	0.29%
6	27	15	18	2	565.4865	188.1674	44.73767	0.237755	134.4454	-128.296	0.70%
5	28	14	19	2	395.8407	110.6874	71.5594	0.6465	255.9114	-62.5746	0.38%
4	29	14	19	2	471.2389	51.87089	43.20647	0.832962	392.5225	-53.621	0.56%
3	30	14	19	2	552.9205	75.65522	23.38702	0.309126	170.9216	-45.7528	0.29%
14	17	15	16	2	31.4159	53.80528	162.2329	3.015186	94.72483	-46.0892	0.03%
13	18	15	16	2	94.2478	56.47643	62.03491	1.098421	103.5229	-44.1752	0.94%
12	19	15	16	2	188.4955	77.20628	41.23305	0.534063	100.6679	-42.5815	0.50%
11	20	15	16	2	314.1592	53.64054	17.26761	0.321913	101.1317	-41.113	0.31%
10	21	15	16	2	471.2389	37.23906	8.545109	0.229466	108.1332	-39.6206	0.18%
9	22	14	17	2	209.4395	82.13809	40.90743	0.498032	104.3076	-169.256	0.12%
8	23	14	17	2	282.7433	83.53116	34.2286	0.40977	115.8597	-156.256	0.19%
7	24	14	17	2	366.5192	42.6554	13.47335	0.315865	115.7706	-145.487	0.14%
6	25	14	17	2	460.7669	199.3851	67.38997	0.337989	155.7305	-136.032	1.76%
5	26	14	17	2	565.4865	78.87163	41.28153	0.523401	295.9714	-127.787	1.74%
4	27	13	18	2	395.8407	47.58353	39.61644	0.832566	329.561	-95.898	2.12%
3	28	13	18	2	471.2389	76.24509	26.11124	0.342464	161.3819	-149.004	0.42%
2	29	13	18	2	552.9205	37.15358	9.86205	0.26544	146.7672	-141.276	0.01%
1	30	13	18	2	640.885	62.13268	18.69838	0.300943	192.8688	-134.146	0.75%
13	16	14	15	2	31.4159	39.58709	156.3968	3.950702	124.1139	1.373037	0.56%
12	17	14	15	2	94.2478	70.97431	64.91876	0.91468	86.20624	3.807435	0.29%
11	18	14	15	2	188.4955	71.98179	29.62437	0.411554	77.57565	5.936305	0.49%
10	19	14	15	2	314.1592	71.37973	19.08419	0.267361	83.99332	8.618027	0.62%

9	20	14	15	2	471.2389	70.34055	13.57784	0.19303	90.96317	10.1243	0.13%
8	21	13	16	2	209.4395	38.84662	18.60114	0.478836	100.2871	-176.187	0.08%
7	22	13	16	2	282.7433	79.99493	29.09177	0.36367	102.8252	-162.235	0.19%
6	23	13	16	2	366.5192	113.8554	39.70117	0.348698	127.802	-150.487	1.49%
5	24	13	16	2	460.7669	37.7488	16.5881	0.439434	202.4765	-3.29293	0.32%
4	25	13	16	2	565.4865	48.48956	27.57547	0.568689	321.5821	-132.036	1.38%
3	26	12	17	2	395.8407	59.73573	20.50058	0.343188	135.8467	-207.414	0.84%
2	27	12	17	2	471.2389	35.18671	10.08668	0.286662	135.0858	-201.706	0.28%
1	28	12	17	2	552.9205	62.57895	15.85148	0.253304	140.0564	-196.646	0.49%
12	15	13	14	2	31.4159	41.02459	118.9309	2.899014	91.07502	-67.1518	0.24%
11	16	13	14	2	94.2478	46.64068	54.62421	1.171171	110.3802	-64.4939	0.09%
10	17	13	14	2	188.4955	66.01326	19.56082	0.296317	55.85406	-61.1383	0.40%
9	18	13	14	2	314.1592	105.7163	19.82752	0.187554	58.92165	-59.1855	0.29%
8	19	13	14	2	471.2389	77.15779	11.07941	0.143594	67.66689	-57.3867	0.36%
7	20	12	15	2	209.4395	68.79758	29.40499	0.427413	89.51712	-149.435	0.12%
6	21	12	15	2	282.7433	44.41885	15.85232	0.356883	100.906	-141.699	0.40%
5	22	12	15	2	366.5192	64.63985	19.08372	0.295232	108.2079	-135.536	0.10%
4	23	12	15	2	460.7669	41.00738	11.00131	0.268276	123.613	-130.418	0.10%
3	24	12	15	2	565.4865	32.67769	6.788203	0.207732	117.4698	-126.094	0.23%
2	25	11	16	2	395.8407	35.53464	11.09316	0.312179	123.5727	-217.641	0.33%
1	26	11	16	2	471.2389	51.05568	12.82174	0.251132	118.3443	-210.293	0.98%
11	14	12	13	2	31.4159	55.36207	201.6581	3.642531	114.4331	-64.92	0.29%
10	15	12	13	2	94.2478	39.27233	34.58895	0.880746	83.00823	-64.9024	0.15%
9	16	12	13	2	188.4955	58.75662	24.66196	0.419731	79.11723	-65.1363	0.24%
8	17	12	13	2	314.1592	70.90853	16.21197	0.228632	71.82679	-65.3436	0.21%
7	18	12	13	2	471.2389	102.166	17.20587	0.168411	79.36162	-65.5338	0.19%

6	19	11	14	2	209.4395	102.354	33.10205	0.323407	67.73512	-256.734	0.82%
5	20	11	14	2	282.7433	57.21424	5.622087	0.098264	27.78347	-104.669	0.33%
4	21	11	14	2	366.5192	26.11112	6.083714	0.232993	85.39749	-106.604	1.96%
3	22	11	14	2	460.7669	50.9526	9.352288	0.183549	84.57669	-226.974	2.15%
2	23	11	14	2	565.4865	31.44012	6.176909	0.196466	111.0978	-219.851	0.98%
1	24	10	15	2	395.8407	29.90698	8.683957	0.290366	114.9381	-215.052	0.50%
10	13	11	12	2	31.4159	54.40033	139.7326	2.568599	80.69446	-63.2309	0.47%
9	14	11	12	2	94.2478	73.26336	52.92648	0.722414	68.08588	-59.9311	0.13%
8	15	11	12	2	188.4955	40.95484	12.93356	0.315801	59.52696	-56.9065	0.11%
7	16	11	12	2	314.1592	57.6985	10.89413	0.188811	59.31677	-53.0462	0.10%
6	17	11	12	2	471.2389	91.65102	12.27108	0.133889	63.09379	-50.8327	0.04%
5	18	10	13	2	209.4395	78.53243	7.642363	0.097315	20.38144	-59.9482	0.68%
4	19	10	13	2	282.7433	39.36641	9.803374	0.249029	70.41207	-251.974	1.32%
3	20	10	13	2	366.5192	46.06243	9.896009	0.214839	78.74179	-241.787	0.51%
2	21	10	13	2	460.7669	22.02887	4.951432	0.22477	103.5661	-233.205	0.52%
1	22	10	13	2	565.4865	44.74694	5.128233	0.114605	64.80788	-225.869	0.33%
9	12	10	11	2	31.4159	109.5018	220.4547	2.013252	63.24807	-62.8757	0.30%
8	13	10	11	2	94.2478	57.6446	30.18593	0.523656	49.35335	-60.448	0.19%
7	14	10	11	2	188.4955	71.57124	17.0305	0.237952	44.8528	-58.2754	0.11%
6	15	10	11	2	314.1592	47.16449	6.925957	0.146847	46.13327	-56.2728	0.10%
5	16	10	11	2	471.2389	49.27234	5.303439	0.107635	50.72186	-54.5074	0.09%
4	17	9	12	2	209.4395	37.55451	10.62292	0.282867	59.24302	-417.517	0.97%
3	18	9	12	2	282.7433	59.07559	15.25019	0.258147	72.98926	-409.845	0.07%
2	19	9	12	2	366.5192	30.52675	7.038422	0.230566	84.50686	-403.673	0.15%
1	20	9	12	2	460.7669	41.00843	7.972852	0.19442	89.58126	-398.574	1.23%
8	11	9	10	2	31.4159	73.67721	109.1217	1.481078	46.52933	-280.748	0.31%

7	12	9	10	2	94.2478	105.5423	48.2866	0.45751	43.11922	-280.338	0.22%
6	13	9	10	2	188.4955	70.62309	15.15918	0.214649	40.46035	-280.034	0.15%
5	14	9	10	2	314.1592	59.04229	8.252638	0.139775	43.91152	-279.9	0.23%
4	15	9	10	2	471.2389	27.08763	2.884648	0.106493	50.18365	-279.861	0.18%
3	16	8	11	2	209.4395	40.94493	11.79207	0.287998	60.31817	-467.467	0.05%
2	17	8	11	2	282.7433	29.50361	7.15414	0.242484	68.56033	-456.234	0.47%
1	18	8	11	2	366.5192	51.01136	10.45016	0.204859	75.08439	-447.914	0.87%
7	10	8	9	2	31.4159	95.08787	111.0179	1.167529	36.67896	-73.6197	0.25%
6	11	8	9	2	94.2478	96.19509	43.4155	0.451328	42.53657	-71.9254	0.15%
5	12	8	9	2	188.4955	80.38278	18.77957	0.233627	44.03745	-70.5116	0.41%
4	13	8	9	2	314.1592	33.50142	5.054747	0.150882	47.40076	-69.3191	0.17%
3	14	8	9	2	471.2389	47.43445	5.575905	0.11755	55.39393	-68.3236	0.12%
2	15	7	10	2	209.4395	22.70033	6.23177	0.274523	57.49586	-445.191	0.34%
1	16	7	10	2	282.7433	36.71711	8.136104	0.221589	62.65245	-432.52	0.52%
6	9	7	8	2	31.4159	167.8197	155.3368	0.925617	29.07899	-2.21324	0.39%
5	10	7	8	2	94.2478	74.21409	25.79022	0.347511	32.75207	0.952299	0.26%
4	11	7	8	2	188.4955	38.34922	8.061878	0.210223	39.62599	3.637524	0.23%
3	12	7	8	2	314.1592	60.29553	8.396933	0.139263	43.75063	6.120671	0.33%
2	13	7	8	2	471.2389	26.97269	2.748293	0.101892	48.01528	8.318154	0.12%
1	14	6	9	2	209.4395	42.00759	9.878556	0.235161	49.25186	-56.4689	0.41%
5	8	6	7	2	31.4159	80.32743	109.8837	1.367947	42.97537	133.5972	0.10%
4	9	6	7	2	94.2478	46.2268	37.34838	0.807938	76.14745	135.9541	1.38%
3	10	6	7	2	188.4955	56.76608	11.44925	0.201692	38.01831	138.0016	1.34%
2	11	6	7	2	314.1592	29.99072	3.633765	0.121163	38.06459	139.7128	0.32%
1	12	6	7	2	471.2389	51.86723	6.845908	0.131989	62.19855	141.1338	0.36%
4	7	5	6	2	31.4159	45.48331	266.9368	5.868896	184.3799	25.32775	1.50%

3	8	5	6	2	94.2478	60.42082	33.87659	0.560677	52.84214	-34.0235	1.24%
2	9	5	6	2	188.4955	34.58167	8.154859	0.235814	44.44987	36.63032	0.21%
1	10	5	6	2	314.1592	49.44447	13.09609	0.264865	83.20911	-8.14699	1.25%
3	6	4	5	2	31.4159	74.88497	563.4659	7.524419	236.3825	-52.7398	1.30%
2	7	4	5	2	94.2478	34.21254	12.11789	0.354194	33.38231	-85.5384	0.71%
1	8	4	5	2	188.4955	52.03683	17.15725	0.329714	62.14945	-58.4293	0.21%
2	5	3	4	2	31.4159	31.14564	187.2709	6.01275	188.8932	-226.508	2.14%
1	6	3	4	2	94.2478	62.37902	18.75639	0.300684	28.33832	-157.082	2.77%
1	4	2	3	2	31.4159	31.54261	254.8348	8.079066	253.811	197.887	0.24%

LAMPIRAN II
DATA PENGOLAHAN DI NOTEPAD

PENGOLAHAN DATA DI NOTEPAD

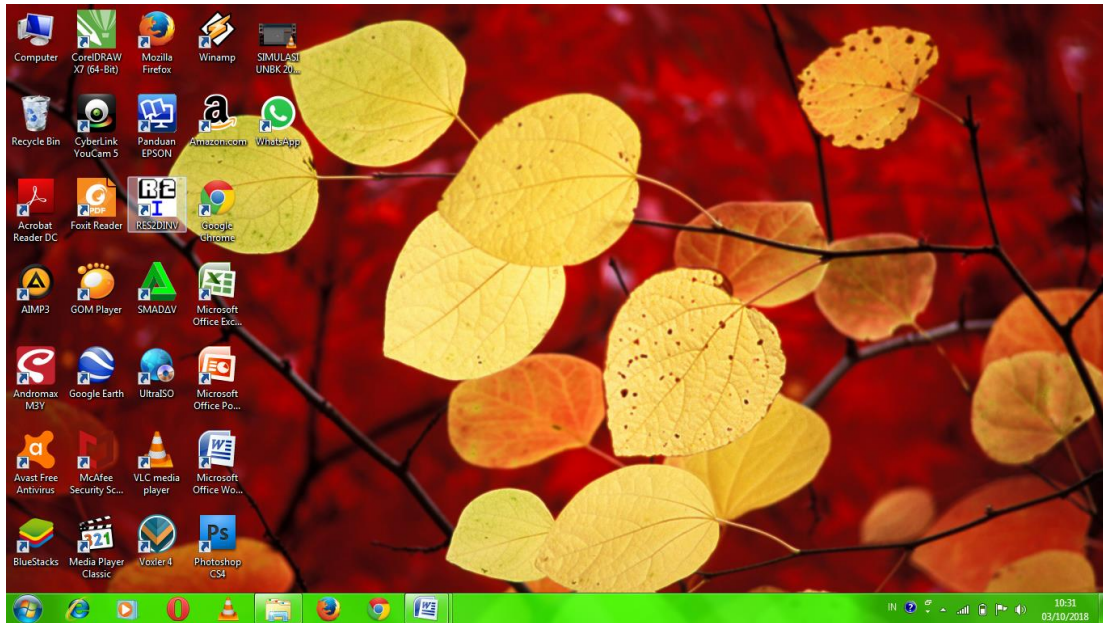
Lintasan 1

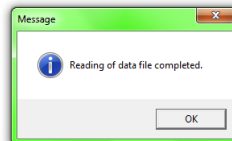
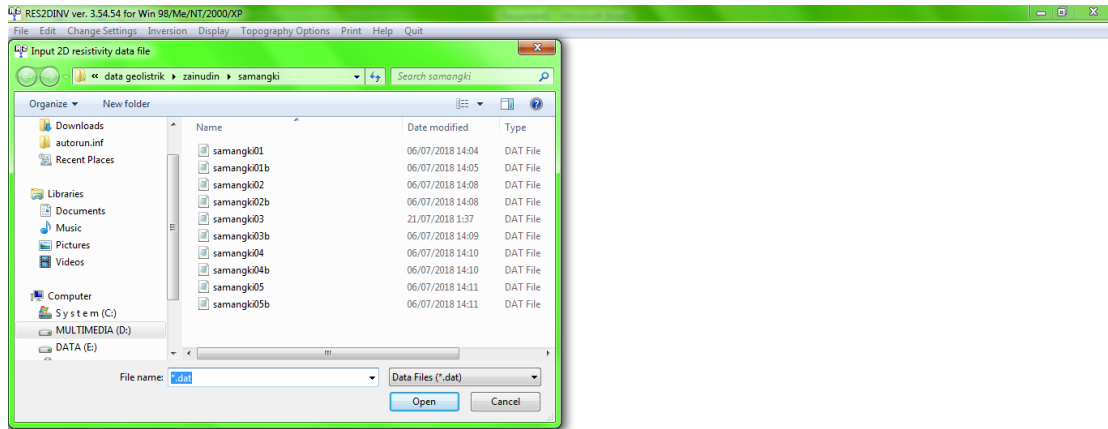
The image shows three Notepad windows side-by-side, illustrating a data processing workflow:

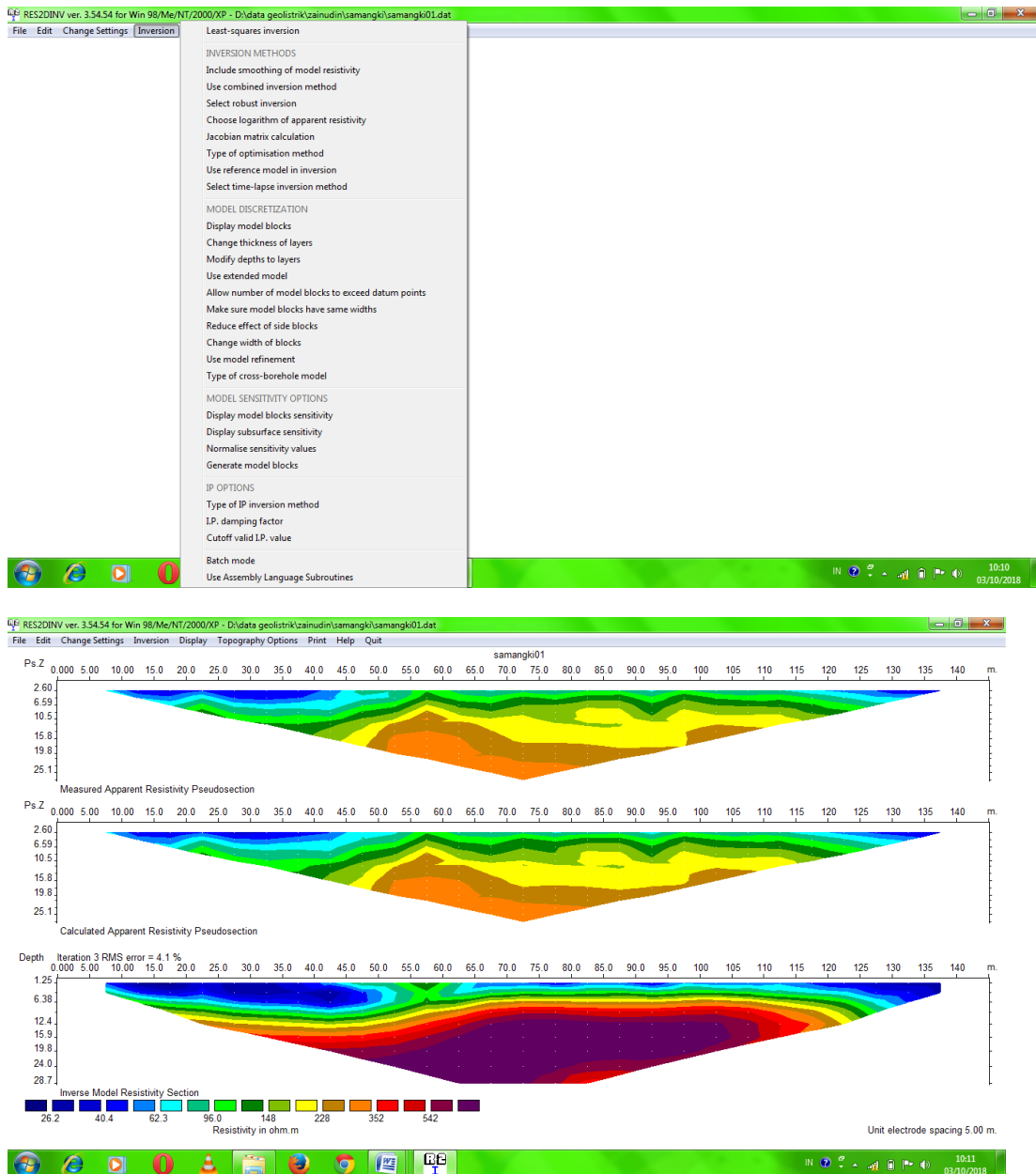
- Window 1 (Left):** Contains the header "samangki01" followed by a single line "5.00".
- Window 2 (Middle):** Contains a list of 50 data rows, each consisting of four values separated by spaces: (Price, Quantity, Unit, Value). The first few rows are: 12.50 5.00 2.0000 60.93, 17.50 5.00 2.0000 52.79, 22.50 5.00 2.0000 74.49, etc.
- Window 3 (Right):** Contains a list of 50 data rows, similar to Window 2, but with the last column removed. The first few rows are: 57.50 5.00 3.0000 182.55, 62.50 5.00 3.0000 136.36, 67.50 5.00 3.0000 124.68, etc.

File	Edit	Format	View	Help
107.50	5.00	4.0000	174.21	
112.50	5.00	4.0000	175.66	
117.50	5.00	4.0000	140.94	
122.50	5.00	4.0000	129.39	
27.50	5.00	5.0000	114.35	
32.50	5.00	5.0000	100.94	
37.50	5.00	5.0000	109.75	
42.50	5.00	5.0000	102.99	
47.50	5.00	5.0000	149.62	
52.50	5.00	5.0000	179.63	
57.50	5.00	5.0000	290.40	
62.50	5.00	5.0000	201.45	
67.50	5.00	5.0000	184.27	
72.50	5.00	5.0000	194.67	
77.50	5.00	5.0000	165.42	
82.50	5.00	5.0000	197.88	
87.50	5.00	5.0000	210.16	
92.50	5.00	5.0000	155.93	
97.50	5.00	5.0000	223.76	
102.50	5.00	5.0000	200.98	
107.50	5.00	5.0000	199.13	
112.50	5.00	5.0000	199.72	
117.50	5.00	5.0000	171.15	
32.50	15.00	1.6667	121.67	
37.50	15.00	1.6667	118.85	
42.50	15.00	1.6667	139.26	
47.50	15.00	1.6667	168.86	
52.50	15.00	1.6667	239.73	
57.50	15.00	1.6667	248.34	
62.50	15.00	1.6667	248.65	
67.50	15.00	1.6667	209.70	
72.50	15.00	1.6667	191.41	
77.50	15.00	1.6667	186.96	
87.50	15.00	2.3333	202.01	
92.50	15.00	2.3333	212.50	
97.50	15.00	2.3333	223.88	
102.50	15.00	2.3333	267.27	
47.50	15.00	2.6667	216.98	
52.50	15.00	2.6667	304.38	
57.50	15.00	2.6667	317.62	
62.50	15.00	2.6667	301.18	
67.50	15.00	2.6667	251.68	
72.50	15.00	2.6667	236.06	
77.50	15.00	2.6667	236.92	
82.50	15.00	2.6667	232.75	
87.50	15.00	2.6667	222.25	
92.50	15.00	2.6667	224.03	
97.50	15.00	2.6667	225.09	
52.50	15.00	3.0000	309.61	
57.50	15.00	3.0000	318.09	
62.50	15.00	3.0000	314.09	
67.50	15.00	3.0000	270.91	
72.50	15.00	3.0000	249.96	
77.50	15.00	3.0000	259.10	
82.50	15.00	3.0000	255.63	
87.50	15.00	3.0000	240.99	
92.50	15.00	3.0000	245.74	
57.50	25.00	1.8000	284.15	
62.50	25.00	1.8000	292.15	
67.50	25.00	1.8000	297.87	
72.50	25.00	1.8000	272.33	
77.50	25.00	1.8000	269.12	
82.50	25.00	1.8000	259.21	
87.50	25.00	1.8000	261.79	
62.50	25.00	2.0000	305.36	
67.50	25.00	2.0000	310.69	
67.50	25.00	2.0000	310.69	
72.50	25.00	2.0000	292.92	
77.50	25.00	2.0000	291.26	
82.50	25.00	2.0000	278.15	
67.50	25.00	2.2000	322.06	
72.50	25.00	2.2000	303.20	
77.50	25.00	2.2000	312.95	
72.50	25.00	2.4000	319.17	
1				
30				
0	79			
5	78			
10	76			
15	74			
20	73			
25	71			
30	70			
35	68			
40	67			
45	65			
50	64			
55	62			
60	61			
65	59			
70	58			
75	56			
80	55			
85	54			
90	52			
95	51			
100	49			
105	48			
110	46			

PENGOLAHAN DATA DI RES2DINV



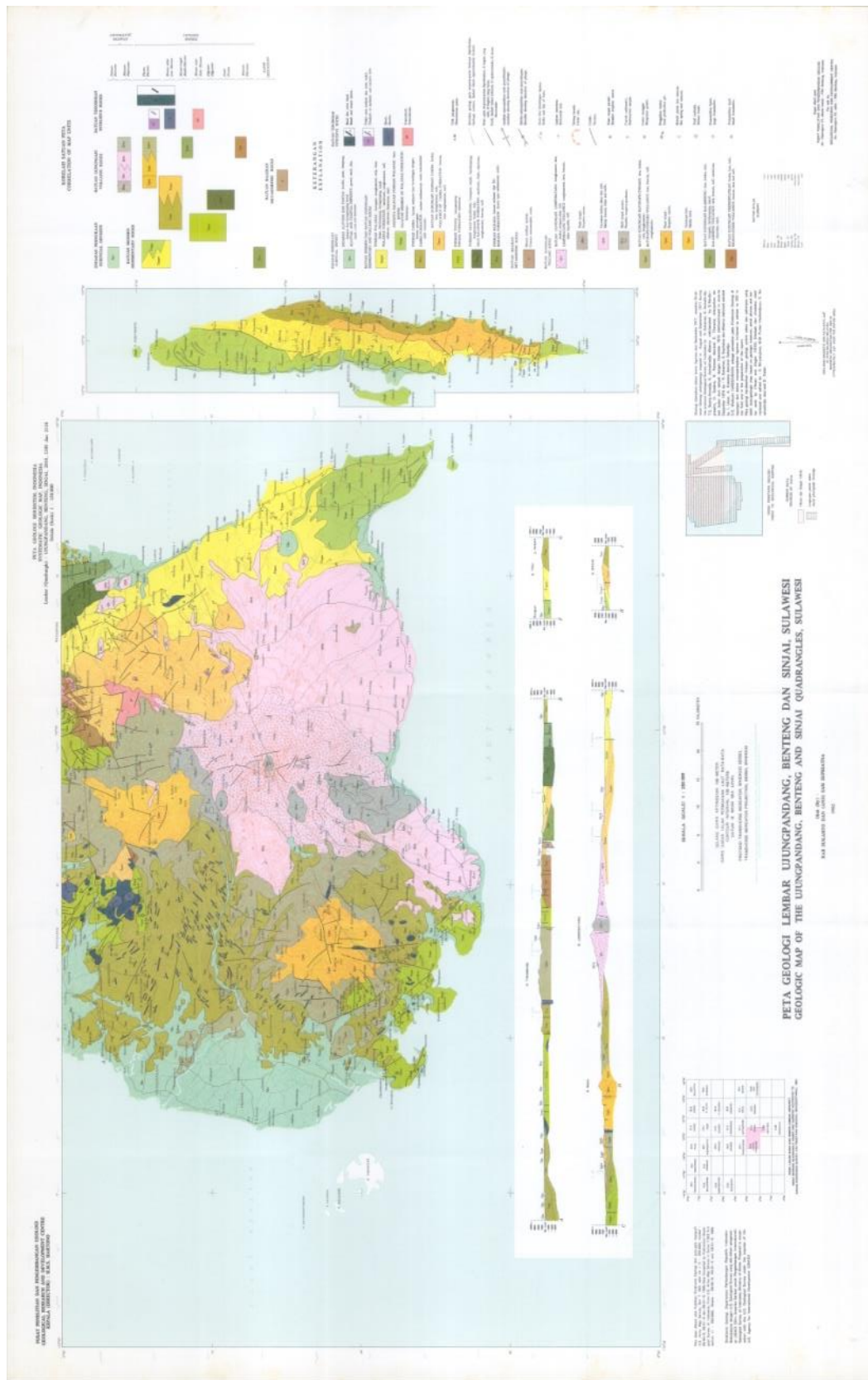




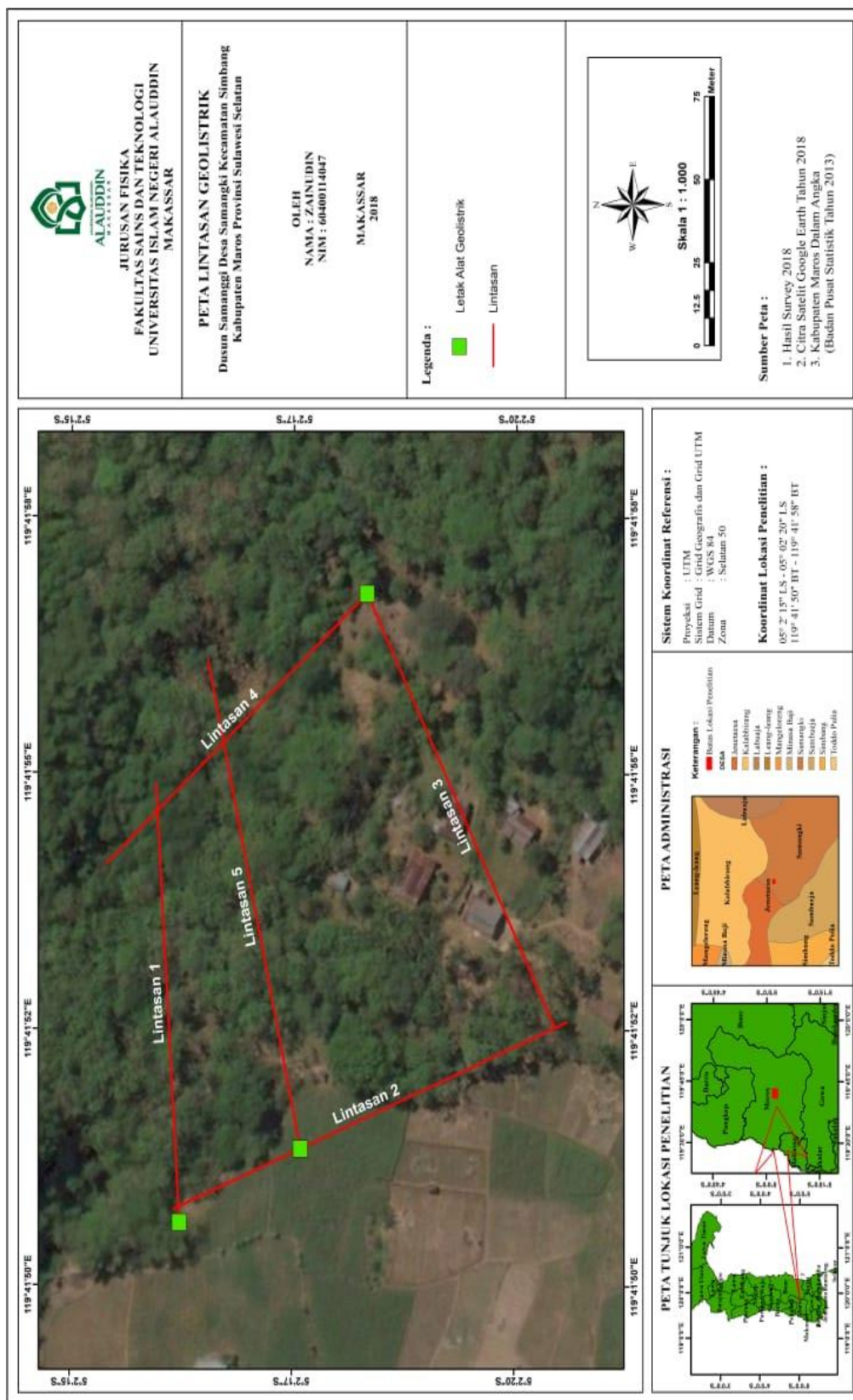
LAMPIRAN III

PETA

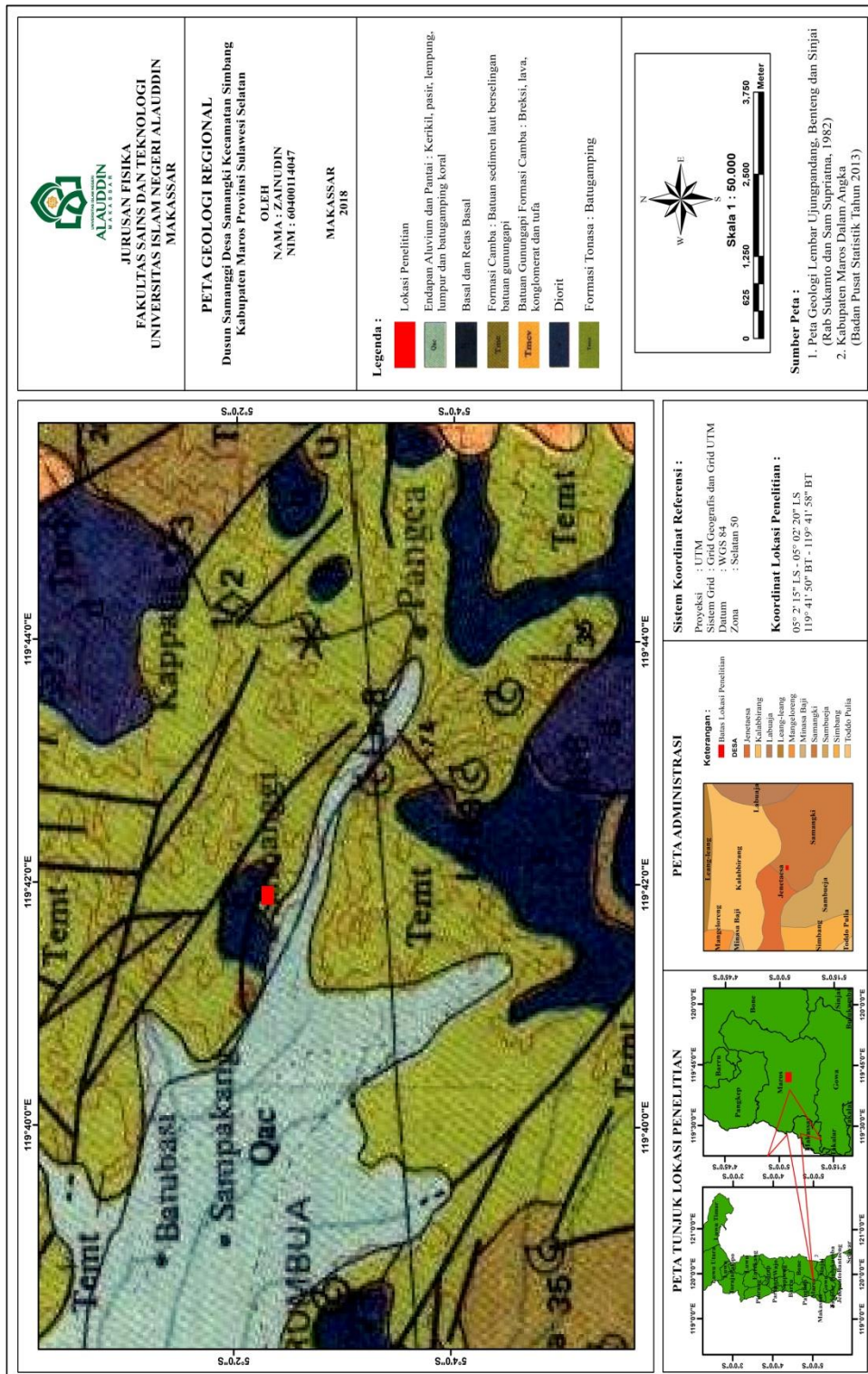
Peta Lembar Ujung Pandang, Bantang Dan Sinjai



Peta Lembar Ujung Pandang, Bantaeng dan Sinjai

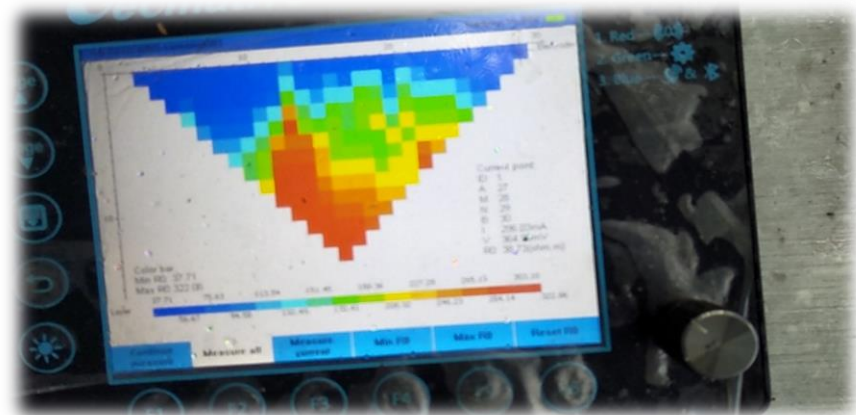


Peta Geologi Regional



LAMPIRAN IV
DOKUMENTASI

1. Alat dan Bahan Penelitian



Geomativ (GD) 10 Advance



Elektroda



Palu



Sumber Tegangan (ACCU)

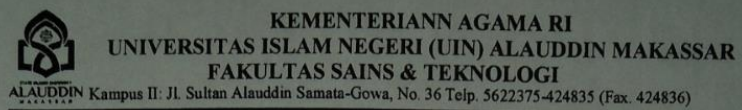
2. Pengambilan Data





LAMPIRAN V
SURAT KEPUTUSAN (SK)

2773



Sifat : Biasa
 Hal : Usul Penetapan Pembimbing Skripsi

Kepada Yth
Wakil Dekan I
Fakultas Sains & Teknologi
 Di,-
 Makassar

Assalamu Alaikum Wr. Wb.

Yang bertanda tangan dibawah ini menerangkan bahwa:

Nama	:	Zainudin
Nim	:	60400114047
Semester	:	VII (Tujuh)
Jurusan	:	Fisika
Judul Skripsi	:	Identifikasi Sungai Bawah Tanah pada Kawasan Karst Maros dengan Metode Geolistrik Konfigurasi Wenner-Schlumberger

dengan ini mengajukan nama calon pembimbing skripsi sebagai berikut:

Pembimbing I	:	Sahara, S.Si.,M.Sc.,Ph.D
Pembimbing II	:	Rahmaniah, S.Si.,M.Si

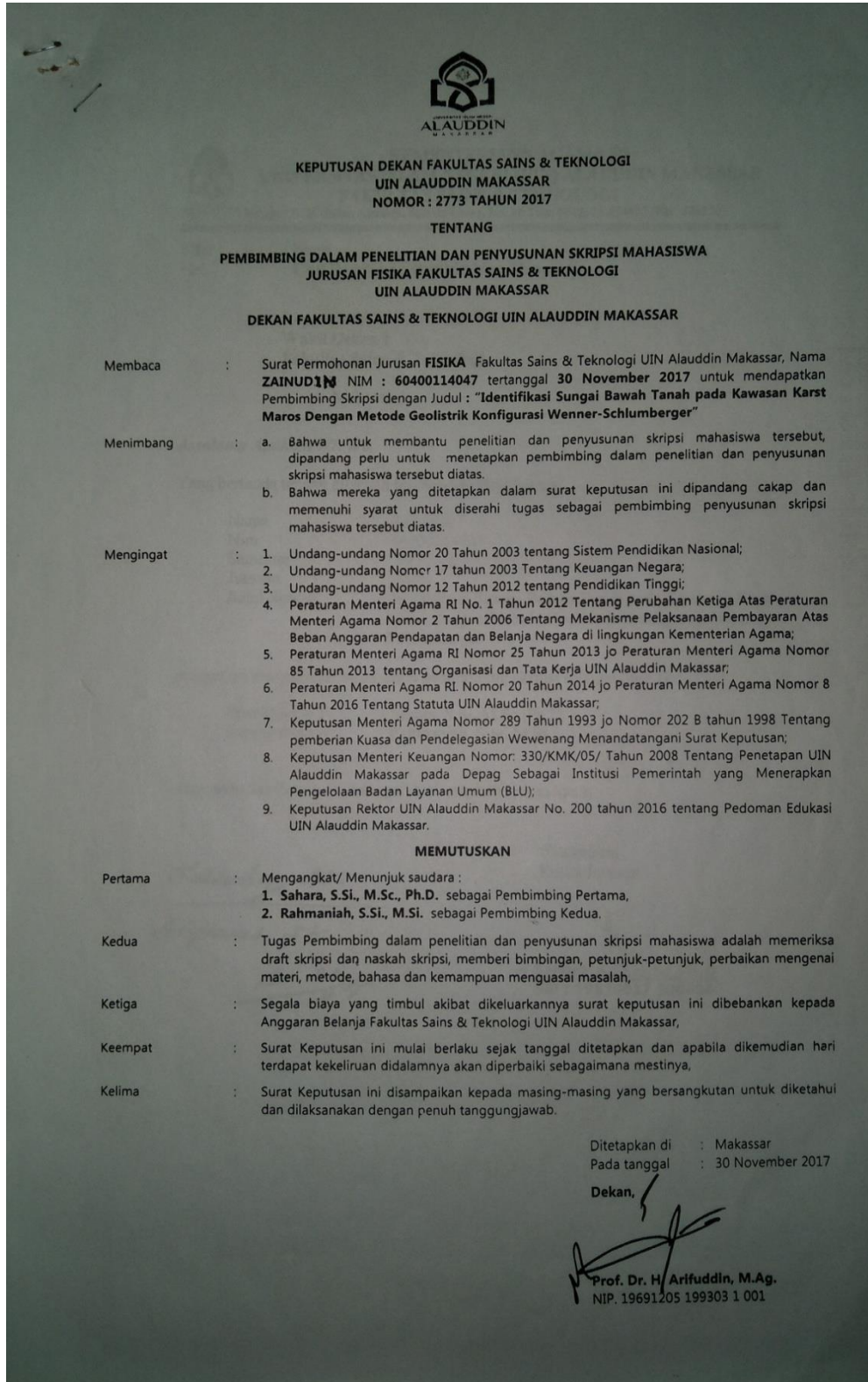
Atas perhatian dan kerjasamanya kami ucapan terima kasih

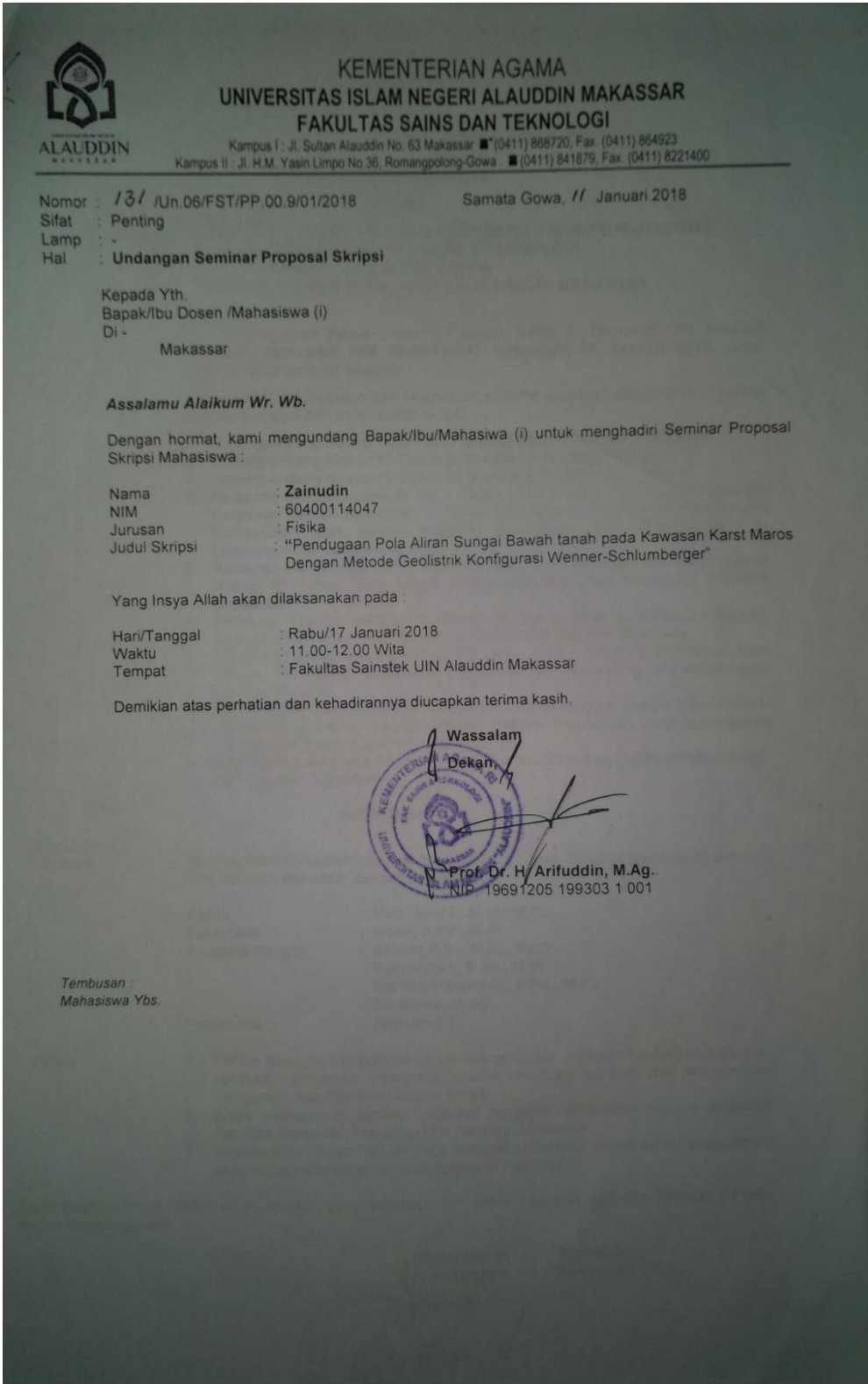
Wassalam,
 Ketua Jurusan

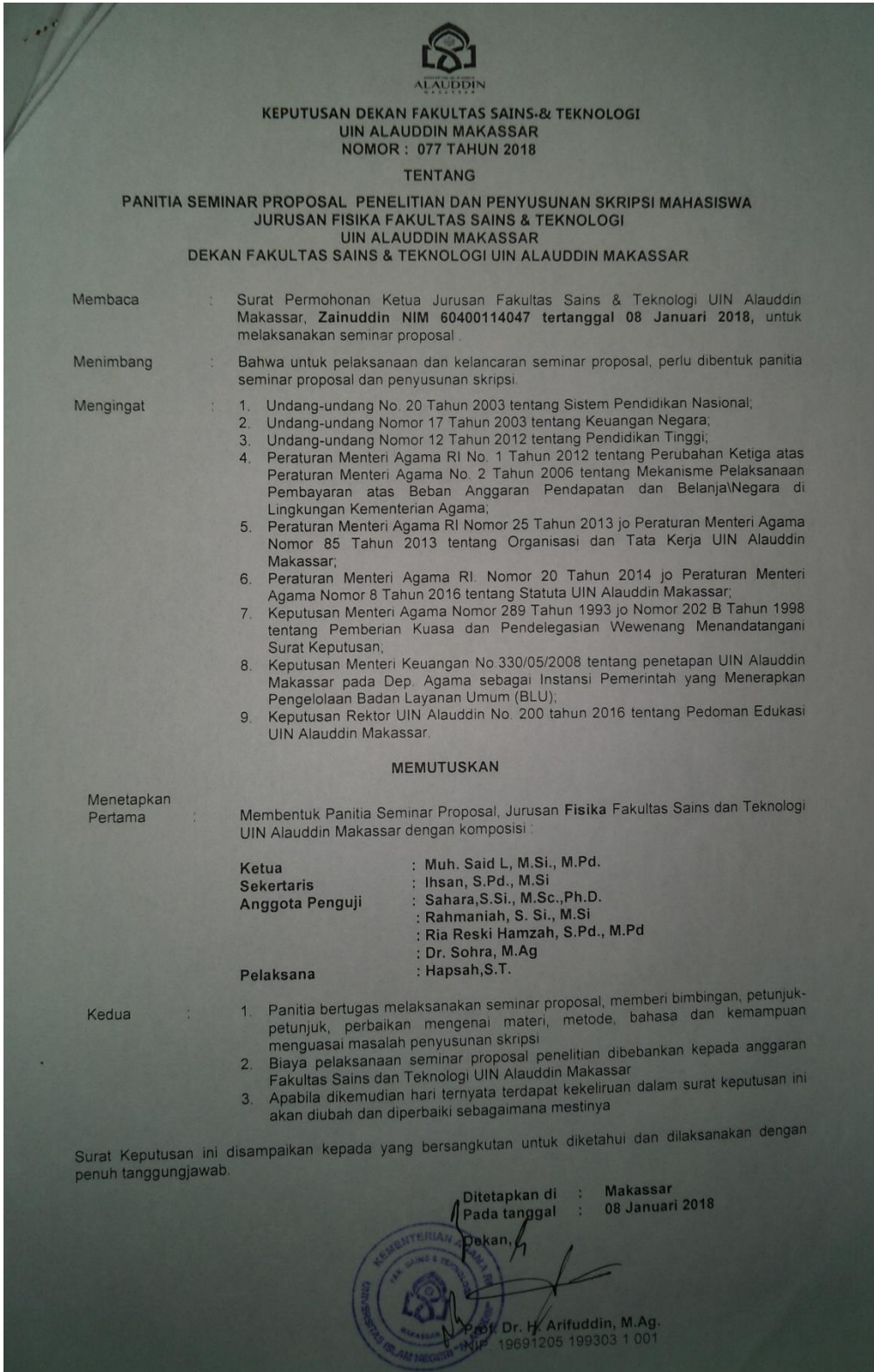
Kasabg AK

Dipras SK
✓ 30/4

Sahara, S.Si.,M.Sc.,Ph.D
 NIP : 19810927 200604







SURAT PERSETUJUAN SEMINAR HASIL SKRIPSI

Kepada
Yth.Ketua Jurusan Fisika
Fakultas Sains dan Teknologi
UIN Alauddin Makassar

Assalamualaikum wr.Wb.

Setelah membaca, meneliti, memberikan petunjuk dan mengoreksi serta mengadakan perbaikan seperlunya, maka kami selaku pembimbing berpendapat bahwa proposal skripsi saudara :

Nama : Zainudin
NIM : 60400114047
Judul Proposal : Pendugaan Pola Aliran Sungai Bawah Tanah Pada Kawasan Karsi Maros Dengan Metode Geolistrik Konfigurasi Wenner-Schlumberger

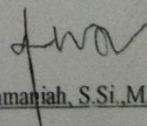
Sudah dapat diajukan kepada Jurusan Fisika Fak.Sains dan Teknologi untuk diseminarkan. Atas perhatiannya, kami ucapkan terima kasih.

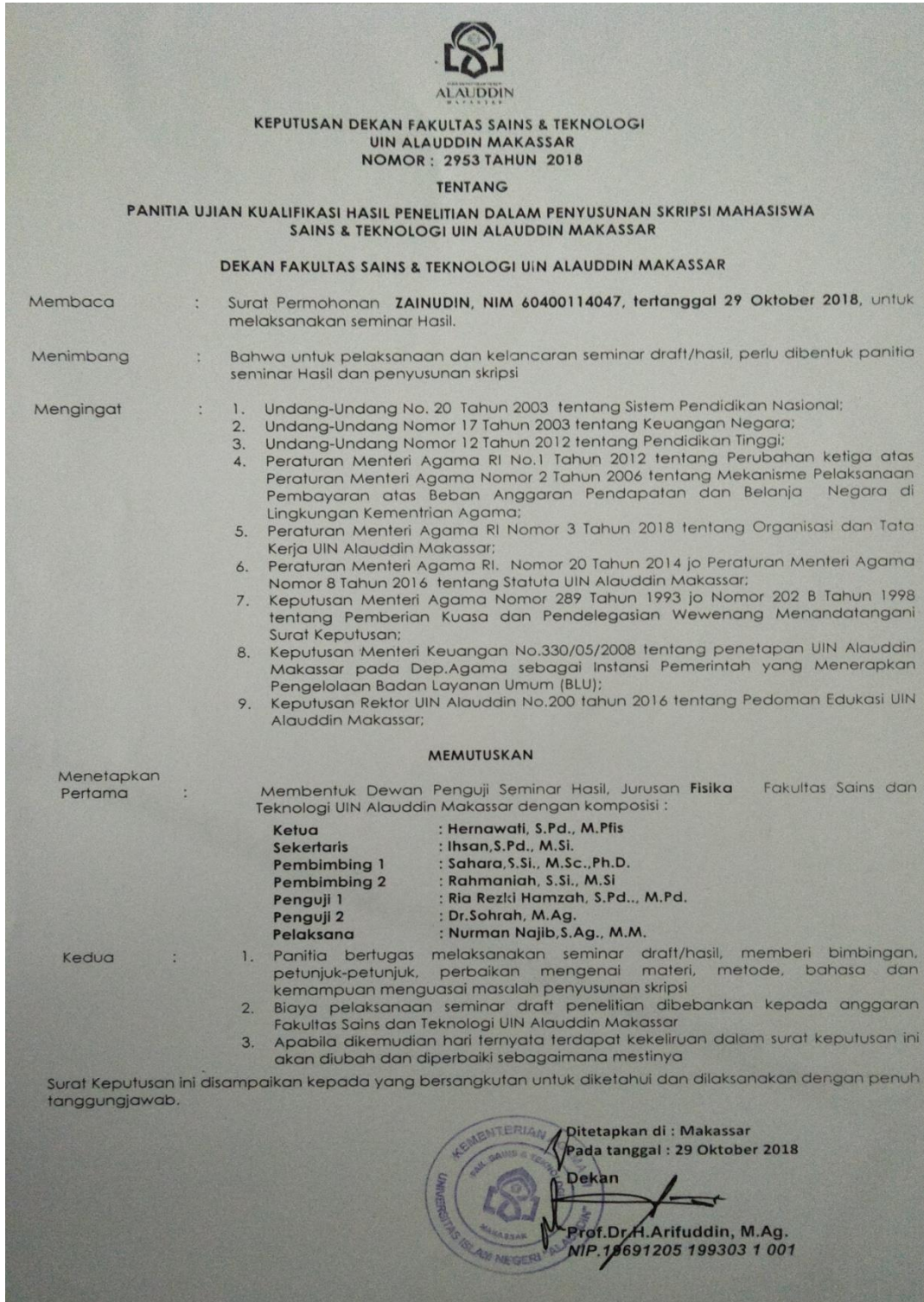
Samata, Oktober 2018

Dosen Pembimbing I


Sahara, S.Si., M.Sc., Ph.D
NIP.19810927 200604 2 003

Dosen Pembimbing II


Rahmaniah, S.Si.,M.Si
NIP.19800213 200901 2 006



SURAT PERSETUJUAN MUNAQASYAH

Kepada
Yth.Ketua JurusanFisika
Fakultas Sains dan Teknologi
UIN Alauddin Makassar

Assalamualaikumwr.Wb.

Setelah membaca, meneliti, memberikan petunjuk dan mengoreksi serta mengadakan perbaikan seperlunya, maka kami selaku pembimbing berpendapat bahwa skripsi saudara :

Nama	:	Zainudin
NIM	:	60400114047
Judul Skripsi	:	Pendugaan Pola Aliran Sungai Bawah Tanah Pada Kawasan Karst Maros Dengan Metode Geolistrik Konfigurasi Wenner Schlumberger

Sudah dapat diajukan kepada Jurusan Fisika Fak. Sains dan Teknologi untuk diseminarkan. Atas perhatiannya, kami ucapan terima kasih.

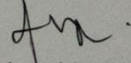
Samata, 20 November 2018

DosenPembimbing I

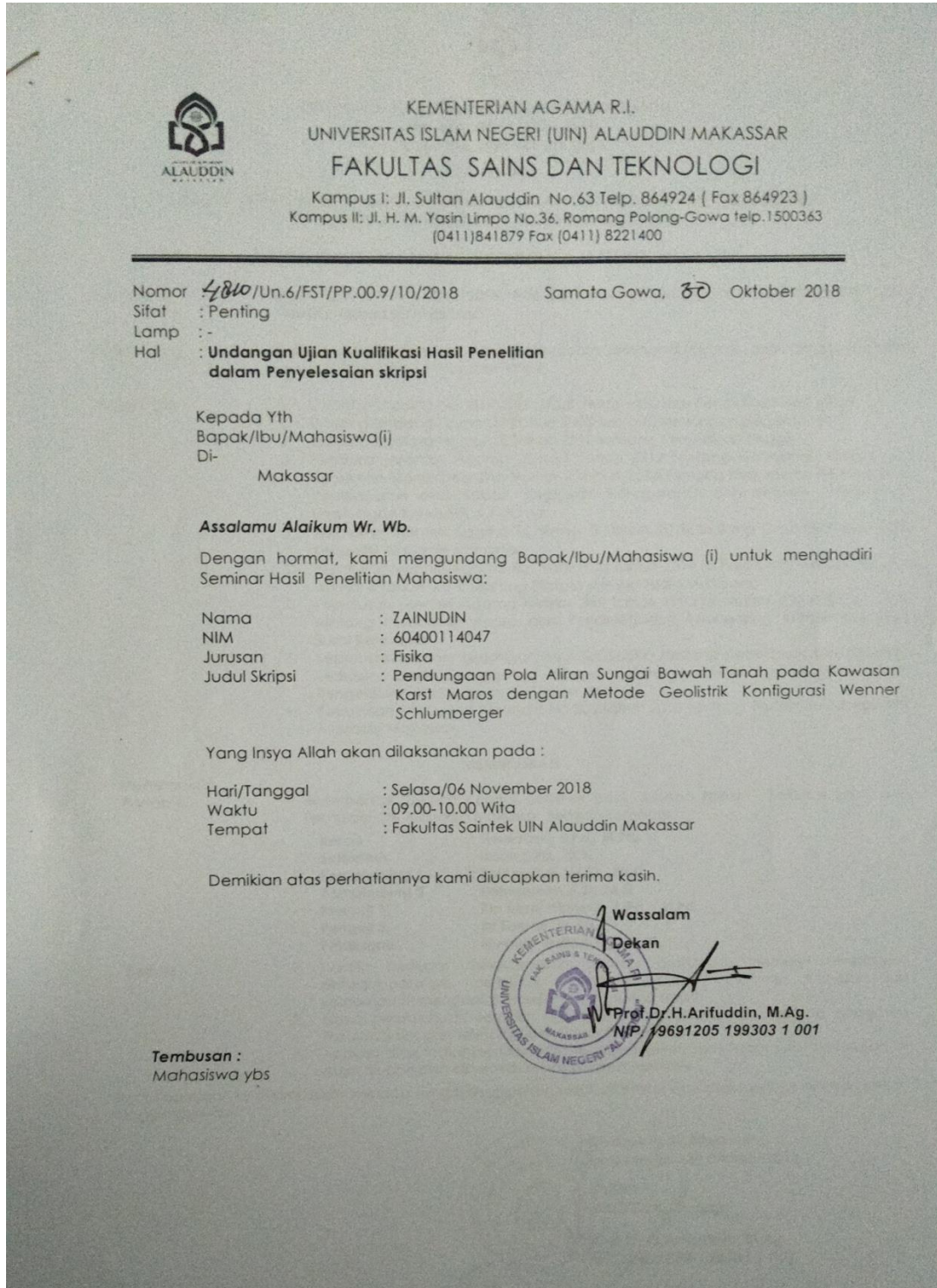

Sahara, S.Si.,M.Sc.,Ph.D

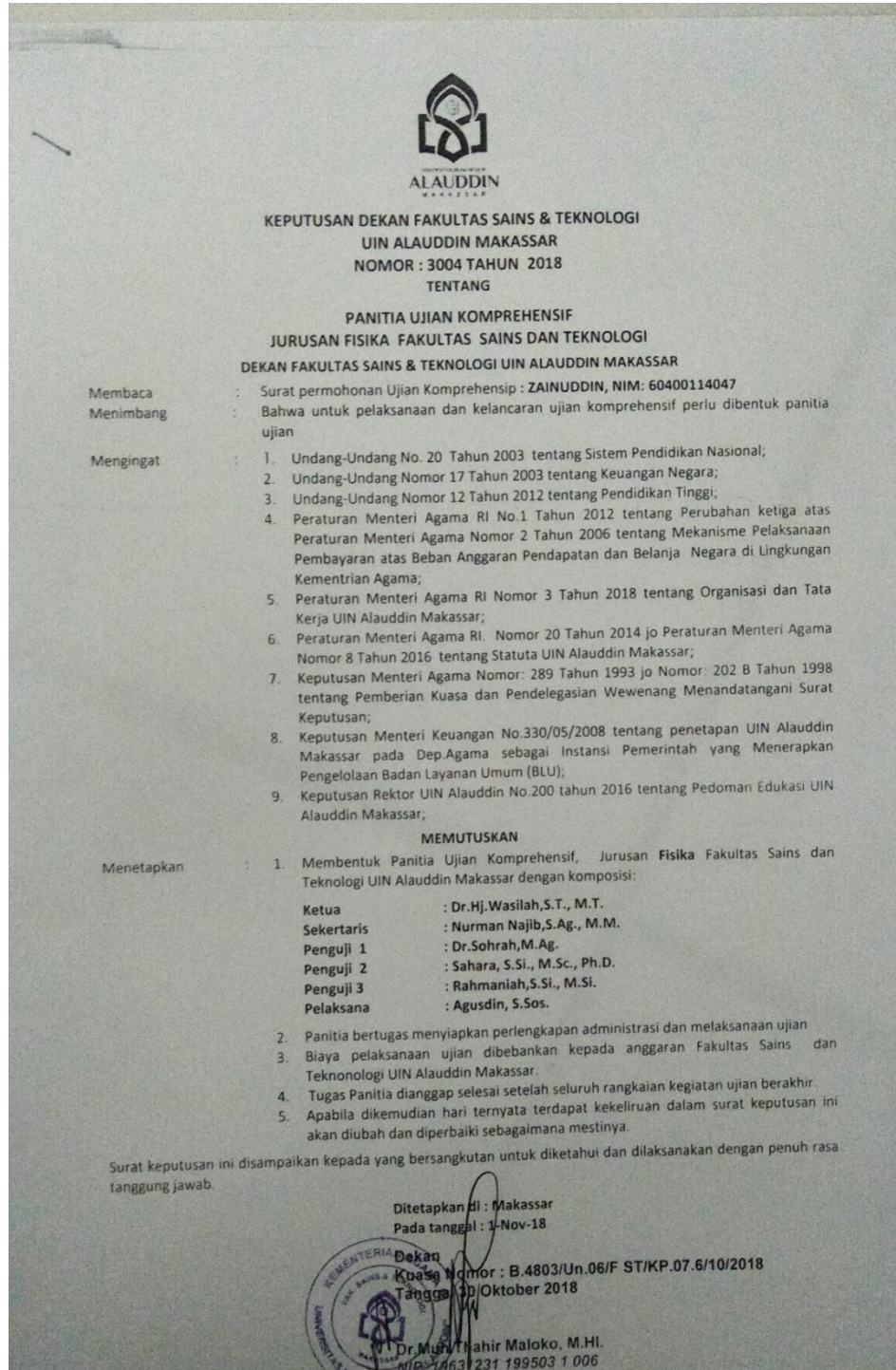
NIP.19810927200604 2 003

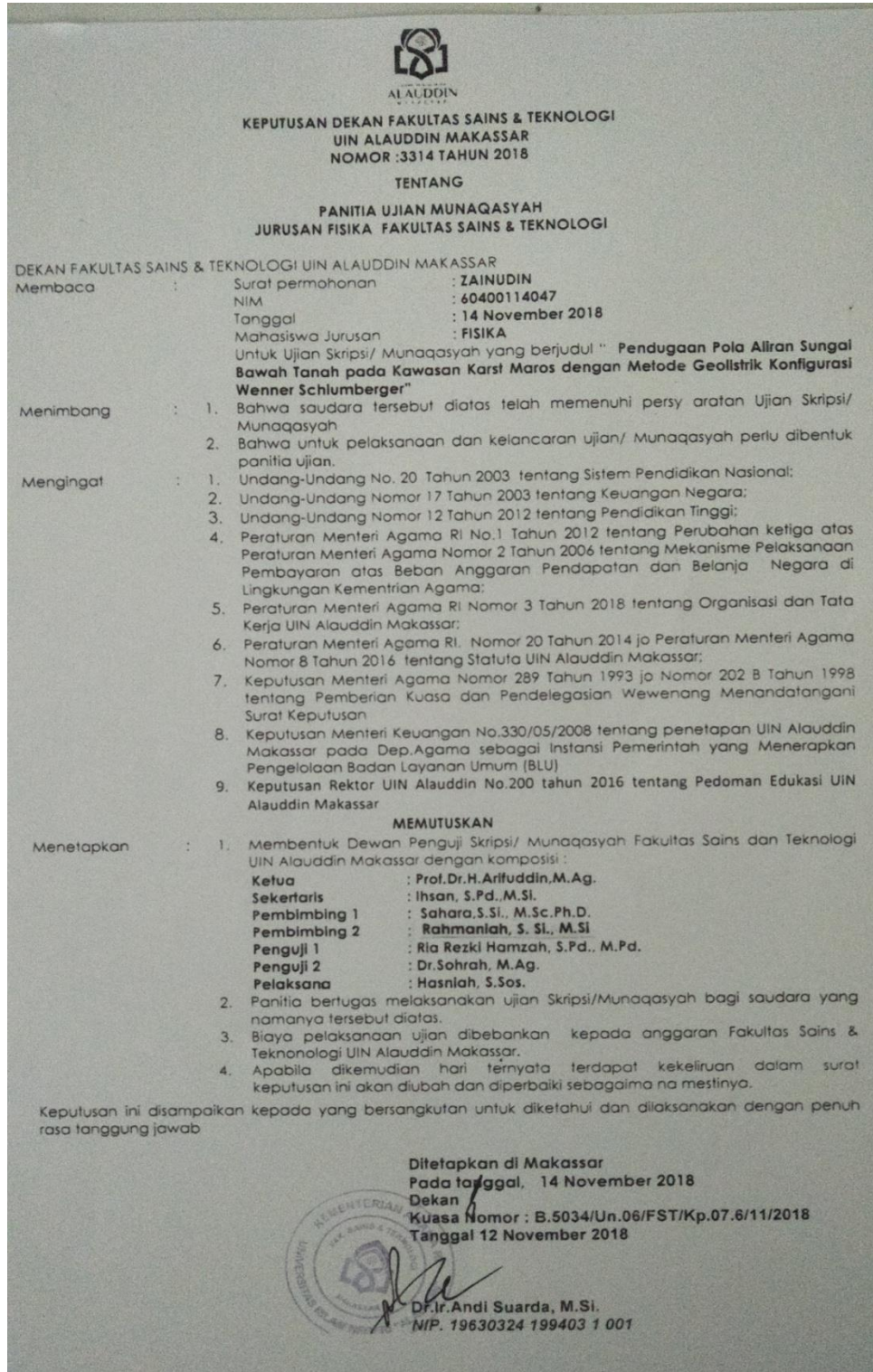
DosenPembimbing II


Rahmaniah,S.Si.,M.Si.

NIP.198002132009012006







LAMPIRAN VI
SURAT PENELITIAN

 <p>KEMENTERIAN AGAMA UNIVERSITAS ISLAM NEGERI (UIN) ALAUDDIN MAKASSAR FAKULTAS SAINS & TEKNOLOGI</p> <p>Kampus I: Jl. Sultan Alauddin No.63 Telp. 864924 (Fax 864923) Kampus II: Jl. H. M. Yasin Limpo No.36, Romang Polong-Gowa telp.1500363 <small>[0411] 84187 / Fax [0411] 8221400</small></p>																		
<p>Nomor : 600/Un.6/FST/PP.00.9/01/2018 Makassar, 22 Februari 2018</p> <p>Sifat : Penting</p> <p>Lamp : -</p> <p>Hal : Izin Penelitian Untuk Menyusun Skripsi</p> <p>Kepada Yth Desa Semangki Kecamatan Simbang Kabupaten Maros Provinsi Sulawesi Selatan Di- Tempat</p> <p>Assalamu Alaikum Wr. Wb.</p> <p>Dengan hormat kami sampaikan, bahwa mahasiswa UIN Alauddin Makassar yang tersebut namanya di bawah ini:</p> <table border="0"> <tr> <td>Nama</td> <td>:</td> <td>Zainudin</td> </tr> <tr> <td>NIM</td> <td>:</td> <td>60400114047</td> </tr> <tr> <td>Semester</td> <td>:</td> <td>VIII (Delapan)</td> </tr> <tr> <td>Fakultas</td> <td>:</td> <td>Sains & Teknologi UIN Alauddin Makassar</td> </tr> <tr> <td>Jurusan</td> <td>:</td> <td>Fisika</td> </tr> <tr> <td>Pembimbing</td> <td>:</td> <td>1. Sahara, S.Si.,M.Sc., Ph.D 2. Rahmaniah, S.Si., M.Si</td> </tr> </table> <p>Bermaksud melakukan penelitian dalam rangka penyusunan Skripsi berjudul "Pendugaan Pola Aliran Sungai Bawah Tanah pada Kawasan Karst Maros dengan Metode Geolistik Konfigurasi Wenner-Schlumberger ".</p> <p>Untuk maksud tersebut kami mengharapkan kiranya kepada mahasiswa yang bersangkutan diberi izin untuk penelitian di "Desa Semangki Kecamatan Simbang Kabupaten Maros Provinsi Sulawesi Selatan ".</p> <p>Demikian harapan kami, atas perhatian dan kerjasamanya kami ucapan terima kasih</p> <div style="text-align: right;">  <p style="text-align: right;">Wassalam Dekan Prof.Dr.H.Arifuddin,M.Ag. NIP. 19691205 19933 1 001</p> </div> <p>Tembusan:</p> <ul style="list-style-type: none"> 2. Ketua Prodi/Jurusan Fisika Fak. Sainstek UIN Alauddin 2. Arsip 	Nama	:	Zainudin	NIM	:	60400114047	Semester	:	VIII (Delapan)	Fakultas	:	Sains & Teknologi UIN Alauddin Makassar	Jurusan	:	Fisika	Pembimbing	:	1. Sahara, S.Si.,M.Sc., Ph.D 2. Rahmaniah, S.Si., M.Si
Nama	:	Zainudin																
NIM	:	60400114047																
Semester	:	VIII (Delapan)																
Fakultas	:	Sains & Teknologi UIN Alauddin Makassar																
Jurusan	:	Fisika																
Pembimbing	:	1. Sahara, S.Si.,M.Sc., Ph.D 2. Rahmaniah, S.Si., M.Si																



KEMENTERIAN AGAMA
UNIVERSITAS ISLAM NEGERI (UIN) ALAUDDIN MAKASSAR
FAKULTAS SAINS & TEKNOLOGI

Kampus I: Jl. Sultan Alauddin No.63 Telp. 864924 (Fax 864923)
Kampus II: Jl. H. M. Yasin Limpo No.36, Romang Polong-Gowa telp.1500363
(0411)841879 Fax (0411) 8221400

Nomor : 1320 /Un.6/FST/PP.00.9/01/2018

Makassar, 28 Maret 2018

Sifat : Penting

Lamp :-

**Hal : Izin Penelitian
Untuk Menyusun Skripsi**

Kepada Yth
Gubernur Provinsi Sulawesi-Selatan
Cq. Kepala BPKMD Prov. Sulawesi Selatan

Di-
Tempat

Assalamu Alaikum Wr. Wb.

Dengan hormat kami sampaikan, bahwa mahasiswa UIN Alauddin Makassar yang tersebut namanya di bawah ini:

Nama : Zainudin
NIM : 60400114047
Semester : VIII (Delapan)
Fakultas : Sains & Teknologi UIN Alauddin Makassar
Jurusan : Fisika
Pembimbing : 1. Sahara,S. Si.,M.Si.,Ph.D
 2. Rahmaniah, S.Si.,M.Si

Bermaksud melakukan penelitian dalam rangka penyusunan Skripsi berjudul "Pendugaan Po₁ Aliran Sungai Bawah Tanah Pada Kawasan Karst Maros Dengan Metode Geolistrik Konfigurasi Wenner - Schlumberger".

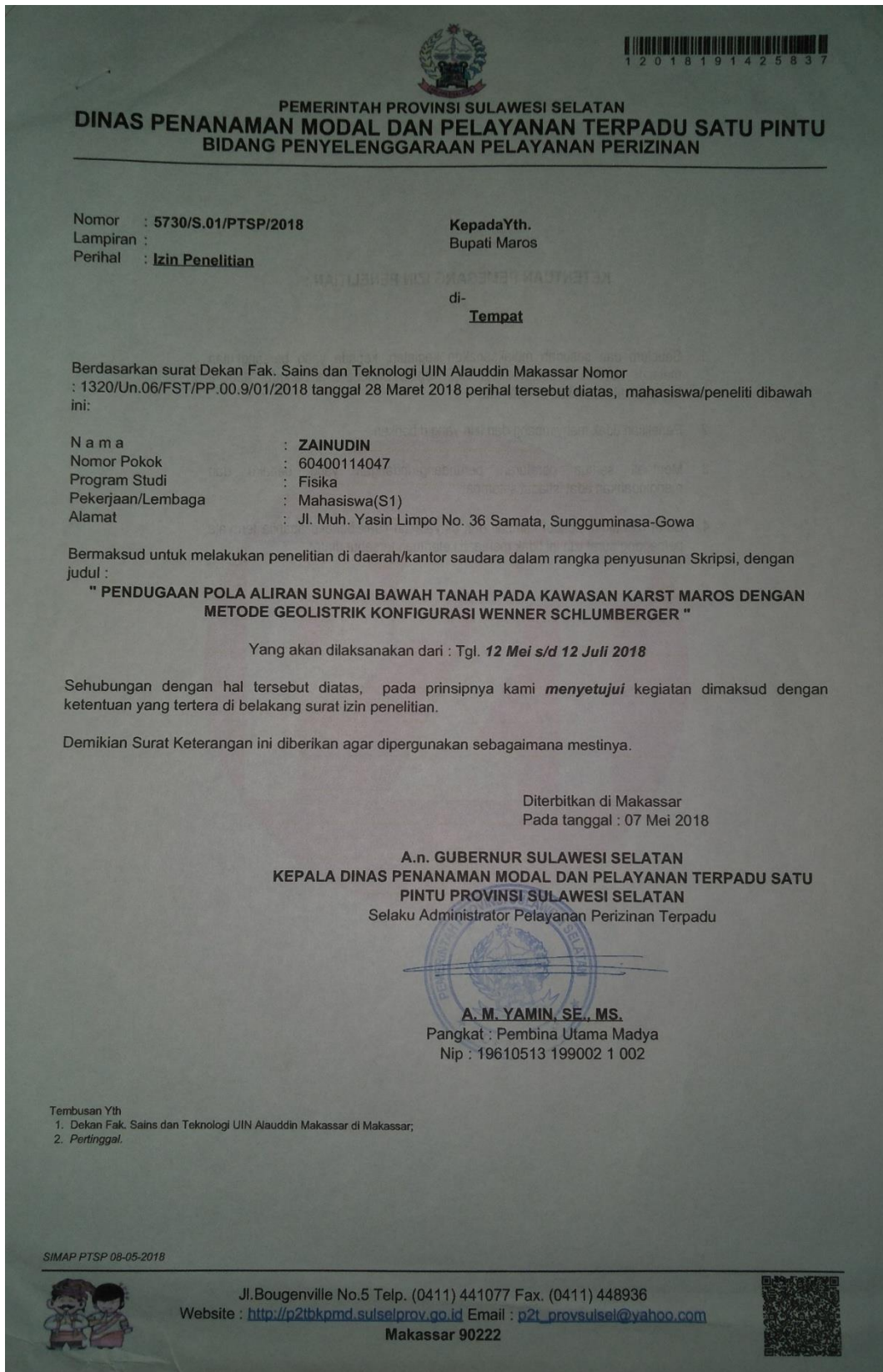
Untuk maksud tersebut kami mengharapkan kiranya kepada mahasiswa yang bersangkutan diberi izin untuk penelitian di "Desa Samangki Kecamatan Simbang Kabupaten Maros Provinsi Sulawesi Selatan".

Bermacam harapan kami, atas perhatian dan kerjasamanya kami ucapkan terima kasih



Tembusun:

- mbusan:
1. Ketua Prodi/Jurusan Fisika Fak. Sainstek UIN Alauddin
2. Arsip




PEMERINTAH KABUPATEN MAROS
DINAS PENANAMAN MODAL DAN PELAYANAN TERPADU SATU PINTU
Jl. Asoka No. 1 Telp. (0411)373884 Kabupaten Maros
email : admin@dpmptsp.maroskab.go.id Website : www.dpmptsp.maroskab.go.id

IZIN PENELITIAN

Nomor: 339/VI/IP/DPMPTSP/2018

DASAR HUKUM :

- Undang-Undang Republik Indonesia Nomor 18 tahun 2002 tentang Sistem Nasional Penelitian, Pengembangan, dan Penerapan Ilmu Pengetahuan Teknologi;
- Peraturan Menteri Dalam Negeri Nomor 7 Tahun 2014 tentang Perubahan Peraturan Menteri Dalam Negeri Nomor 64 Tahun 2011 tentang Pedoman Penerbitan Rekomendasi Penelitian;
- Rekomendasi Tim Teknis Izin Penelitian Dinas Penanaman Modal dan Pelayanan Terpadu Satu Pintu Kabupaten Maros Nomor : 337/VI/REK-IP/DPMPTSP/2018

Dengan ini memberikan Izin Penelitian Kepada :

Nama	:	ZAINUDIN
Nomor Pokok	:	60400114047
Tempat/Tgl.Lahir	:	KAYOWA / 02 Februari 1996
Jenis Kelamin	:	Laki-Laki
Pekerjaan	:	MAHASISWA
Alamat	:	SAMATA GOWA
Tempat Meneliti	:	DESA SAMANGKI, KEC. SIMBANG, KAB.MAROS

Maksud dan Tujuan mengadakan penelitian dalam rangka Penulisan Skripsi dengan Judul :

"PENDUGAAN POLA ALIRAN SUNGAI BAWAH TANAH PADA KAWASAN KARST MAROS DENGAN METODE GEOLISTRIK KONFIGURASI WENNER-SCHLUMBERGER"

Lamanya Penelitian : 12 Mei 2018 s/d 12 Juli 2018

Dengan ketentuan sebagai berikut :

- Mentaati semua peraturan perundang-undangan yang berlaku, serta menghormati Adat Istiadat setempat.
- Penelitian tidak menyimpang dari maksud izin yang diberikan.
- Menyerahkan 1 (satu) exemplar Foto Copy hasil penelitian kepada Dinas Penanaman Modal dan Pelayanan Terpadu Satu Pintu Kabupaten Maros.
- Surat Izin Penelitian ini dinyatakan tidak berlaku, bilamana pemegang izin ternyata tidak mentaati ketentuan-ketentuan tersebut diatas.

Demikian Izin Penelitian ini diberikan untuk dipergunakan sebagaimana mestinya.





Maros, 28 Juni 2018

KEPALA DINAS,

ANDI ROSMAN, S. Sos, MM

Pangkat : Pembina Tk. I

Nip : 19721108 199202 1 001

Tembusan Kepada Yth.:

- Dekan Fakultas Sains dan Teknologi UIN Alauddin Makassar
- Arsip